الجمهورية الجزائرية الديمقراطية الشعبية

Ministère de L'Enseignement Supérieur et de la Recherche Scientifique UNIVERSITE SAAD DAHLEB DE BLIDA

Faculté des sciences

orre orrito printeed de deidi

Département de Mathématiques



MEMOIRE DE MASTER

Option: Modélisation Stochastique et Statistique

THÈME:

Inférence statistique de la distribution Lomax de puissance unitaire et ses applications pour la modélisation des données a queues lourdes

Réalisé par

Hadji Amina & Boudjellal Sara

Soutenu devant le Jury :

TAMI Omar Université Blida 1 Président

FRIHI Redhouane Université Blida 1 Examinateur

RASSOUL Abdelaziz ENSH de Blida Promoteur

25 Juin 2025

· · · · · · · · · · · · · · · · · · ·
<u>.</u>
DÉDICACES

Il est des personnes sans qui ce travail n'aurait jamais vu le jour. À toutes celles et ceux qui m'ont soutenue, encouragée, et aimée, je dédie ce modeste mémoire.

À celui qui a toujours été mon pilier et mon premier soutien, à mon cher père ♥Abdelmalek Boudjellal♥, qui n'a jamais hésité à répondre à mes besoins et à m'offrir tout ce que je demandais. Que Dieu te récompense pour tout.

À celle qui est source de tendresse et d'amour inconditionnel, à ma chère mère ♥ Djamila Hedadoua ♥, pour sa patience, ses prières et son amour sans limites.

À mes sœurs adorées : ♥ Asma, Nesrine et Assia ♥, et à mes frères bien-aimés : ♥ Mohamed et Oussama ♥, merci pour votre présence, votre affection et votre soutien constant.

À mon amie d'enfance ♥Afaf ♥, avec qui j'ai partagé les plus beaux souvenirs de mes jeunes années.

Et à ma binôme et amie fidèle **♥Amina ♥**, merci pour ta compréhension, ta sincérité et ton accompagnement tout au long de ce parcours.

À vous tous, je dédie ce travail comme un témoignage de gratitude et d'amour sincère.

Vos noms dans mon cœur sont gravés, Vos gestes, vos mots m'ont tant motivée. Sans vous, le chemin aurait été incertain, Grâce à vous, j'ai avancé avec espoir et confiance en demain.



DÉDICACES

♥ À moi-même♥

Parce qu'il a fallu du courage pour croire en moi, de la patience pour continuer, et de la force pour ne jamais abandonner.

♦ À mon père Mohamed **♦**

Pour sa présence discrète mais précieuse, pour ses silences pleins de soutien et pour son amour qui m'a portée, même sans mots. Merci d'avoir toujours été là, à ta manière.

♥ À ma mère Arrache Zohr ♥

Pour son cœur immense, ses prières silencieuses et son amour qui m'a enveloppée à chaque étape. Maman, tu es la lumière de mon chemin.

🕈 À mes frères Sidi Ahmed, Oussama et Kamel 🗣

Pour leur présence forte, leur affection sincère, et ces gestes simples qui veulent tout dire. Merci pour votre soutien, souvent silencieux mais toujours senti.

♥ À ma sœur Soumia ♥

Pour sa douceur et son écoute, et pour cette tendresse qu'elle m'a toujours offerte sans compter.

♥ À mes belles-sœurs Khadidja et Amina ♥

Pour leur gentillesse, leur bienveillance, et leur place toute particulière dans mon

♥ À mon fiancé Aymen **♥**

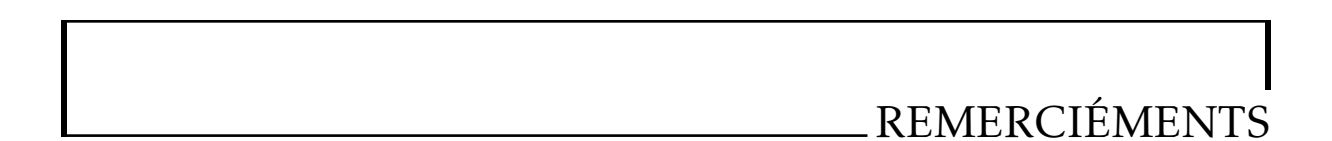
Pour sa patience, ses mots qui apaisent, et sa foi en moi, même quand la mienne vacillait. Merci d'être mon ancre et mon refuge.

♥ À mon amie fidèle Sara ♥

Pour sa présence rare, sa complicité précieuse et tous les souvenirs que nous avons créés ensemble. Une amitié comme la tienne est un trésor.

À tous ceux qui m'ont portée d'un regard, d'un mot, d'un geste... merci.





Avant tout, nous remercions Allah, le Tout-Puissant, de nous avoir donné la force et la patience nécessaires pour mener à bien ce travail.

Nous tenons à exprimer notre gratitude à tous les enseignants de l'Université de Blida pour la qualité de leur enseignement, ainsi qu'à notre encadrant, **M. RASSOUL Abdelaziz**, pour ses conseils précieux et son accompagnement tout au long de ce mémoire.

Nos remerciements s'adressent également aux membres du jury, **M. TAMI Omar** et **M. FRIHI Redhouane**, pour l'honneur qu'ils nous ont fait en évaluant notre travail et pour leurs remarques constructives.

ABRÉVIATIONS ET NOTATIONS

LoD Distribution de Lomax

ULoD Distribution de Lomax unitaire

PLoD Distribution de Lomax à puissance

UPLoD Distribution de Lomax à puissance unitaire

MLE Estimation du maximum de vraisemblance

MME Méthode des moments

PWM Moments pondérés par la probabilité

LS Méthode des moindres carrés

WLS Moindres carrés pondérés

CvM Méthode de Cramér-von Mises

AD Ajustement d'Anderson-Darling

MSE Erreur quadratique moyenne

KS Statistique de Kolmogorov–Smirnov

MPS Méthode des scores de probabilité maximum

Q-Q plot Graphe quantile-quantile

P-P plot Graphe probabilité-probabilité

TTT plot Graphe du temps total de test (Total Time on Test Plot)

 $\mathbb{E}[X]$ Espérance mathématique

Var(X) Variance

CDF Fonction de répartition

PDF Densité de probabilité

 \bar{X} Moyenne empirique

 $X_{(i)}$ $i^{\rm ème}$ statistique d'ordre

 $\Gamma(\cdot)$ fonction de Gamma

 $B(\cdot, \cdot)$ fonction de bêta.

TABLE DES MATIÈRES

In	Introduction Générale			1
1	Car	actérisa	ation de la distribution Lomax	4
	1.1	Distri	bution Lomax	4
		1.1.1	Fonction de densité	5
		1.1.2	Fonction de répartition	6
		1.1.3	Fonction de survie et le taux de hasard	7
		1.1.4	Fonction de hasard cumulée	8
		1.1.5	Fonction quantile de la distribution de Lomax	8
		1.1.6	Moments	8
		1.1.7	Espérance et la variance	9
		1.1.8	Méthodes d'estimation	9
			1.1.8.1 Estimation par la méthode des moments	9
			1.1.8.2 Estimation du maximum de vraisemblance	10
		1.1.9	Matrice d'information de Fisher	11
	1.2	Distri	bution de Lomax unitaire (Unit Lomax :ULoD)	12
		1.2.1	Introduction	12
		1.2.2	Fonction de densité et Fonction de répartition (CDF)	12
		1.2.3	Fonction de survie et le taux de hasard	16
		1.2.4	Fonction de risque cumulée	17
		1.2.5	Espérance et Variance de la distribution Lomax unitaire (ULoD)	17
		1.2.6	Moments de la distribution Lomax unitaire (ULoD)	18
		1.2.7	Estimation	18
			1.2.7.1 Estimation par la méthode du maximum de vraisem-	
			blance	19
			1.2.7.2 Estimation par la méthode des moments	19
		1.2.8	Fonction quantile	20

		1.2.9	Matrice d'information de Fisher	21	
	1.3	3 Distribution Lomax à puissance(PLoD)			
		1.3.1	Introduction	22	
		1.3.2	Fonction de densité et Fonction de répartition	22	
		1.3.3	Équation caractéristique	24	
		1.3.4	Fonction de survie et le taux de hasard	24	
		1.3.5	Fonction de hasard cumulée	25	
		1.3.6	Quantiles et fonction quantile	25	
			1.3.6.1 Quartiles de la distribution PLoD	26	
		1.3.7	Moments bruts	26	
		1.3.8	Méthodes d'estimation	27	
			1.3.8.1 Estimation par la méthode des moments	28	
			1.3.8.2 Estimation du maximum de vraisemblance	28	
		1.3.9	Matrice d'information de Fisher	29	
2	Diet	ributio	n lomax à puissance unitaire (Unit Power Lomax :UPLoD)	30	
2	2.1		on de densité et Fonction de répartition	30	
	2.2		on de survie et le taux de hasard	33	
	2.3		on de hasard cumulée	33	
	2.4		iles et fonction quantile	34	
	2.5		nce et la variance	34	
	2.6	_	Moments		
		2.6.1	Moments pondérés par la probabilité	35	
		2.6.2		35	
		2.6.3	Vie résiduelle et vie résiduelle inversée	36	
		2.6.4	Quelques mesures d'entropie	37	
		2.6.5 Fiabilité contrainte-résistance		38	
	2.7			39	
		2.7.1	Méthodes d'estimation ponctuele	39	
			2.7.1.1 Méthode des moments	39	
			2.7.1.2 Estimateur du maximum de vraisemblance	40	
			2.7.1.3 Moindres carrés et moindres carrés pondérés	42	
			2.7.1.4 Espacement du Produit Maximum	43	
			2.7.1.5 Estimateurs de Cramer-von Mises et d'Anderson-Darling	44	
	2.8	Matric	e d'information de Fisher	45	
2	Cirr	نه ا ا	. Estimation at amplications	10	
3			s, Estimation et applications	46	
	3.1		tions des variables aléatoires	47	
		3.1.1	La méthode d'inversion	48	
			5.1.1.1 Simulation de la loi de Lomax par la methode d'inversion	40	

Conclusion Générale			70	
	3.2.7	Applica	tion sur des données réelles	65
			tion UPLoD	62
		3.2.6.1	Analyse comparative des performances de la distribu-	
		UPLoD		61
	3.2.6	Étude co	omparative des estimateurs des lois LoD, ULoD, PLoD et	
	3.2.5	Estimati	ion des paramètres de la distribution UPLoD	60
	3.2.4	Estimati	ion des paramètres de la distribution PLoD	58
	3.2.3	Estimati	ion des paramètres de la distribution de Lomax unitaire	57
	3.2.2	Estimati	ion des paramètres de la distribution de Lomax	56
	3.2.1	Introduc	ction	56
	blance	e (MLE).		56
3.2	Estim	ation des	paramètres par la méthode du maximum de vraisem-	
			dèle UPLoD selon la Taille de l'Échantillon	54
		3.1.1.6	Comportement Asymptotique des Estimateurs du Mo-	
			avec $n = 1000$	53
		3.1.1.5	Estimation ponctuelle des paramètres du modèle UPLoD	
			la méthode d'inversion	52
		3.1.1.4	Simulation de la loi de Lomax à puissance unitaire par	
			thode d'inversion	51
		3.1.1.3	Simulation de la loi de Lomax à Puissance par la mé-	
			d'inversion	49
		3.1.1.2	Simulation de la loi de Lomax unitaire par la méthode	

TABLE DES FIGURES

Densité de la distribution Lomax pour le paramètre de forme $\alpha = (0.5;$	
1; 2; 3.5) avec $\lambda = 2$	6
Fonction de répartition du modèle Lomax pour le paramètre de forme	
$\alpha = (0.5; 1; 2; 3.5)$ avec $\lambda = 2$	6
Taux de hasard du modèle Lomax pour le paramètre de forme $\alpha = (0.5;$	
1; 2; 3,5) avec $\lambda = 2$	7
Densité de la distribution Lomax unitaire pour le paramètre de forme	
$\alpha = (0.5; 1; 2; 3.5)$ avec $\lambda = 2$	14
Fonction de répartition du modèle Lomax unitaire pour le paramètre	
de forme $\alpha = (0.5; 1; 2; 3.5)$ avec $\lambda = 2$	15
Taux de hasard du modèle Lomax unitaire pour le paramètre de forme	
$\alpha = (0.5; 1; 2; 3.5)$ avec $\lambda = 2$	17
Densité de la distribution Lomax à puissance, avec $\lambda = 1 \ldots \ldots$	23
Fonction de répartition du distribution lomax à puissance , avec $\lambda=1$.	24
Taux de hasard du modèle distribution lomax à puissance pour le pa-	
ramètre de forme $\alpha(1;3;5;10)$, $\beta=5,\lambda=1$	25
Densité de la distribution Lomax à puissance unitaire	32
Fonction de répartition du distribution Lomax à puissance unitaire .	32
Taux de hasard du modèle distribution Lomax à puissance unitaire	33
Histogramme des valeurs simulées de la distribution Lomax avec $\alpha =$	
$3, \lambda = 2.5$	49
Histogramme des valeurs simulées de la distribution Lomax unitaire	
	51
•	
$(\lambda = 2, \alpha = 3, \beta = 1,5) \ldots$	52
	1; 2; 3.5) avec $\lambda=2$. Fonction de répartition du modèle Lomax pour le paramètre de forme $\alpha=(0.5;1;2;3.5)$ avec $\lambda=2$. Taux de hasard du modèle Lomax pour le paramètre de forme $\alpha=(0.5;1;2;3.5)$ avec $\lambda=2$. Densité de la distribution Lomax unitaire pour le paramètre de forme $\alpha=(0.5;1;2;3.5)$ avec $\lambda=2$. Fonction de répartition du modèle Lomax unitaire pour le paramètre de forme $\alpha=(0.5;1;2;3.5)$ avec $\lambda=2$. Taux de hasard du modèle Lomax unitaire pour le paramètre de forme $\alpha=(0.5;1;2;3.5)$ avec $\lambda=2$. Densité de la distribution Lomax à puissance, avec $\lambda=1$. Fonction de répartition du distribution lomax à puissance , avec $\lambda=1$. Taux de hasard du modèle distribution lomax à puissance pour le paramètre de forme $\alpha(1;3;5;10)$, $\beta=5,\lambda=1$. Densité de la distribution Lomax à puissance unitaire . Fonction de répartition du distribution Lomax à puissance unitaire . Histogramme des valeurs simulées de la distribution Lomax avec $\alpha=3,\lambda=2.5$

3.4	Histogramme des valeurs simulées de la distribution Lomax à puissance	
	unitaire ($\lambda = 2$, $\alpha = 3$, $\beta = 1.5$)	53
3.5	Évolution du MSE des estimateurs MLE en fonction de la taille de l'échan-	
	tillon	57
3.6	Distributions des estimations des paramètres (Ligne rouge = vraie va-	
	leur) n=1000	61
3.7	Diagramme des estimateurs de α pour les quatre lois	63
3.8	Boxplot des estimations de λ selon les distributions	64
3.9	Boxplot des estimations de β selon les distributions	64
3.10	Analyse graphique de l'ajustement du modèle UPLoD	66
3.11	Évaluation graphique de l'ajustement du modèle UPLoD aux données	
	de défaillance	68

LISTE DES TABLEAUX

3.1	Estimation des paramètres du modèle UPLoD pour $n = 1000 \dots \dots$	54
3.2	Performance des estimateurs du modèle UPLoD pour différentes tailles	
	d'échantillons	55
3.3	Résultats de l'estimation par la méthode MLE pour la loi de Lomax	
	selon différentes tailles d'échantillon	57
3.4	Résultats de l'estimation par la méthode MLE pour la loi de Lomax	
	unitaire selon différentes tailles d'échantillon	58
3.5	Résultats de l'estimation par la méthode MLE pour la loi de Lomax	
	unitaire à puissance selon différentes tailles d'échantillon	59
3.6	Résultats de l'estimation par la méthode MLE pour la loi UPLoD selon	
	différentes tailles d'échantillon	60
3.7	Résultats de l'estimation par la méthode MLE selon différentes lois et	
	tailles d'échantillon	62
3.8	Statistiques descriptives des taux de diminution	66
3.9	Résultats d'ajustement des modèles aux données réelles	68

.RÉSUMÉ

ملخص: في هذا العمل، قمنا بدراسة نموذج احتمالي جديد يُعرف بتوزيع لوماكس الأحادي الأسي، والذي يُعد تعميماً مزدوجاً لتوزيع لوماكس الكلاسيكي. حيث يُعرّف على المجال (0,1)، مما يجعله مناسبًا لنمذجة البيانات المحصورة في هذا النطاق، وهو أمر مطلوب في العديد من التطبيقات العملية. وقد تم الحصول على هذا النموذج من خلال تطبيق تحويلين رياضيين متتاليين يهدفان إلى زيادة مرونة النموذج في تمثيل البيانات المعقدة، خصوصاً تلك التي تُظهِر سلوكاً غير اعتيادي لدالة الخطر. لقد قمنا بدراسة الخصائص الإحصائية الأساسية لهذا التوزيع، وقمنا بتقدير معالمه باستعمال طريقة الإمكان الأعظم. كما أجرينا دراسة محاكاة لتقييم أداء المقدّرات تحت ظروف مختلفة. وقد أظهرت النتائج المتحصل عليها كفاءة وفعالية النموذج المقترح مقارنة بالنماذج السابقة.

الكلمات المفتاحية: توزيع لوماكس، توزيع لوماكس الأحادي، توزيع لوماكس بالقوة، توزيع لوماكس بالقوة، توزيع لوماكس الأحادي بالقوة، التوزيعات الاحتمالية، تقدير الإمكان الأعظم، المحاكاة، البيانات المحصورة، دالة الكثافة، الدالة التراكمية، دالة الكم، دالة الخطر، التطبيقات.

Résumé:

Dans ce travail, nous avons étudié un modèle de distribution appelé distribution de Lomax à puissance unitaire (UPLoD), qui constitue une double généralisation de la loi de Lomax classique. où elle est définie sur l'intervalle (0,1), ce qui le rend particulièrement adapté à la modélisation de données bornées, fréquentes dans de nombreux contextes pratiques. Il est obtenu par l'application successive de deux transformations mathématiques, permettant d'accroître considérablement sa flexibilité, notamment pour représenter des comportements spécifiques de la fonction de hasard. Nous avons examiné ses propriétés statistiques fondamentales et estimé ses paramètres à l'aide de la méthode du maximum de vraisemblance. Une étude de simulation a été menée afin d'évaluer la performance des estimateurs dans divers scénarios.

Les résultats obtenus confirment la pertinence du modèle proposé ainsi que l'efficacité des méthodes d'estimation utilisées.

Mots-clés: Loi de Lomax (LoD), Distribution de Lomax unitaire (ULoD), Distribution de Lomax à puissance (PLoD), Distribution de Lomax à puissance unitaire (UPLoD), Fonction de densité, Fonction de répartition, Fonction quantile, Distributions de probabilité, Estimation du maximum de vraisemblance, Simulation, Données bornées, Utilisation du logiciel R, Applications.

Abstract:

In this work, we study a probability model named the Unit Power Lomax Distribution (UPLoD), which serves as a double generalization of the classical Lomax distribution, which is defined over the interval (0,1), making it particularly suitable for modeling bounded data, which is often required in real-world applications. It is derived by applying two successive mathematical transformations, which enhance its flexibility for modeling complex data structures, especially those with non-standard hazard rate behaviors. We investigated its main statistical properties and estimated its parameters through the Maximum Likelihood Estimation (MLE) method. A simulation study was conducted to assess the estimator's performance under various conditions. The findings highlight the efficiency and adaptability of the proposed model compared to existing alternatives.

Keywords: Lomax distribution (LoD), Unit Lomax distribution (ULoD), Power Lomax distribution (PLoD), Unit Power Lomax distribution (UPLoD), Probability density function, Cumulative distribution function, Quantile function, Probability distributions, Maximum Likelihood Estimation (MLE), Simulation, Bounded data, Use of R software, Applications.

INTRODUCTION GÉNÉRALE

La théorie des probabilités joue un rôle fondamental dans de nombreux domaines scientifiques, notamment dans la modélisation des phénomènes réels, la fiabilité, les sciences économiques, ou encore l'analyse des durées de vie. L'un des outils les plus importants dans ce cadre est la distribution de probabilité, qui permet de représenter de manière précise et flexible les comportements observés dans les données réelles. Au fil des années, de nombreux chercheurs ont proposé de nouvelles lois de probabilité en modifiant ou en généralisant des distributions existantes, notamment à travers l'introduction de paramètres supplémentaires, la transformation des fonctions de répartition, ou encore l'utilisation de méthodes de génération basées sur d'autres lois [Marshall and Olkin, 1997].

Parmi les distributions les plus utilisées figure la loi de **Lomax**, connue pour sa simplicité et son efficacité dans la modélisation des données présentant un comportement de type décroissant ou à queue lourde. Toutefois, dans de nombreuses situations pratiques, cette loi peut s'avérer limitée en termes de flexibilité, notamment pour représenter des formes de fonction de risque telles que la forme en baignoire ou inversée. C'est dans ce contexte que plusieurs généralisations de la distribution de Lomax ont vu le jour. Par exemple, la distribution Lomax à puissance (*Power Lomax distribution*) introduite par Rady et al. [Rady and Abdelrahman, 2016] ajoute un paramètre de puissance permettant une meilleure adaptation à différentes formes de données. D'autres auteurs ont également proposé des modèles tels que la *la distribution Odd Lomax* [Ogunsanya and Shittu, 2019], ou encore des distributions obtenues par des transformations inversées et exponentiées [Ceren et al., 2018, Maxwell and Oluyede, 2019, Ijaz and Asim, 2019].

Ces généralisations ont permis d'obtenir des lois plus riches et adaptées à une plus grande variété de contextes pratiques, tout en conservant l'interprétabilité des paramètres de la distribution de base. C'est dans cette dynamique que s'inscrit notre travail, qui s'intéresse à l'étude d'un modèle récent appelé **Lomax à puissance unitaire**

(UPLoD), une extension doublement généralisée combinant les propriétés des transformations unitaire et de puissance. Cette distribution a pour objectif de surmonter les limites observées dans les modèles précédents en offrant une flexibilité accrue dans la forme de la densité et de la fonction de risque. Elle est ainsi bien adaptée à la modélisation de données complexes, notamment celles présentant des comportements non monotones.

Cependant, dans la pratique, il arrive fréquemment que les modèles classiques comme la loi de Lomax ne soient pas suffisamment flexibles pour représenter fidèlement la réalité des données observées, notamment lorsqu'elles présentent des asymétries marquées, des concentrations dans des intervalles bornés, ou encore des distributions multi-modales. Pour pallier ces limitations, plusieurs généralisations ont été proposées dans la littérature, visant à introduire des paramètres supplémentaires ou à transformer la structure de la loi de base afin d'enrichir sa flexibilité et sa capacité d'adaptation. C'est dans cette optique que notre travail s'inscrit, en s'intéressant à différentes généralisations de la loi de Lomax, notamment les distributions dites unitaire (ULoD), à puissance (PLoD), et à puissance unitaire (UPLoD) [Elgarhy et al., 2020, Alzaatreh et al., 2013].

L'objectif de ce mémoire est d'étudier ces distributions généralisées, tant d'un point de vue théorique que pratique. Nous nous sommes d'abord intéressés à la loi de Lomax classique en rappelant ses définitions fondamentales : fonction de densité, fonction de répartition, fonction de survie, fonction de hasard et fonction de hasard cumulée. Nous avons ensuite dérivé ses moments, la fonction quantile, ainsi que deux méthodes principales d'estimation des paramètres, à savoir la méthode des moments (MME) et la méthode du maximum de vraisemblance (MLE). Nous avons aussi calculé la matrice d'information de Fisher, qui permet d'évaluer la précision des estimateurs issus de la méthode du maximum de vraisemblance.

À la suite de cela, nous avons introduit et étudié trois généralisations de cette distribution. La première est la loi de Lomax unitaire (ULoD), qui consiste à ramener la variable aléatoire dans l'intervalle [0,1], ce qui est utile pour modéliser des données naturellement bornées, telles que des proportions ou des taux. Cette transformation rend la densité plus adaptable aux données confinées, tout en conservant certaines propriétés de la loi de base. Nous avons dérivé ses propriétés statistiques et proposé des méthodes d'estimation analogues à celles de la loi originale.

Ensuite, nous avons considéré la loi de Lomax à puissance (PLoD), qui applique une transformation exponentielle sur la variable. Cette généralisation permet de modifier la forme de la queue de la distribution, et donc d'élargir l'éventail des formes modélisables. Nous avons examiné ses caractéristiques, en mettant en avant les fonctions statistiques, les moments, la fonction quantile et les mesures de fiabilité comme la fonction de hasard et la fonction de taux de défaillance.

Par ailleurs, nous avons étudié la distribution de Lomax à puissance unitaire (UPLoD), qui combine les deux transformations précédentes : la transformation unitaire et la transformation à puissance. Cette distribution se distingue par sa grande souplesse et sa capacité à ajuster divers types de données, qu'elles soient confinées, asymétriques ou comportant des extrêmes. Nous avons analysé en profondeur ses propriétés théoriques, établi des expressions pour ses moments pondérés, ses quantiles, ses fonctions de risque, et calculé sa matrice d'information de Fisher.

En plus de l'analyse théorique, nous avons mené une étude de simulation afin d'évaluer les performances des estimateurs selon différents critères : biais moyen, erreur quadratique moyenne, et convergence. Pour cela, nous avons généré des échantillons aléatoires selon les lois étudiées en utilisant la méthode d'inversion, puis appliqué les méthodes d'estimation retenues. Les résultats de la simulation ont été présentés sous forme de tableaux et de graphiques réalisés avec le logiciel R.

2. BIC – Critère d'information bayésien 2. BIC – Critère d'information bayésien Enfin, nous avons testé l'ajustement des différentes distributions sur un jeu de données réelles. Cela nous a permis de juger de leur pertinence pratique et de comparer leur capacité à représenter fidèlement les données observées. Les critères de comparaison incluent notamment la log-vraisemblance, Critère d'information d'Akaike (AIC), le Critère d'information bayésien (BIC) et l'analyse graphique.

Notre choix de focaliser l'étude finale sur la distribution UPLoD repose sur sa capacité supérieure à modéliser une large gamme de comportements statistiques. Grâce à sa double transformation, elle est capable de s'adapter aux données extrêmes tout en étant confinée dans un intervalle borné, ce qui la rend particulièrement utile dans des contextes où d'autres distributions échouent. De plus, elle conserve une structure mathématique relativement simple, ce qui facilite sa mise en œuvre et son interprétation. Ce potentiel à la fois théorique et pratique justifie l'intérêt particulier que nous lui avons accordé dans ce travail.



1.1 Distribution Lomax

La distribution de Lomax (LoD), également connue sous le nom de distribution de Pareto de type II, est une distribution de probabilité continue utilisée pour modéliser des phénomènes caractérisés par une queue lourde. Introduite par [Lomax, 1954]. Elle trouve des applications dans divers domaines tels que l'ingénierie, l'assurance, la finance et l'analyse des risques.

Cette distribution est particulièrement utile dans l'étude des événements extrêmes, comme la modélisation des pertes en assurance, la durée de vie des composants dans l'ingénierie de fiabilité, ainsi que la répartition des richesses et des revenus en économie. Grâce à sa flexibilité, elle permet de mieux représenter les données asymétriques et les distributions avec une forte concentration de valeurs faibles accompagnées d'une longue queue [Pareto, 1964]

. D'un point de vue théorique, la distribution Lomax constitue une alternative aux distributions classiques comme la distribution exponentielle et la distribution de Weibull [Alhamzawi and Ali, 2020]. Ahsanullah a étudié ses statistiques d'enregistrement (record statistics) et ses caractéristiques distributionnelles [Pareto, 1897]. Balakrishnan et Ahsanullah ont approfondi son étude en établissant des relations entre les moments des valeurs enregistrées [Johnson et al., 1994].

L'un des rôles majeurs de la distribution Lomax est son utilisation comme distribution de mélange pour estimer le paramètre de Poisson et ainsi dériver la distribution de Poisson-Lomax [Bourguignon et al., 2016]. En ce qui concerne l'estimation de ses paramètres, plusieurs études ont été menées en utilisant des approches telles que le maximum de vraisemblance et les méthodes bayésiennes [Karakaya et al., 2022].

Par ailleurs, elle a été appliquée dans des modèles de durée de vie pour estimer des paramètres inconnus via différentes méthodes . Un lien a également été établi entre la

famille de distributions Burr et la distribution Lomax [Linhart and Zucchini, 1986].

Enfin, la distribution Lomax trouve ses applications dans de nombreux domaines scientifiques, notamment la physique nucléaire (rapports masse-énergie), la génétique (rapports d'héritage mendélien), la météorologie (contrôle des précipitations) et la fiabilité des systèmes via le modèle contrainte-résistance (stress-strength model) [Murthy et al., 2004]. Sa capacité à modéliser divers phénomènes en fait un outil statistique puissant et polyvalent.

1.1.1 Fonction de densité

La fonction de densité de Lomax montre que cette distribution est une extension de la distribution de Pareto et possède une queue lourde, ce qui signifie qu'elle accorde une probabilité relativement élevée aux valeurs extrêmes. Cette propriété est particulièrement utile pour modéliser des phénomènes où les grandes valeurs sont fréquentes, comme la distribution des richesses, les pertes en assurance, ou encore la durée de vie des systèmes en ingénierie.

Une variable aléatoire X suit la distribution Lomax avec les paramètres $\alpha > 0$ et $\lambda > 0$ si sa fonction de densité de probabilité est donnée par :[Para and Jan, 2018]

$$f(x;\alpha,\lambda) = \frac{\alpha}{\lambda} \left(\frac{\lambda}{\lambda + x}\right)^{(\alpha+1)} \tag{1.1}$$

où:

- $\alpha > 0$ est le paramètre de forme.
- $\lambda > 0$ est le paramètre d'échelle.
- x > 0 représente la variable aléatoire modélisée.

Exemple de la densité lomax est présenté respectivement dans la figure 1.1

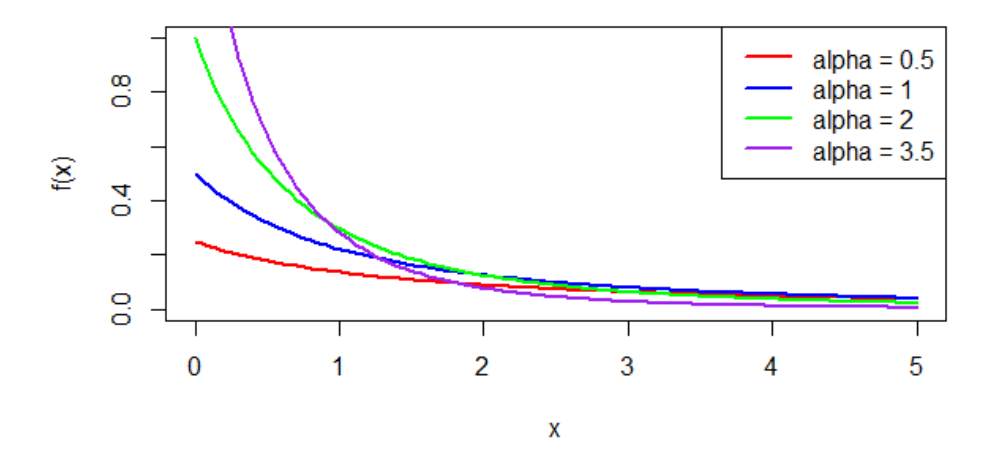


FIGURE 1.1 – Densité de la distribution Lomax pour le paramètre de forme $\alpha = (0.5; 1; 2; 3.5)$ avec $\lambda = 2$.

1.1.2 Fonction de répartition

Une variable aléatoire X suit une distribution LoD si sa fonction de répartition existe, représentant la probabilité que X soit inférieure ou égale à x s'exprime par l'équation suivante :

$$F(x;\alpha,\lambda) = 1 - \left(\frac{\lambda}{x+\lambda}\right)^{\alpha}, \quad x > 0$$
 (1.2)

Exemple de la fonction de répartition est présenté respectivement dans la figure 1.2

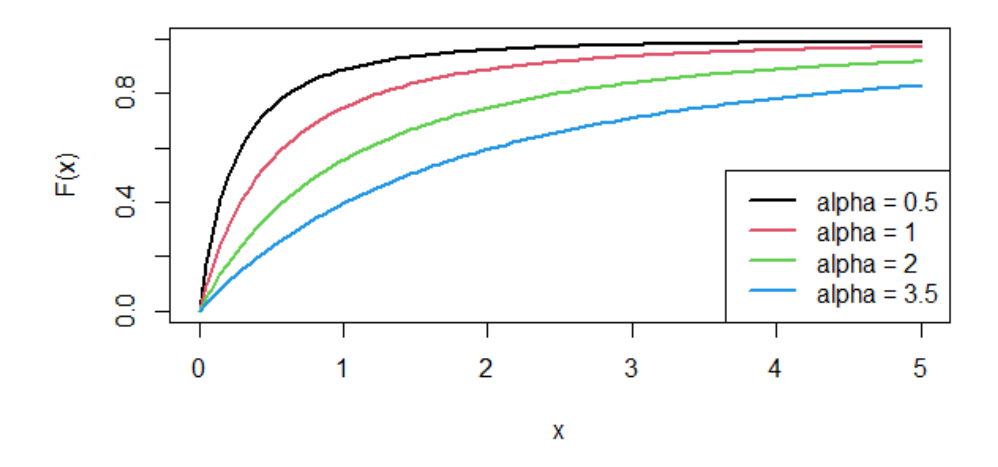


FIGURE 1.2 – Fonction de répartition du modèle Lomax pour le paramètre de forme $\alpha = (0.5; 1; 2; 3.5)$ avec $\lambda = 2$.

1.1.3 Fonction de survie et le taux de hasard

La fonction de survie est un outil fondamental en analyse de fiabilité et en gestion des risques. Elle représente la probabilité qu'une variable aléatoire suive une durée de vie supérieure à une valeur donnée x. Cette fonction est particulièrement utile dans les domaines de l'assurance et de l'ingénierie, où elle permet d'évaluer la probabilité de survie d'un système ou d'un individu au-delà d'un certain temps. Le **taux de hasard**, quant à lui, mesure l'intensité du risque de défaillance instantanée à un moment donné, conditionnellement au fait que l'événement n'ait pas encore eu lieu. Il est largement utilisé en fiabilité des systèmes et en biostatistique pour modéliser l'occurrence d'événements rares.

Ces deux fonctions sont définies par :

$$S(x) = \mathbb{P}(X > x) = 1 - F(x) = \left(\frac{\lambda}{x + \lambda}\right)^{\alpha}, \quad x > 0$$
 (1.3)

le taux de hasard est donné par :

$$h(x) = \frac{f(x)}{S(x)} = \frac{\frac{\alpha}{\lambda} \left(\frac{\lambda}{\lambda + x}\right)^{(\alpha + 1)}}{\left(\frac{\lambda}{x + \lambda}\right)^{\alpha}} = \left(\frac{\alpha}{\lambda + x}\right)$$
(1.4)

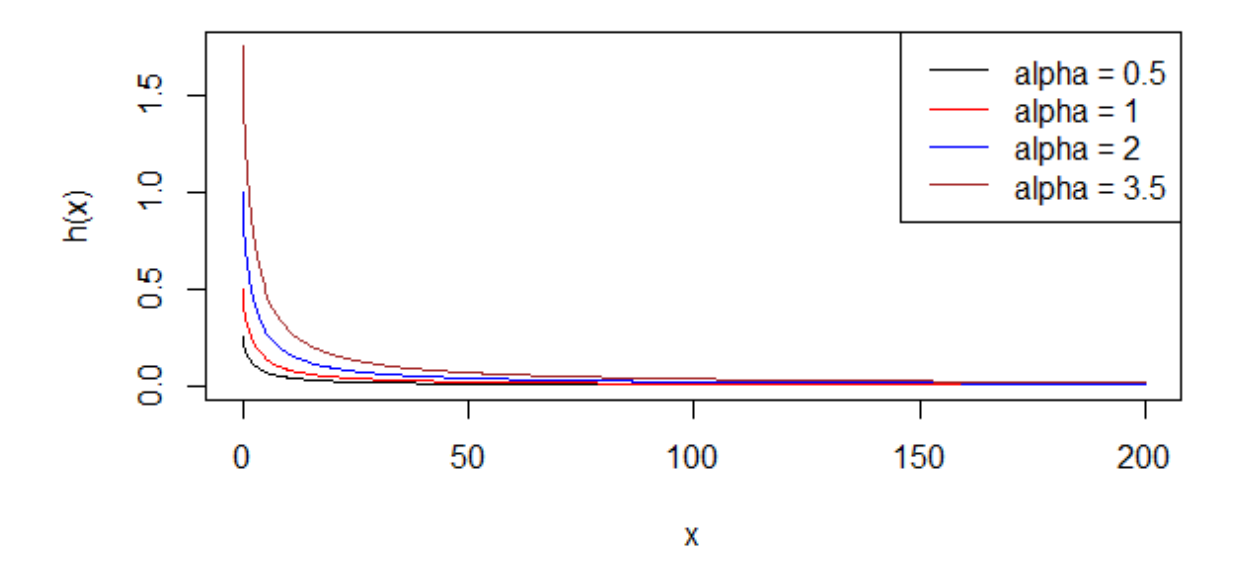


FIGURE 1.3 – Taux de hasard du modèle Lomax pour le paramètre de forme $\alpha = (0.5; 1; 2; 3,5)$ avec $\lambda = 2$.

1.1.4 Fonction de hasard cumulée

la fonction de hasard cumulée est donnée par :

$$H(x) = \int_0^x h(x) = -\ln(S(x)) = -\ln\left(\frac{\lambda}{x+\lambda}\right)^{\alpha} = -\alpha \ln\left(\frac{\lambda}{x+\lambda}\right)$$
(1.5)

1.1.5 Fonction quantile de la distribution de Lomax

La fonction quantile d'une distribution **Lomax** de paramètres $\alpha > 0$ (paramètre de forme) et $\lambda > 0$ (paramètre d'échelle) est obtenue comme l'inverse de la fonction de répartition cumulative (CDF). Pour un niveau de probabilité $p \in (0,1)$, la fonction quantile Q(p) s'écrit comme suit :

$$Q(p) = \lambda \left((1-p)^{-1/\alpha} - 1 \right)$$

Cette fonction permet de déterminer les quantiles de la distribution. Par exemple :

— Le **1er quartile** (ou quantile à 25 %) est donné par :

$$Q(0.25) = \lambda \left((1 - 0.25)^{-1/\alpha} - 1 \right)$$

— La **médiane** (ou quantile à 50 %) est :

$$Q(0.5) = \lambda \left((1 - 0.5)^{-1/\alpha} - 1 \right)$$

— Le **3ème quartile** (ou quantile à 75 %) est :

$$Q(0.75) = \lambda \left((1 - 0.75)^{-1/\alpha} - 1 \right)$$

Ces quantiles sont utiles pour analyser la dispersion et l'asymétrie des données modélisées par une distribution de Lomax, notamment dans les contextes de données à queue lourde.

1.1.6 Moments

les moments d'ordre r de la distribution de Lomax sont définis par :

$$E[X^r] = \frac{\lambda^r \Gamma(\alpha - r)}{\Gamma(\alpha)}$$
, pour $r < \alpha$.

1.1.7 Espérance et la variance

L'expérience mathématique de la distribution Lomax est données par

$$E(X) = \int_0^\infty x f(x) dx = \int_0^\infty x \frac{\alpha}{\lambda} \left(\frac{\lambda}{\lambda + x} \right)^{(\alpha + 1)} = \frac{\lambda}{\alpha - 1} \quad \text{, si } \alpha > 1.$$

La variance est définie comme :

$$Var(X) = E(X^{2}) - E(X)^{2}$$

$$E(X^{2}) = \frac{2\lambda^{2}}{(\alpha - 1)(\alpha - 2)} \text{, pour } \alpha > 2$$

$$Var(X) = \frac{\lambda^{2}\alpha}{(\alpha - 1)^{2}(\alpha - 2)} \text{, pour } \alpha > 2$$

1.1.8 Méthodes d'estimation

Les méthodes d'estimation sont des techniques utilisées pour déduire les valeurs des paramètres inconnus d'une populations à partir des données d'un échantillon. Ces méthodes permettent aux chercheurs d'inférer des informations sur une population sans avoir à en examiner chaque membre individuellement.[Harvill, 2008]

Nous utiliserons trois approches pour estimes les paramètres de loi de lomax :

La méthode des moments , La vraisemblance maximale et l'omission de terme. Ces techniques permettent d'obtenir des estimations efficaces et cohérents des paramètres à partir d'un échantillon de données.

1.1.8.1 Estimation par la méthode des moments

La méthode des moments repose sur l'égalité entre les moments théorique d'une distribution et les moments empirique issus d'un échantillon observé.[Giles et al., 2011] Dans le cas de la loi de Lomax,les moments de la population sont données par :

$$E(X) = \frac{\lambda}{\alpha - 1}$$
 , pour $\alpha > 1$

$$Var(X) = \frac{\lambda^2 \alpha}{(\alpha - 1)^2 (\alpha - 2)}$$
, pour $\alpha > 2$

D'autre part, les moments empiriques calculés à partire théorique, on obtient les relations suivantes :

$$m_1 = \frac{1}{n} \sum_{i=1}^n X_i = \bar{X}$$

$$m_2 = \frac{1}{n} \sum_{i=1}^{n} X_i^2$$

En égalent ces moments empiriques aux moments théorique les estimateurs des paramètres α et λ :

$$\frac{\lambda}{\alpha - 1} = \bar{X}$$

$$\sum_{i=1}^{n} \frac{X_i^2}{n} = \frac{\alpha \lambda^2}{(\alpha - 1)^2 (\alpha - 2)}$$

Après simplification on déduit les estimateurs des paramètres α et λ : [Para and Jan, 2018]

$$\hat{\alpha}_{MME} = \frac{2\sum_{i=1}^{n} X_i^2}{\sum_{i=1}^{n} X_i^2 - n\bar{X}}$$

$$\hat{\lambda}_{MME} = \bar{X}(\hat{\alpha} - 1)$$

1.1.8.2 Estimation du maximum de vraisemblance

la fonction de vraisemblance associée à la distribution de lomax peut s'écrire sous la forme suivante :

$$L(X;\alpha,\lambda) = \frac{\alpha^n}{\lambda^n} \prod_{i=1}^n \left(1 + \frac{X_i}{\lambda}\right)^{-(\alpha+1)}$$

en prenant le logarithme de cette fonction, nous obtenons l'expression suivante pour la log-vraisemblance :

$$\ln L(X;\alpha,\lambda) = n \ln \alpha - n \ln \lambda - (\alpha + 1) \sum_{i=1}^{n} \ln \left(1 + \frac{X_i}{\lambda} \right) \quad (*)$$

pour obtenir l'estimation du maximum de vraisemblance, on dérivée cette expression par rapport à α :

$$\frac{\partial}{\partial \alpha} \ln(L(X; \alpha, \lambda)) = \frac{n}{\alpha} - \sum_{i=1}^{n} \ln\left(1 + \frac{X_i}{\lambda}\right)$$

En résolvent l'équation obtenue par annulation de cette dérivée, nous trouvons l'estimateur du maximum de vraisemblance pour α :

$$\frac{n}{\alpha} - \sum_{i=1}^{n} \ln\left(1 + \frac{X_i}{\lambda}\right) = 0$$

ce qui donne:

$$\hat{\alpha}_{MLE} = \frac{n}{\sum_{i=1}^{n} \ln(1 + \frac{X_i}{\lambda})}$$

En maximum l'équation (*) et en prenant la dérivée partielle par rapport à λ , on obtient :

$$\frac{\partial}{\partial \lambda} \ln L(X; \alpha, \lambda) = -\frac{n}{\lambda} + (\alpha + 1) \sum_{i=1}^{n} \frac{X_i}{\lambda(\lambda + X_i)}$$

$$\frac{\partial \ln Lf(X;\alpha,\lambda)}{\partial \lambda} = \frac{n}{A}A' - \frac{n}{\lambda} - AB' - A'B - B'$$

avec:

$$A = \frac{n}{B},$$
 $B = \sum_{i=1}^{n} \ln\left(1 + \frac{X_i}{\lambda}\right)$

$$A' = -\frac{nB'}{B^2}, \qquad B' = -\frac{1}{\lambda} \sum_{i=1}^{n} \frac{X_i}{(\lambda + X_i)}$$

comme cette équation ne se résout pas analytiquement, on utilise la méthode de Newton-Raphson pour obtenir l'estimation de λ :

$$\lambda_{n+1} = \lambda_n - \frac{g(\Lambda)}{g'(\lambda)}$$

ou:

$$g(\lambda) = \frac{n}{A}A' - \frac{n}{\lambda} - AB' - A'B - B'$$

et:

$$g'(\lambda) = n\frac{A'' - A'A'}{A^2} + \frac{n}{\lambda^2} - AB'' - 2A'B' - A''B - B''$$

avec:

$$A'' = -n\frac{B''B^2 - 2BB'^2}{B^2}$$

$$B'' = \sum_{i=1}^{n} \frac{X_i(2\lambda + X_i)}{\lambda^2(\lambda + X_i)^2}$$

1.1.9 Matrice d'information de Fisher

La matrice d'information de Fisher pour un paramètre λ et α est définie par :

$$I_n(\lambda,\alpha)_{k,1} = -E\left[\frac{\partial^2 \ln f(X,\lambda,\alpha)}{\partial \lambda_k \partial \lambda_1}\right],$$

avec des éléments spécifiques :

$$I_{11} = -E\left(\frac{\partial^2 I(\lambda, \alpha)}{\partial \alpha^2}\right) = -\mathbb{E}\left(-\frac{n}{\alpha^2}\right)$$

$$I_{22} = -\mathbb{E}\left(\frac{\partial^2 l(\lambda, \alpha)}{\partial \lambda^2}\right) = -\mathbb{E}\left(\frac{n}{\lambda^2} - \frac{(1+\alpha)}{\lambda^2} \sum_{i=1}^n \left(\frac{2x_i}{\lambda + x_i} - \frac{x_i^2}{(\lambda + x_i)^2}\right)\right)$$

$$I_{12} = I_{21} = -\mathbb{E}\left(\frac{\partial^2 l(\lambda, \alpha)}{\partial \alpha \partial \lambda}\right) = -\mathbb{E}\left(\frac{\partial^2 l(\lambda, \alpha)}{\partial \lambda \partial \alpha}\right) = -\mathbb{E}\left(\sum_{i=1}^n \frac{x_i}{\lambda^2 (1 + \frac{x_i}{\lambda})}\right)$$

Cette matrice est d'une importance capitale dans les analyses statistiques et probabilistes, notamment lorsqu'il s'agit d'évaluer la variance et la covariance des estimateurs obtenus à partir d'un échantillon. Elle est largement utilisée en statistique inférentielle pour la construction d'intervalles de confiance et pour l'évaluation de l'efficacité des estimateurs dans le cadre du modèle étudié.

1.2 Distribution de Lomax unitaire (Unit Lomax :ULoD)

1.2.1 Introduction

La distribution de Lomax unitaire (ULoD) est un modèle statistique défini sur l'intervalle (0,1), ce qui la rend particulièrement adaptée à la modalisation de données normalisées telles que les proportions, les indices ou encore les probabilités. Elle constitue un cas particulier de la famille Lomax-G, récemment proposée par [Sapkota et al., 2023], qui vise à améliorer la flexibilité de la loi de Lomax en y appliquant des transformations spécifiques.

Le principal avantage du modèle ULoD réside dans sa capacité à représenter des données réelles fortement asymétriques tout en respectant les contraintes naturelles imposées par le domaine (0,1). Grâce à sa fonction de densité souple et à ses paramètres ajustables, la distribution ULoD permet une meilleure interprétation des phénomènes observés, en particulier dans les domaines où les variables sont naturellement bornées, comme la finance, la fiabilité ou l'évaluation des risques environnementaux.

1.2.2 Fonction de densité et Fonction de répartition (CDF)

La fonction de densité associée à la distribution lo max unitaire décrit la structure probabiliste de la variable aléatoire sur l'intervalle (0,1), avec une flexibilité contrôle par les paramètres α et λ .

Soit Y une variable aléatoire suivant une distribution Lomax de paramètres (α, λ) . Sa fonction de répartition est :

$$F_Y(y) = P(Y \le y) = 1 - \left(1 + \frac{y}{\lambda}\right)^{-\alpha}, \quad y > 0$$
 (1.6)

Nous définissons la nouvelle variable :

$$X = \frac{1}{1+Y}, \quad X \in (0,1) \tag{1.7}$$

transformation est décroissante :

$$P(X \le x) = P\left(\frac{1}{1+Y} \le x\right) \tag{1.8}$$

$$=P\left(Y \ge \frac{1}{x} - 1\right) \tag{1.9}$$

$$=1-F_Y\left(\frac{1}{x}-1\right)\tag{1.10}$$

$$= \left(1 + \frac{\frac{1}{x} - 1}{\lambda}\right)^{-\alpha} \tag{1.11}$$

Simplification

$$F_X(x) = \left(\frac{1 + (\lambda - 1)x}{\lambda x}\right)^{-\alpha} \tag{1.12}$$

$$= \left(\frac{\lambda x}{1 + (\lambda - 1)x}\right)^{\alpha} \tag{1.13}$$

Dérivation de la densité

$$f_X(x) = \frac{d}{dx} F_X(x) \tag{1.14}$$

$$= \alpha \left(\frac{\lambda x}{1 + (\lambda - 1)x}\right)^{\alpha - 1} \cdot \frac{\lambda}{(1 + (\lambda - 1)x)^2}$$

$$= \frac{\alpha \lambda^{\alpha} x^{\alpha - 1}}{(1 + (\lambda - 1)x)^{\alpha + 1}}$$
(1.15)

$$= \frac{\alpha \lambda^{\alpha} x^{\alpha - 1}}{(1 + (\lambda - 1)x)^{\alpha + 1}} \tag{1.16}$$

La densité de la distribution Lomax unitaire :

$$f_X(x) = \frac{\alpha \lambda^{\alpha} x^{\alpha - 1}}{[1 + (\lambda - 1)x]^{\alpha + 1}}, \quad 0 < x < 1$$
 (1.17)

Vérification des cas particuliers

Cas 1 : Quand $\lambda = 1$

$$f_X(x) = \alpha x^{\alpha - 1} \tag{1.18}$$

Cas 2 : Quand $\alpha = 1$

$$f_X(x) = \frac{\lambda}{[1 + (\lambda - 1)x]^2}$$
 (1.19)

 $\alpha > 0$ représente le paramètre de forme, et $\lambda > 0$ le paramètre d'échelle.

Principales et propriétés :

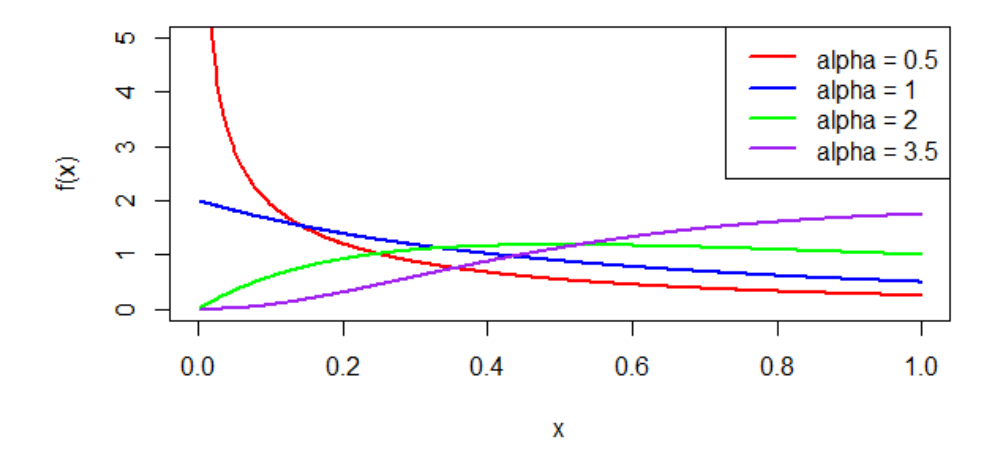


FIGURE 1.4 – Densité de la distribution Lomax unitaire pour le paramètre de forme $\alpha = (0.5; 1; 2; 3.5)$ avec $\lambda = 2$.

- Le support de la distribution est l'intervalle ouvert (0,1)
- La densité peut être décroissante ou présenter un mode, selon les valeurs des paramètres
- Les moments existent sous certaines conditions sur α
- La distribution est obtenue via la transformation $X = \frac{1}{1+Y}$ où Y suit une loi de Lomax

Ce modèle est formellement simple mais très flexible, ce qui le rend adapté à la modélisation de données continues bornées.

Soit X une variable aléatoire continue définie sur l'intervalle (0,1), la fonction de répartition cumulative (CDF) de la distribution Lomax unitaire est donnée dans l'équation 1.12

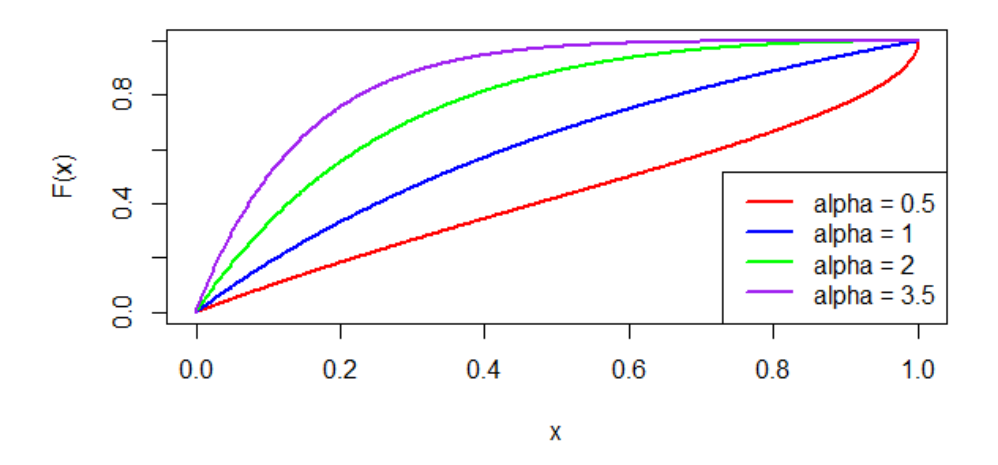


FIGURE 1.5 – Fonction de répartition du modèle Lomax unitaire pour le paramètre de forme $\alpha = (0.5; 1; 2; 3.5)$ avec $\lambda = 2$.

Caractéristiques:

- La fonction $F_X(x)$ est continue et strictement croissante sur l'intervalle [0,1].
- Elle satisfait les conditions aux bornes suivantes : $F_X(0) = 0$ et $F_X(1) = 1$.
- Sa forme dépend de manière flexible des paramètres a et λ , ce qui permet d'adapter la distribution à différents types de données sur (0,1).

Domaines d'application :

- Calcul des probabilités associées à des intervalles donnés.
- Détermination des quantiles.
- Simulation des variables aléatoires suivant la loi de Lomax unitaire, notamment par la méthode de l'inversion.

1.2.3 Fonction de survie et le taux de hasard

La fonction de survie associée, notée S(x), s'écrit :

$$S(x) = \mathbb{P}(X > x) = \left(\frac{\lambda}{1 + (\lambda - 1)x}\right)^{\alpha}, \quad \text{pour } 0 < x < 1.$$
 (1.20)

La fonction de hasard pour la distribution Lomax unitaire est donnée par :

$$h(x|\alpha,\lambda) = \frac{f(x|\alpha,\lambda)}{1 - F(x|\alpha,\lambda)} = \frac{\alpha \lambda^{\alpha} x^{\alpha-1}}{(1 - x)^{\alpha} [1 + (\lambda - 1)x]}, \quad 0 < x < 1.$$
 (1.21)

Cette fonction décrit le risque instantané associé à une variable suivant la loi de Lomax unitaire.

Elle dépend des paramètres de forme α et d'échelle λ , ainsi que de la variable x.

On remarque que:

$$\lim_{x\to 0}h(x|\alpha,\lambda)=0,\quad \lim_{x\to 1}h(x|\alpha,\lambda)=\infty.$$

Ce comportement suggère une augmentation du risque à mesure que x approche de la borne supérieure de l'intervalle.

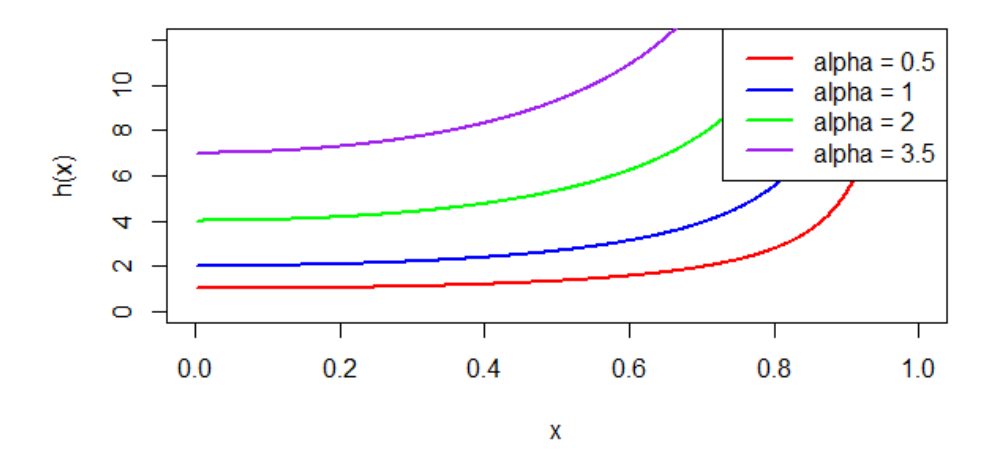


FIGURE 1.6 – Taux de hasard du modèle Lomax unitaire pour le paramètre de forme $\alpha = (0.5; 1; 2; 3.5)$ avec $\lambda = 2$.

1.2.4 Fonction de risque cumulée

La fonction de risque cumulée (ou fonction de hasard cumulée), notée H(x), est définie par :

$$H(x) = -\ln S(x). \tag{1.22}$$

En remplaçant l'expression de S(x), on obtient :

$$H(x) = \alpha \ln \left(\frac{1 + (\lambda - 1)x}{\lambda} \right), \quad \text{pour } 0 < x < 1.$$
 (1.23)

1.2.5 Espérance et Variance de la distribution Lomax unitaire (ULoD)

Soit $X \sim \text{Lomax unitaire}(\alpha, \lambda)$, avec $\alpha > 2$ et $\lambda > 1$. La densité de probabilité est donnée par :

$$f_X(x) = \frac{\alpha \lambda^{\alpha} x^{\alpha - 1}}{[1 + (\lambda - 1)x]^{\alpha + 1}}, \quad \text{pour } 0 < x < 1$$
 (1.24)

L'espérance est donnée par l'intégrale :

$$\mathbb{E}[X] = \int_0^1 x f_X(x) dx = \alpha \lambda^{\alpha} \int_0^1 \frac{x^{\alpha}}{[1 + (\lambda - 1)x]^{\alpha + 1}} dx$$

Après un changement de variable approprié, on obtient la formule fermée suivante (valable pour $\alpha > 1$) :

$$\mathbb{E}[X] = \frac{1}{(\lambda - 1)(\alpha - 1)} \tag{1.25}$$

Le second moment est :

$$\mathbb{E}[X^2] = \int_0^1 x^2 f_X(x) \, dx = \alpha \lambda^{\alpha} \int_0^1 \frac{x^{\alpha+1}}{[1 + (\lambda - 1)x]^{\alpha+1}} dx$$

Ce qui donne, pour $\alpha > 2$:

$$\mathbb{E}[X^2] = \frac{2}{(\lambda - 1)^2 (\alpha - 1)(\alpha - 2)}$$
 (1.26)

La variance est obtenue par :

$$Var(X) = \mathbb{E}[X^2] - (\mathbb{E}[X])^2$$

D'où:

$$Var(X) = \frac{1}{(\lambda - 1)^2} \left[\frac{2}{(\alpha - 1)(\alpha - 2)} - \frac{1}{(\alpha - 1)^2} \right]$$
 (1.27)

Conditions d'existence

- L'espérance $\mathbb{E}[X]$ existe si $\alpha > 1$
- La variance Var(X) existe si $\alpha > 2$

1.2.6 Moments de la distribution Lomax unitaire (ULoD)

Le moment d'ordre *k* est donné par :

$$\mu'_k = \mathbb{E}[X^k] = \alpha \lambda^{\alpha} \int_0^1 \frac{x^{k+\alpha-1}}{[1+(\lambda-1)x]^{\alpha+1}} dx$$

Conditions d'existence :

- μ'_k existe si $\alpha > k$
- Pour $\lambda \approx 1$, utiliser des méthodes numériques

Applications

- Modélisation des données bornées dans (0,1)
- Analyse de ratios et proportions
- Études de fiabilité et durée de vie normalisées

1.2.7 Estimation

L'estimation des paramètres de la distribution Lomax unitaire, qui est une version bornée de la distribution Lomax classique, est essentielle dans plusieurs applications statistiques. Cette distribution est utile pour modéliser des données à queue lourde sur un intervalle fini (0,1). Parmi les méthodes d'estimation les plus utilisées, on retrouve la méthode du maximum de vraisemblance (MLE) et la méthode des moments (MME)

[Casella and Berger, 2002, Cox and Snell, 1968]. Des ajustements peuvent également être appliqués pour corriger le biais dans les petits échantillons.

1.2.7.1 Estimation par la méthode du maximum de vraisemblance

Soit $X_1, X_2, ..., X_n$ un échantillon aléatoire indépendant suivant une loi Lomax unitaire dont la fonction de densité est donnée dans l'équation 1.17

La log-vraisemblance associée à cet échantillon est :

$$\ell(\alpha, \lambda) = n\log(\alpha) + n\alpha\log(\lambda) + (\alpha - 1)\sum_{i=1}^{n}\log(x_i) - (\alpha + 1)\sum_{i=1}^{n}\log(1 + (\lambda - 1)x_i)$$

Pour estimer les paramètres α et λ , on maximise cette log-vraisemblance par rapport aux deux paramètres, sous les contraintes $\alpha > 0$ et $\lambda > 1$. La dérivée partielle de la log-vraisemblance par rapport à α est :

$$\frac{\partial \ell}{\partial a} = \frac{n}{a} + n \log(\lambda) + \sum_{i=1}^{n} \log(x_i) - \sum_{i=1}^{n} \log(1 + (\lambda - 1)x_i)$$
 (1.28)

La dérivée partielle de la log-vraisemblance par rapport à λ est :

$$\frac{\partial \ell}{\partial \lambda} = \frac{na}{\lambda} - (a+1) \sum_{i=1}^{n} \frac{x_i}{1 + (\lambda - 1)x_i}$$
 (1.29)

L'optimisation est effectuée numériquement à l'aide de l'algorithme L-BFGS-B, qui permet d'imposer des bornes intérieures

1.2.7.2 Estimation par la méthode des moments

Principe : La méthode des moments consiste à égaler les moments théoriques aux moments empiriques calculés à partir d'un échantillon. On utilise ici les deux premiers moments pour estimer α et λ .

Premier moment (empirique)

Si on note $m_1 = \frac{1}{n} \sum_{i=1}^n X_i$, alors :

$$m_1 = \mathbb{E}[X] = \frac{1}{(\lambda - 1)(\alpha - 1)}$$

Deuxième moment (empirique)

Soit $m_2 = \frac{1}{n} \sum_{i=1}^{n} X_i^2$, alors :

$$m_2 = \mathbb{E}[X^2] = \frac{2}{(\lambda - 1)^2 (\alpha - 1)(\alpha - 2)}$$

Système d'équations

$$\begin{cases} m_1 = \frac{1}{(\lambda - 1)(\alpha - 1)} \\ m_2 = \frac{2}{(\lambda - 1)^2(\alpha - 1)(\alpha - 2)} \end{cases}$$

Méthode de résolution

Posons $A = \hat{\alpha} - 1 \implies \hat{\alpha} = A + 1$, alors :

$$\hat{\lambda} - 1 = \frac{1}{Am_1}.$$

En remplaçant dans la deuxième équation :

$$m_2 = 2Am_1^2 \cdot \frac{1}{A+1}.$$

Cette équation est à résoudre numériquement pour A, puis on retrouve :

$$\hat{\alpha} = A + 1$$
 et $\hat{\lambda} = 1 + \frac{1}{Am_1}$.

1.2.8 Fonction quantile

La fonction quantile, notée Q(p), est définie comme l'inverse de la fonction de répartition F_X . Pour une probabilité donnée $p \in [0,1]$, elle permet d'identifier la valeur seuil telle que :

$$Q(p) = F_X^{-1}(p)$$

Dans le cas spécifique de la distribution Lomax unitaire, la fonction quantile s'écrit :

$$Q(p) = \frac{p^{1/\alpha}}{\lambda - (\lambda - 1)p^{1/\alpha}}, \quad \text{pour } 0 \le p \le 1$$
 (1.30)

où $\alpha > 0$ est un paramètre de forme, et $\lambda > 0$ est un paramètre d'échelle. Cette fonction joue un rôle essentiel dans la simulation aléatoire et l'analyse des données extrêmes. Elle permet notamment :

- La génération de données synthétiques suivant la loi de Lomax unitaire via la méthode d'inversion.
- Le calcul direct des quantiles et des percentiles.
- L'exploration du comportement des queues de distribution, notamment dans des domaines tels que la fiabilité, la finance ou les télécommunications.

Les propriétés mathématiques de cette fonction ont été étudiées et approfondies récemment dans [de la Cruz et al., 2023], notamment dans le contexte de la régression quantile.

1.2.9 Matrice d'information de Fisher

La matrice d'information de Fisher est définie comme l'opposée de l'espérance de la matrice Hessienne de la log-vraisemblance :

$$\mathcal{I}(\alpha,\lambda) = -\mathbb{E}\left[\left(\begin{array}{cc} \frac{\partial^2 \ell}{\partial \alpha^2} & \frac{\partial^2 \ell}{\partial \alpha \partial \lambda} \\ \frac{\partial^2 \ell}{\partial \lambda \partial \alpha} & \frac{\partial^2 \ell}{\partial \lambda^2} \end{array}\right)\right]$$

Les dérivées secondes de la log-vraisemblance donnent les éléments suivants :

— Terme I_{11} :

$$\frac{\partial^2 \ell}{\partial \alpha^2} = -\frac{n}{\alpha^2} \quad \Rightarrow \quad I_{11} = \frac{n}{\alpha^2}$$

— Terme $I_{12} = I_{21}$:

$$\frac{\partial^2 \ell}{\partial \alpha \partial \lambda} \approx \frac{n}{\lambda} - \sum_{i=1}^n \frac{x_i}{1 + (\lambda - 1)x_i} \quad \Rightarrow \quad I_{12} = I_{21} = -\frac{n}{\lambda}$$

— Terme *I*₂₂ :

$$\frac{\partial^2 \ell}{\partial \lambda^2} \approx -\frac{n\alpha}{\lambda^2} + (\alpha + 1) \sum_{i=1}^n \frac{x_i^2}{[1 + (\lambda - 1)x_i]^2} \quad \Rightarrow \quad I_{22} = \frac{n\alpha}{\lambda^2}$$

Ainsi, la matrice d'information de Fisher s'écrit :

$$\mathcal{I}(\alpha,\lambda) = \begin{pmatrix} \frac{n}{\alpha^2} & -\frac{n}{\lambda} \\ -\frac{n}{\lambda} & \frac{n\alpha}{\lambda^2} \end{pmatrix}$$

1.3 Distribution Lomax à puissance(PLoD)

1.3.1 Introduction

La distribution Lomax à puissance (PLoD) [Rady et al., 2016] a été introduite comme une extension de la distribution de lomax afin d'améliorer son ajustement aux données. Cette amélioration est rendue possible grâce à l'ajout d'un paramètre supplémentaire de puissance ou de forme qui offre une meilleure flexibilité dans la modélisation statistique, plusieurs recherches ont mis en évidence l'importance de cette distribution [Al-Marzouki et al., 2020], en soulignant ses avantages dans divers contextes d'application. Cependant, certains aspects liés aux statistiques d'ordre généralisées (GOS) restant encore peu explorés.

Ce travail vise précisément à approfondir ces aspects afin d'enrichir la compréhension théorique et pratique de la distribution PLoD. [Nagarjuna et al., 2021] Une nouvelle généralisation de la distribution de Lomax est proposée en appliquant une transformation de puissance $X = T^{\frac{1}{\beta}}$, où la variable aléatoire T suit une distribution de Lomax avec les paramètres α et λ . La distribution de X ainsi obtenue est appelée **distribution de Lomax à puissance**.

D'un point de vue notationnel, on écrit :

$$X \sim PLoD(\alpha, \beta, \lambda)$$

pour indiquer que la variable X suit cette distribution avec les paramètres α , β et λ .

1.3.2 Fonction de densité et Fonction de répartition

La distribution de Lomax à puissance (PLoD) généralise la distribution de Lomax standard par une transformation de puissance. Cette généralisation offre une plus grande flexibilité pour modéliser des données à queues lourdes

Soit T une variable aléatoire suivant une distribution de Lomax de paramètres α et λ , notée $T \sim \text{Lomax}(\alpha, \lambda)$. Sa fonction de répartition (CDF) est donnée par :

$$F_T(x) = P(T \le x) = 1 - \left(1 + \frac{x}{\lambda}\right)^{-\alpha}, \quad t > 0.$$

On définit la variable aléatoire $X = T^{1/\beta}$ avec $\beta > 0$. La transformation inverse est $T = X^{\beta}$.

La fonction de répartition de *X* s'obtient par :

$$F_X(x) = P(X \le x) = P(T^{1/\beta} \le x) = P(T \le x^{\beta}) = F_T(x^{\beta})$$
 (1.31)

En substituant l'expression de F_T , on obtient :

$$F_X(x) = 1 - \left(1 + \frac{x^{\beta}}{\lambda}\right)^{-\alpha}, \quad x > 0.$$
 (1.32)

Dérivation de la densité de X La densité de probabilité (PDF) de X s'obtient en dérivant $F_X(x)$:

$$f_X(x) = \frac{d}{dx} F_X(x) = \frac{d}{dx} \left[1 - \left(1 + \frac{x^{\beta}}{\lambda} \right)^{-\alpha} \right]$$

En appliquant la règle de dérivation en chaîne :

$$f_X(x) = \alpha \left(1 + \frac{x^{\beta}}{\lambda}\right)^{-\alpha - 1} \cdot \frac{\beta x^{\beta - 1}}{\lambda}$$

Ce qui se simplifie en :

$$f_X(x) = \alpha \beta \lambda^{\alpha} x^{\beta-1} (\lambda + x^{\beta})^{-\alpha-1}, \quad x > 0.$$

Nous avons ainsi démontré que la densité de la distribution PLoD est bien donnée par :

$$f(x) = \alpha \beta \lambda^{\alpha} x^{\beta - 1} \left(\lambda + x^{\beta} \right)^{-\alpha - 1}, \quad x > 0, \alpha, \beta, \lambda > 0.$$
 (1.33)

où $\beta > 0$ le paramètre de transformation de puissance et $\alpha, \lambda > 0$, on considère que f(x) = 0 pour x < 0.

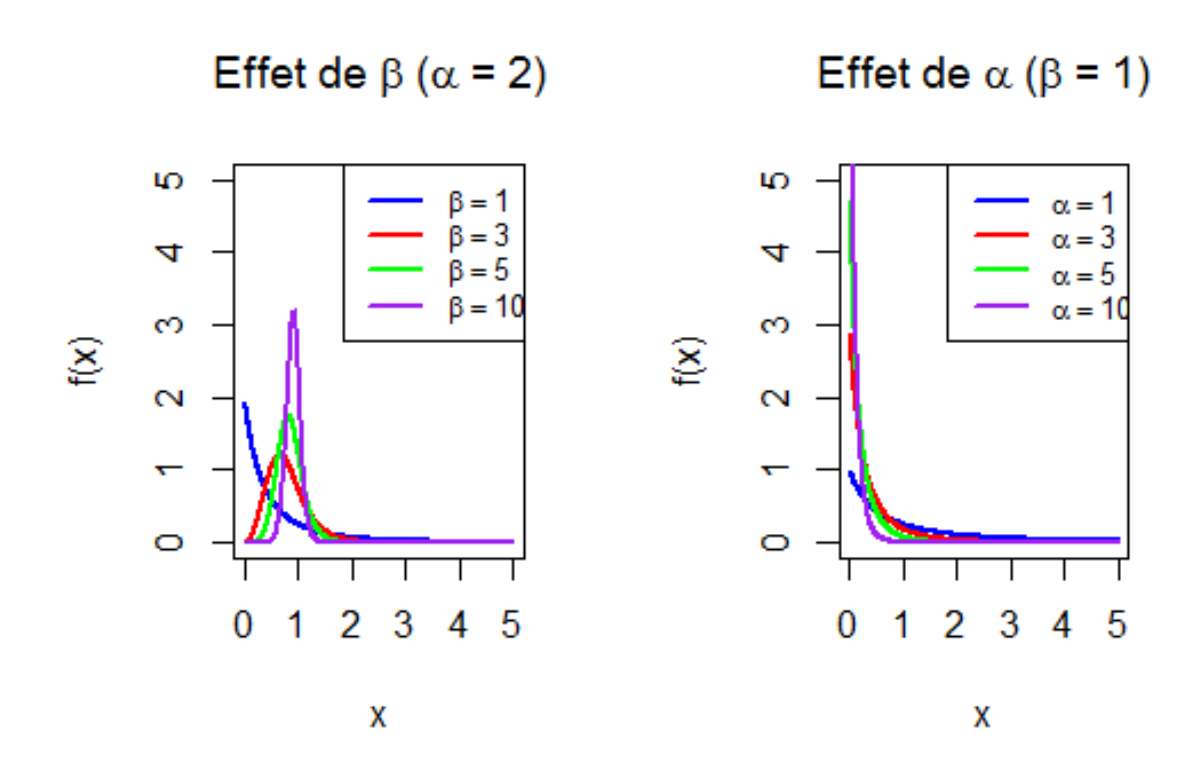


Figure 1.7 – Densité de la distribution Lomax à puissance, avec $\lambda = 1$

Une variable aléatoire X suit une distribution PLoD si sa fonction de répartition existe et est donnée dans l'équation , 1.32

et
$$F(x) = 0$$
 pour $x < 0$.

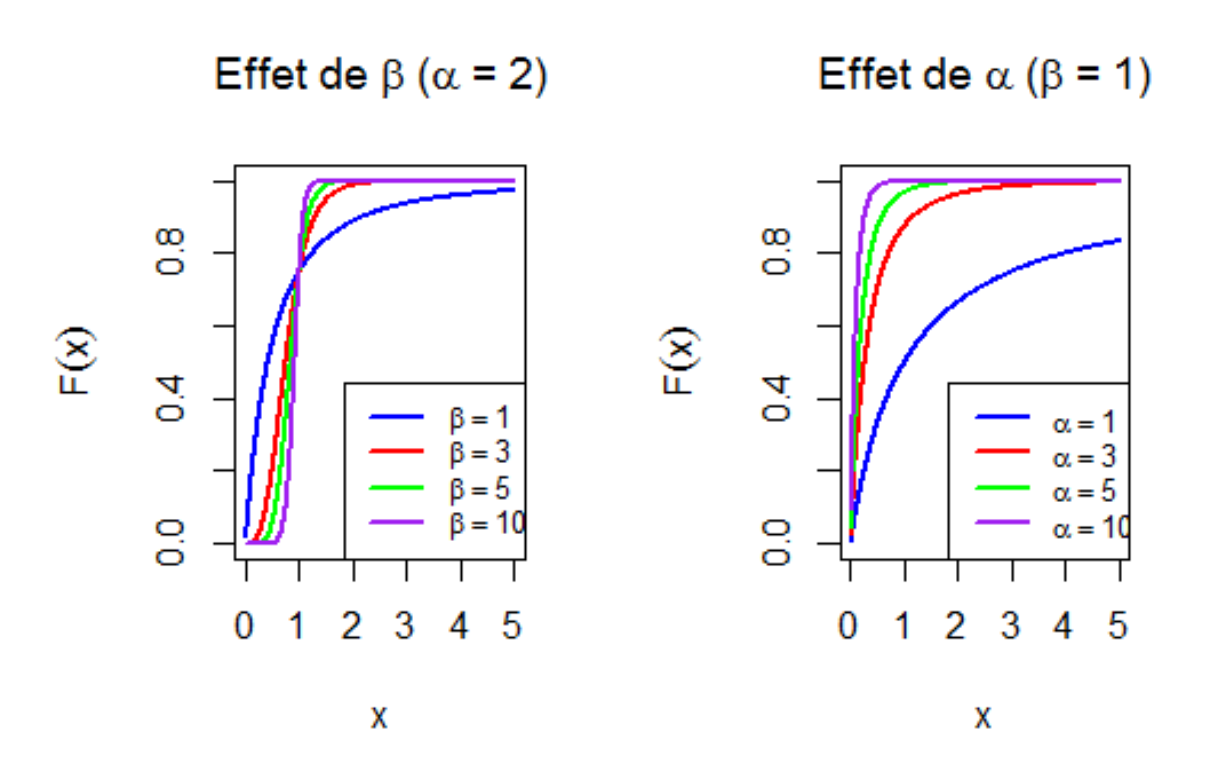


Figure 1.8 – Fonction de répartition du distribution lomax à puissance, avec $\lambda=1$.

1.3.3 Équation caractéristique

En tenant compte des équations précidentes, la fonction de densité et la fonction de répartition complémentaire vérifient la relation suivante :

$$f(x) = \frac{\alpha \beta}{\lambda} \frac{x^{\beta - 1}}{1 + (x^{\beta}/\lambda)} \bar{F}(x). \tag{1.34}$$

où
$$\bar{F}(x) = 1 - F(x)$$
.

cette équation est appelée l'équation caractéristique.

1.3.4 Fonction de survie et le taux de hasard

la fonction de survie de la distribution lomax à puissance est donné par :

$$S(x) = 1 - F(x) = \lambda^{\alpha} \left(\lambda + x^{\beta}\right)^{-\alpha}$$
, $x > 0, \alpha, \beta, \lambda > 0$

le taux de hasard est donné par :

$$h(x) = \frac{f(x)}{s(x)}$$

$$= \frac{\alpha \beta \lambda^{\alpha} x^{\beta - 1} (\lambda + x^{\beta})^{-(\alpha + 1)}}{\lambda^{\alpha} (\lambda + x^{\beta})^{-\alpha}}$$

$$= \alpha \beta x^{\beta - 1} (\lambda + x^{\beta})^{-1}$$

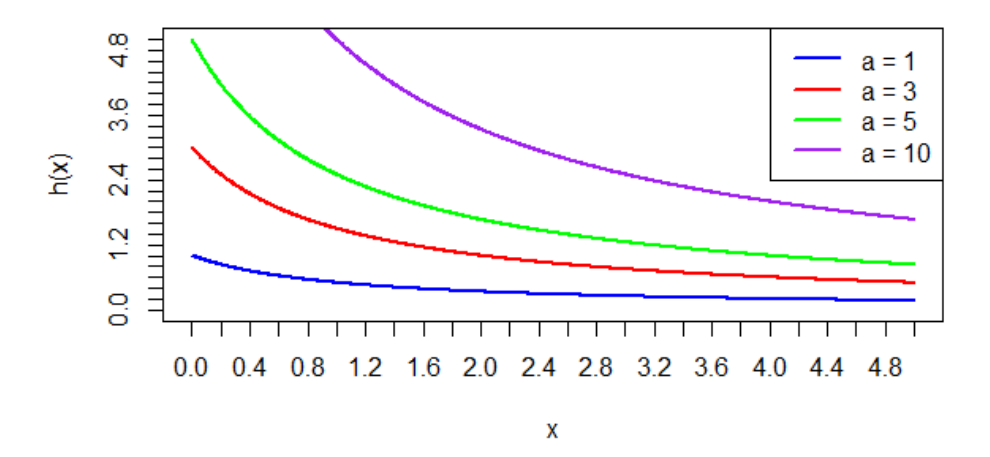


FIGURE 1.9 – Taux de hasard du modèle distribution lomax à puissance pour le paramètre de forme $\alpha(1;3;5;10)$, $\beta=5,\lambda=1$.

1.3.5 Fonction de hasard cumulée

la fonction de hasard cumulé est donnée par :

$$H(x) = -\ln(S(x))$$

$$= -\ln(\lambda^{\alpha} \left(\lambda + x^{\beta}\right)^{-\alpha})$$

$$= \alpha \ln(1 + \frac{x^{\beta}}{\lambda})$$

1.3.6 Quantiles et fonction quantile

Un **quantile** Q(p) est une valeur qui divise une distribution de probabilité de manière à ce qu'une proportion p des observations soit inférieure ou égale à cette valeur.

La fonction quantile Q(p) pour une variable X suivant une distribution (PLoD) est donnée par :

$$Q(p) = \lambda^{\frac{1}{\beta}} \left((1-p)^{-\frac{1}{\alpha}} - 1 \right)^{\frac{1}{\beta}}$$

où:

- λ , α et β sont des paramètres de la distribution.
- p représente la probabilité associée au quantile (ex. médiane pour p = 0.

1.3.6.1 Quartiles de la distribution PLoD

Les quartiles sont des cas particuliers de quantiles :

- Premier quartile Q_1 (25%) : $p = \frac{1}{4}$
- Médiane Q_2 (50%) : $p = \frac{1}{2}$
- Troisième quartile Q_3 (75%) : $p = \frac{3}{4}$

Ces valeurs sont obtenues en remplaçant p par ces valeurs spécifiques dans la fonction quantile.

$$Q_1 = \lambda^{\frac{1}{\beta}} \left(\left(\frac{3}{4} \right)^{-\frac{1}{\alpha}} - 1 \right)^{\frac{1}{\beta}}$$

$$Q_2 = \lambda^{\frac{1}{\beta}} \left(\left(\frac{1}{2} \right)^{-\frac{1}{\alpha}} - 1 \right)^{\frac{1}{\beta}}$$

Déviation moyenne

La déviation moyenne mesure l'écart moyen entre les valeurs de X et une mesure centrale (moyenne ou médiane).

Déviation moyenne par rapport à la moyenne

$$\eta_1(x) = \int_0^\infty |x - \mu| f(x) dx$$

où $\mu = E(X)$ est l'espérance de X.

Déviation moyenne par rapport à la médiane

$$\eta_2(x) = \int_0^\infty |x - M| f(x) dx$$

où M = Mediane(X).

Cette mesure est souvent préférée pour les distributions avec des queues épaisses (comme PLoD), car elle est moins sensible aux valeurs extrêmes que l'écart-type.

1.3.7 Moments bruts

Les moments bruts (μ_r') permettent de caractériser la distribution d'une variable aléatoire. Pour la distribution Lomax à puissance , le r-ième moment brut est donné

par:

$$\mu_r' = \int_0^\infty x^r \alpha \beta \lambda^\beta x^{\beta - 1} (\lambda + x^\beta)^{-\alpha - 1} dx.$$

- x^r : représente le moment d'ordre r.
- $\alpha\beta\lambda^{\beta}x^{\beta-1}$: provient de la fonction de densité de probabilité de la distribution PLoD.
- $(\lambda + x^{\beta})^{-\alpha-1}$: facteur influençant la décroissance de la densité.

Le calcul de cette intégrale utilise des substitutions et la fonction Gamma, ce qui donne la solution fermée suivante :

$$\mu_r' = \frac{\alpha \lambda^{r/\beta} \Gamma\left(\alpha - \frac{r}{\beta}\right) \Gamma\left(\frac{r+\beta}{\beta}\right)}{\Gamma(1+\alpha)}.$$

Conditions d'existence Pour que μ'_r soit défini, il faut que l'intégrale converge, ce qui impose la contrainte suivante :

$$\alpha > \frac{r}{\beta}$$
.

Si cette condition n'est pas respectée, l'intégrale diverge et le moment brut n'existe pas.

Application des moments Les moments bruts permettent de calculer plusieurs indicateurs statistiques :

- L'espérance (moyenne) : $E[X] = \mu'_1$.
- La variance : $Var(X) = \mu'_2 (\mu'_1)^2$.
- Les coefficients d'asymétrie et d'aplatissement, utiles pour analyser la forme de la distribution.

Les moments du (PLoD) sont particulièrement utiles pour l'analyse des phénomènes à **queue lourde**, comme :

- La modélisation des revenus et des richesses en économie.
- L'analyse des durées de vie en fiabilité.
- L'évaluation des risques extrêmes en finance et assurance.

1.3.8 Méthodes d'estimation

Pour estimer les paramètres α, λ, β de la distribution lomax à puissance(PLoD) plusieurs approches peuvent être utilisées estimation par la méthode des moments, estimation du maximum de vraisemblance l'utilisation de La matrice d'information de Fisher pour analyser l'asymptotique des estimateurs.

1.3.8.1 Estimation par la méthode des moments

L'estimation par la méthode des moments repose sur l'égalité entre les moments théoriques de la distribution (PLoD) et les moments empiriques calculé à partir des données.

Soit $X_1X_2,...,X_n$ un échantillon de taille n . En égalisant les moments ,nous obtenons le Systéme suivant :

$$\mu_{1} = \frac{\alpha \lambda^{\frac{1}{\beta}} \Gamma(\alpha - \frac{1}{\beta}) \Gamma(\frac{1}{\beta})}{\beta \Gamma(1 + \alpha)}$$

$$\mu_{2} = \frac{\alpha \lambda^{\frac{2}{\beta}} \Gamma(\alpha - \frac{2}{\beta}) \Gamma(\frac{2 + \beta}{\beta})}{\beta \Gamma(1 + \alpha)}$$

$$\mu_{3} = \frac{\alpha \lambda^{\frac{3}{\beta}} \Gamma(\alpha - \frac{3}{\beta}) \Gamma(\frac{3 + \beta}{\beta})}{\Gamma(1 + \alpha)}$$

où:

- μ_1, μ_2, μ_3 Sont respectivement le premier, le deuxième et le troisième moment théorique
- $\Gamma(x)$ représente la fonction gamma.

Les estimateurs des paramètres α , β , λ sont obtenus en résolvant ce système d'équations . Cette approche est plus simple que la méthode de maximum de vraisemblance (MLE) , mais elle est souvent moins efficace lorsque la taille de l'échantillon est petite.

1.3.8.2 Estimation du maximum de vraisemblance

Soit $X_1, X_2, ..., X_n$ un échantillon aléatoire issu d'un distribution PLoD, L'objectif est de trouver les valeurs de α, β, λ qui maximisent la vraisemblance des données observées. La fonction de log-vraisemblance associée à la distribution PLoD est donnée par :

$$L(\alpha, \beta, \lambda) = n(\ln \alpha + \ln \beta + \ln \lambda) + (\beta - 1) \sum_{i=1}^{n} \ln x_i - (\alpha + 1) \sum_{i=1}^{n} \ln(\lambda + x_i^{\beta})$$

Les estimateurs des paramètres $\hat{\alpha}, \hat{\beta}, \hat{\lambda}$ sont obtenus en résolvant les équations suivantes :

Pour α :

$$\frac{\partial L}{\partial \alpha} = \frac{n}{\alpha} + n \ln \lambda - \sum_{i=1}^{n} \ln(\lambda + x_i^{\beta}) = 0$$

Pour β

$$\frac{\partial L}{\partial \beta} = \frac{n}{\beta} + \sum_{i=1}^{n} \ln x_i - (\alpha + 1) \sum_{i=1}^{n} \frac{x_i^{\beta} \ln x_i}{\lambda + x_i^{\beta}} = 0$$

 $pour\lambda$

$$\frac{\partial L}{\partial \lambda} = \frac{n\alpha}{\lambda} - (\alpha + 1) \sum_{i=1}^{n} \frac{1}{\lambda + x_i^{\beta}} = 0$$

Ces équations ne peuvent généralement pas être résolues analytiquement. Des méthodes numériques, comme l'algorithme de Newton-Raphson, sont souvent utilisées pour obtenir les solutions éstimées.

1.3.9 Matrice d'information de Fisher

Dans le cadre de l'estimation par intervalle des paramètres du vecteur $\Theta = (\alpha, \lambda, \beta)^T$ associé à la distribution (PLoD), nous pouvons déterminer la matrice d'information de Fisher espérée. Cette matrice, notée $\mathbf{I} = [I_{ij}]$ pour i, j = 1, 2, 3, permet de quantifier la précision des estimateurs des paramètres du modèle. Elle est définie comme l'espérance de la matrice hessienne de l'opposé du logarithme de la vraisemblance. La forme explicite des éléments de cette matrice est donnée ci-dessous :

$$I_{11} = E\left[-\frac{\partial^{2} \ln f(x)}{\partial \alpha^{2}}\right] = \frac{1}{\alpha^{2}}.$$

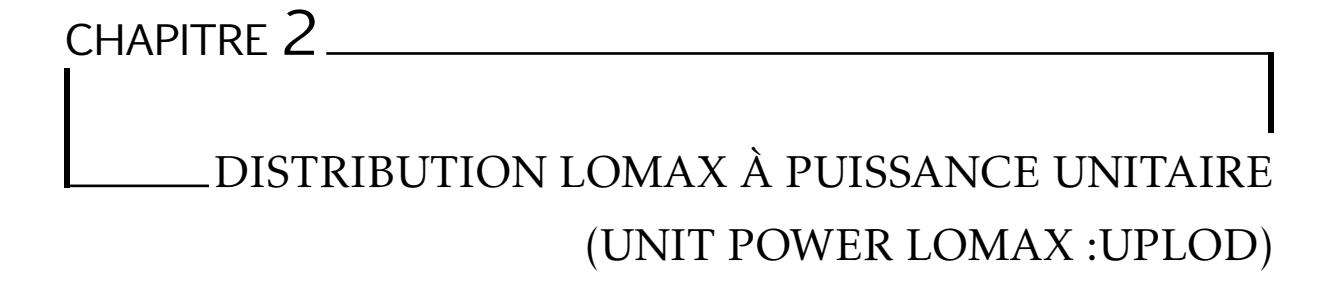
$$I_{22} = E\left[-\frac{\partial^{2} \ln f(x)}{\partial \lambda^{2}}\right] = \frac{\alpha \beta}{(2\beta + \alpha\beta)\lambda^{2}}.$$

$$I_{33} = E\left[-\frac{\partial^{2} \ln f(x)}{\partial \beta^{2}}\right] = \frac{1}{\beta^{2}} + \frac{\lambda^{-\frac{2}{\beta}}}{\Gamma(\alpha)} \left(\lambda^{\frac{2}{\beta}} \Gamma\left(2 - \frac{1}{\beta}\right) \Gamma\left(\alpha + \frac{1}{\beta}\right) + \frac{\alpha(-1 + \beta)\beta \Gamma\left(2 - \frac{2}{\beta}\right) \Gamma\left(\alpha + \frac{1}{\beta}\right)}{2 + \alpha}\right).$$

$$I_{12} = E\left[-\frac{\partial^{2} \ln f(x)}{\partial \alpha \partial \lambda}\right] = -\frac{\alpha \beta}{(\alpha\beta + \alpha\beta)\lambda}.$$

$$I_{23} = E\left[-\frac{\partial^{2} \ln f(x)}{\partial \lambda \partial \beta}\right] = \frac{\alpha(1 + \alpha)\beta \lambda^{-1 + \frac{\alpha\beta}{\beta}} \Gamma\left(2 - \frac{1}{\beta}\right) \Gamma\left(1 + \alpha + \frac{1}{\beta}\right)}{\Gamma(3 + \alpha)}.$$

$$I_{13} = E\left[-\frac{\partial^{2} \ln f(x)}{\partial \alpha \partial \beta}\right] = \frac{\alpha\beta \lambda^{-1 + \alpha\beta} \Gamma\left(2 - \frac{1}{\beta}\right) \Gamma\left(\alpha + \frac{1}{\beta}\right)}{\Gamma(2 + \alpha)}.$$



Introduction

La distribution de Lomax à puissance unitaire (UPLoD) est une nouvelle distribution de probabilité définie sur l'intervalle (0,1), créée pour modéliser des données comprises entre zéro et un. Elle est dérivée de la distribution de Lomax à puissance (PLoD) grâce à une transformation exponentielle de la forme $Y = e^{-X}, X \sim PLoD(\alpha, \beta, \lambda)$ permettant de représenter des formes variées comme des courbes symétriques, unimodales ou asymétriques. Elle inclut également des caractéristiques statistiques utiles, comme les moments, les mesures d'entropie et des fonctions de fiabilité.

Pour estimer ces paramètres, six méthodes classiques sont utilisées, et des simulations ainsi que des données réelles, comme les niveaux d'inondation de la rivière Susquehanna, montrent qu'elle est souvent plus performante que d'autres modèles existants. L'UPLoD est particulièrement adaptée pour modéliser des proportions, des pourcentages ou des probabilités dans des domaines tels que l'industrie, la médecine ou l'analyse de risques.

2.1 Fonction de densité et Fonction de répartition

Une variable aléatoire X suit une distribution (**UPLoD**) si sa fonction de densité de probabilité définie par l'expression suivante :

Soit X une variable aléatoire suivant une distribution PLoD avec paramètres : α , λ , β Sa fonction de densité est :

$$f_X(x) = \frac{\beta \alpha}{\lambda} x^{\beta - 1} \left(1 + \frac{x^{\beta}}{\lambda} \right)^{-\alpha - 1}, \quad x > 0$$
 (2.1)

Transformation exponentielle On définit la nouvelle variable :

$$Y = e^{-X} \implies X = -\ln Y$$

Calcul de la fonction de répartition

$$F_{Y}(y) = P(Y \le y)$$

$$= P(e^{-X} \le y)$$

$$= P(X \ge -\ln y)$$

$$= 1 - P(X \le -\ln y)$$

$$= 1 - \left[1 - \left(1 + \frac{(-\ln y)^{\beta}}{\lambda}\right)^{-\alpha}\right]$$

$$= \left(1 + \frac{(-\ln y)^{\beta}}{\lambda}\right)^{-\alpha}, \quad 0 < y < 1$$

$$F(x) = \left(1 + \lambda^{-1}(-\ln x)^{\beta}\right)^{-\alpha}, \quad 0 < x < 1.$$
(2.2)

Dérivation de la fonction de densité

$$f_{Y}(y) = \frac{d}{dy} F_{Y}(y)$$

$$= \frac{d}{dy} \left[\left(1 + \frac{(-\ln y)^{\beta}}{\lambda} \right)^{-\alpha} \right]$$

$$= -\alpha \left(1 + \frac{(-\ln y)^{\beta}}{\lambda} \right)^{-\alpha - 1} \cdot \frac{d}{dy} \left(\frac{(-\ln y)^{\beta}}{\lambda} \right)$$

$$= -\alpha \left(1 + \frac{(-\ln y)^{\beta}}{\lambda} \right)^{-\alpha - 1} \cdot \frac{\beta (-\ln y)^{\beta - 1}}{\lambda} \cdot \left(-\frac{1}{y} \right)$$

$$= \frac{\alpha \beta}{\lambda y} (-\ln y)^{\beta - 1} \left(1 + \frac{(-\ln y)^{\beta}}{\lambda} \right)^{-\alpha - 1}$$

La densité de la Distribution Lomax à puissance unitaire (UPLoD) est :

$$f(x) = \frac{\beta \alpha}{\lambda} x^{-1} (-\ln x)^{\beta - 1} \left(1 + \lambda^{-1} (-\ln x)^{\beta} \right)^{-\alpha - 1}, \quad 0 < x < 1; \quad \beta, \alpha, \lambda > 0$$
 (2.3)

où l'ensemble des paramètres, avec β et α comme paramètres de forme, et λ comme paramètre d'échelle.

31

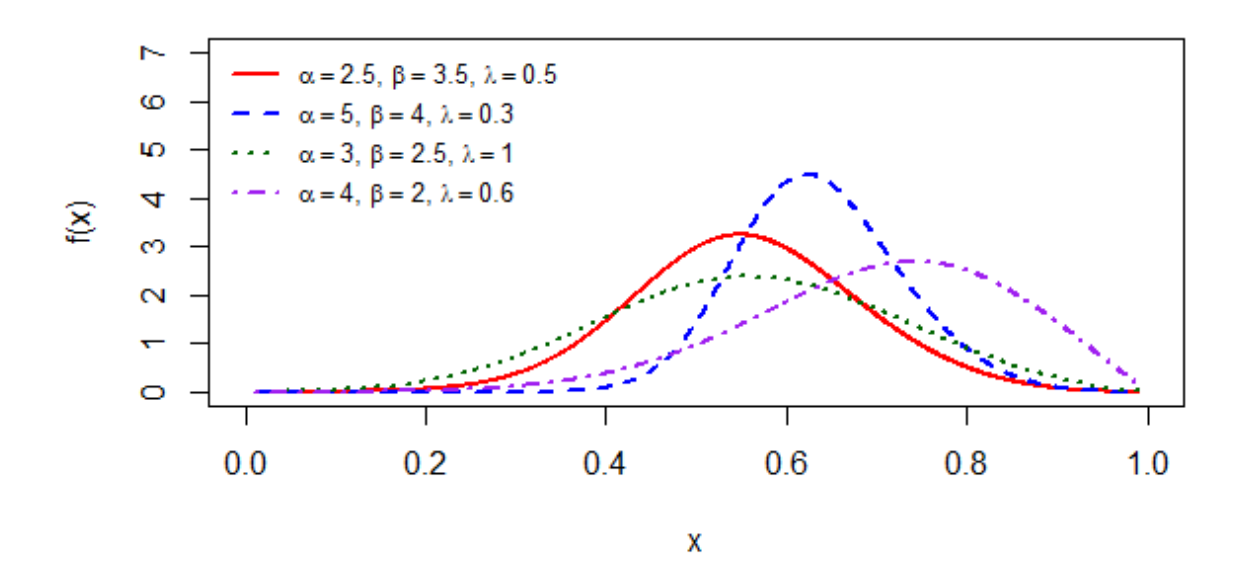


FIGURE 2.1 – Densité de la distribution Lomax à puissance unitaire.

La fonction de répartition cumulative du UPLoD est donnée dans l'équation 2.2

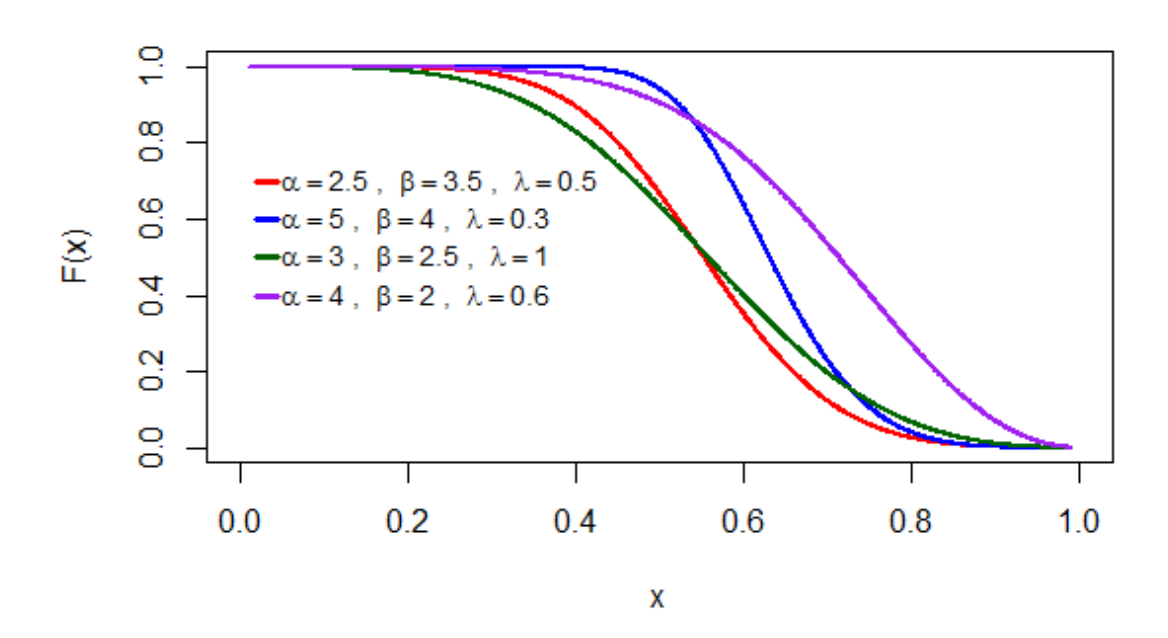


FIGURE 2.2 – Fonction de répartition du distribution Lomax à puissance unitaire.

2.2 Fonction de survie et le taux de hasard

La fonction de survie et la fonction de risque instantané du UPLoD, pour 0 < x < 1, sont respectivement données par :

$$S(x) = 1 - (1 + \lambda^{-1} (-\ln x)^{\beta})^{-\alpha}$$

et le taux de hasard est donné par :

$$h(x) = \frac{\alpha \beta (-\ln x)^{\beta - 1} \left(1 + \lambda^{-1} (-\ln x)^{\beta}\right)^{-\alpha - 1}}{\lambda x \left[1 - \left(1 + \lambda^{-1} (-\ln x)^{\beta}\right)^{-\alpha}\right]}.$$

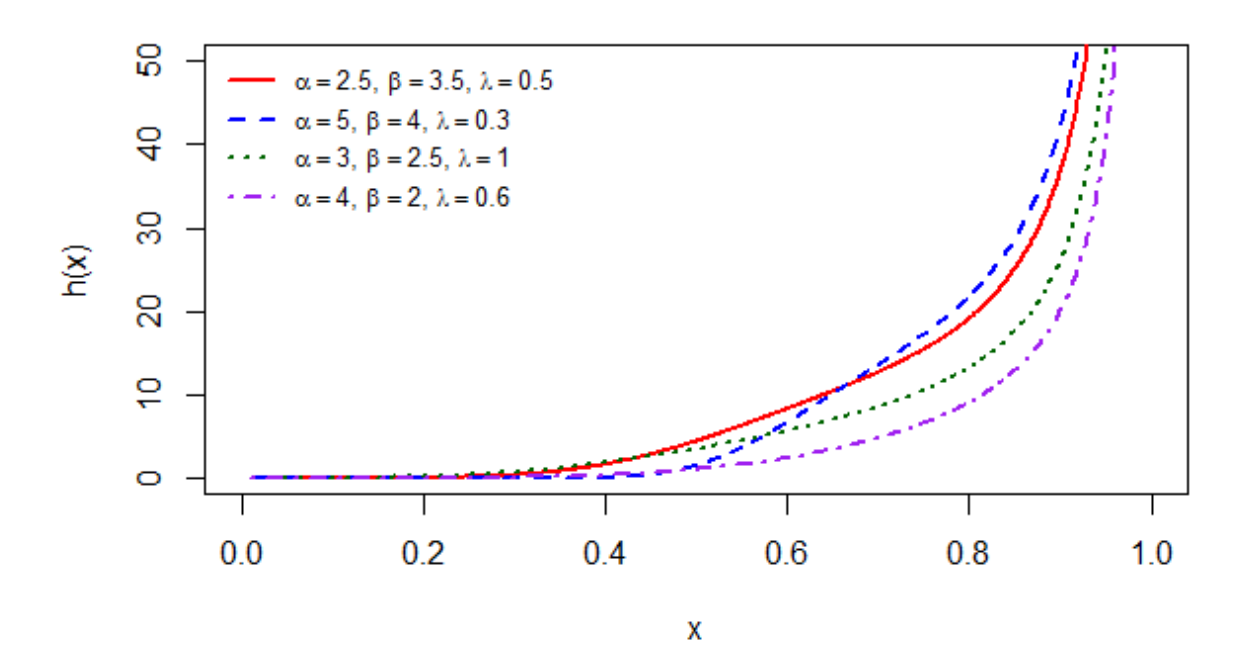


FIGURE 2.3 – Taux de hasard du modèle distribution Lomax à puissance unitaire.

2.3 Fonction de hasard cumulée

la fonction de hasard cumulé est donnée par :

$$H(x) = -\ln(S(x)) = -\ln(1 - (1 + \lambda^{-1}(-\ln x)^{\beta})^{-\alpha})$$

2.4 Quantiles et fonction quantile

La fonction quantile d'une variable aléatoire Y suivant la distribution UPLoD peut être obtenue en inversant la fonction de répartition cumulative. Étant donné que p suit une loi uniforme sur (0,1), on peut exprimer cette inversion comme suit :

$$p = \left[1 + \lambda^{-1} (-\ln x)^{\beta}\right]^{-\alpha}$$

Ainsi, la fonction quantile de la distribution UPLoD s'écrit sous la forme :

$$Q(p) = \exp\left(-\lambda^{1/\beta} \left[p^{-1/\alpha} - 1\right]^{1/\beta}\right)$$

Les quantiles spécifiques peuvent être obtenus en fixant des valeurs particulières de p :

- Le premier quartile (Q_1) pour p = 0.25,
- La médiane (Q_2) pour p = 0.5,
- Le troisième quartile (Q_3) pour p = 0.75.

2.5 Espérance et la variance

Pour la distribution Lomax à puissance unitaire (UPLoD) de paramètres (α, λ, β) , l'espérance et la variance peuvent être obtenues à partir de l'expression générale du moment d'ordre r, donnée par :

$$\mathbb{E}[X^r] = \frac{\alpha \lambda^{r/\beta} \Gamma\left(\alpha - \frac{r}{\beta}\right) \Gamma\left(\frac{r+\beta}{\beta}\right)}{\Gamma(1+\alpha)}, \quad \text{pour } \alpha > \frac{r}{\beta}$$

En particulier:

— L'espérance est donnée par :

$$\mathbb{E}[X] = \frac{\alpha \lambda^{1/\beta} \Gamma\left(\alpha - \frac{1}{\beta}\right) \Gamma\left(\frac{1+\beta}{\beta}\right)}{\Gamma(1+\alpha)}, \quad \alpha > \frac{1}{\beta}$$

— Le second moment est :

$$\mathbb{E}[X^2] = \frac{\alpha \lambda^{2/\beta} \Gamma\left(\alpha - \frac{2}{\beta}\right) \Gamma\left(\frac{2+\beta}{\beta}\right)}{\Gamma(1+\alpha)}, \quad \alpha > \frac{2}{\beta}$$

— Par conséquent, la variance est :

$$Var(X) = \mathbb{E}[X^2] - (\mathbb{E}[X])^2$$

$$\operatorname{Var}(X) = \frac{\lambda^{2/\beta}}{\Gamma(1+\alpha)} \left[\alpha \Gamma\left(\alpha - \frac{2}{\beta}\right) \Gamma\left(\frac{2+\beta}{\beta}\right) - \frac{\alpha^2 \Gamma^2\left(\alpha - \frac{1}{\beta}\right) \Gamma^2\left(\frac{1+\beta}{\beta}\right)}{\Gamma(1+\alpha)} \right]$$

2.6 Moments

Les moments ordinaires permettent d'analyser plusieurs propriétés importantes de l'UPLoD.

Le moment d'ordre *r* s'exprime comme suit :

$$E(X^r) = \int_0^1 \frac{\alpha \beta}{\lambda x} x^r (-\ln x)^{\beta - 1} \left(1 + \lambda^{-1} (-\ln x)^{\beta} \right)^{-\alpha - 1} dx$$
$$= \sum_{h=0}^\infty A_h B\left(\frac{h}{\beta} + 1, \alpha - \frac{h}{\beta}\right); \quad \alpha > \frac{h}{\beta},$$
$$A_h = \frac{(-r)^h \alpha \lambda^{h/\beta}}{h!}$$

οù

et B(.,.) est la fonction beta.

2.6.1 Moments pondérés par la probabilité

Greenwood *et al.* [Greenwood et al., 1979] ont introduit le concept des PWM, qui permettent d'estimer les paramètres ainsi que la fonction quantile de certaines distributions généralisées exprimables sous forme inverse.

Soient s et r deux entiers positifs, l'expression générale du PWM d'une variable aléatoire X est donnée par :

$$v_{s,r} = \int_{-\infty}^{\infty} x^s [F(x)]^r f(x) \, dx.$$

En remplaçant les expressions correspondantes dans cette formulation, on obtient une représentation du PWM associée à la distribution UPLoD sous la forme :

$$v_{s,r} = \frac{\alpha\beta}{\lambda} \int_0^1 x^{s-1} (-\ln x)^{\beta-1} \left(1 + \lambda^{-1} (-\ln x)^{\beta}\right)^{-\alpha(r+1)-1} dx.$$

$$= \sum_{h=0}^{\infty} \frac{(-1)^h h^{\beta}}{h!} B\left(\frac{h}{\beta} + 1, \alpha(r+1) - \frac{h}{\beta}\right). \tag{2.4}$$

2.6.2 Moments incomplets

Comprendre la forme d'une distribution ainsi que sa moyenne est essentiel pour résoudre de nombreuses problématiques économiques. Cela est particulièrement mis

en évidence dans l'étude de l'économétrie :

$$\phi_r(Y) = \frac{\alpha\beta}{\lambda} \int_0^Y x^{r-1} (-\ln x)^{\beta-1} \left(1 + \frac{\lambda}{\beta} (-\ln x)^{\beta}\right)^{\alpha-1} dx$$

$$= \sum_{h=0}^{\infty} A_h B \left[\frac{h}{\beta} + 1, \alpha - \frac{h}{\beta}, \left(1 + \frac{(-\ln x)^{\beta}}{\lambda} \right)^{-1} \right]$$

où B(.,.,y)est la fonction bêta incomplète.

2.6.3 Vie résiduelle et vie résiduelle inversée

Les variables aléatoires associées à la vie résiduelle et à la vie résiduelle inversée jouent un rôle clé dans l'analyse des risques. À ce titre, Balkema et De Haan [Balkema and Haan, 1974] ont étudié certaines fonctions statistiques liées à ces concepts, notamment la fonction de survie, la moyenne et la variance. La vie résiduelle correspond à l'intervalle de temps entre un instant t donné et le moment de la défaillance du système. Le rème moment de cette vie résiduelle, noté $I_r(t)$, est défini comme suit :

$$I_r(t) = \frac{1}{S(t)} \sum_{n=0}^r \int_t^\infty (x-t)^r f(x) \, dx = \frac{1}{S(t)} \sum_{n=0}^r \binom{r}{n} (-t)^{r-n} \int_t^\infty x^n f(x) \, dx. \tag{2.5}$$

Par ailleurs, en exploitant la fonction de densité de probabilité donnée, on peut exprimer le moment de la vie résiduelle du UPLoD sous la forme :

$$I_r(t) = \frac{1}{S(t)} \sum_{n=0}^{r} {r \choose n} (-t)^{r-n} \int_{t}^{1} \frac{\alpha \beta}{\lambda} x^{n-1} (-\ln x)^{\beta-1} \left(1 + \lambda^{-1} (-\ln x)^{\beta}\right)^{-\alpha-1} dx.$$
 (2.6)

Après simplification, cette expression devient :

$$I_r(t) = \frac{1}{S(t)} \sum_{h=0}^{r} l_{h,n} B\left(\frac{h}{\beta} + 1, \alpha - \frac{h}{\beta}, (1 + \lambda^{-1} + (-\ln t)^{-\beta}))^{-1}\right).$$
 (2.7)

avec:

$$l_{h,n} = (-t)^{r-n} \binom{r}{n} \sum_{j=0}^{\infty} (-1)^h \frac{n^h \lambda^{\beta} \alpha}{h!}.$$
 (2.8)

D'autre part, le $r^{\text{\`e}me}$ moment de la vie résiduelle inversée du UPLoD s'exprime comme suit :

$$\varepsilon_r(t) = \frac{1}{F(t)} \sum_{\alpha=0}^r \int_0^\infty (t - x)^r f(x) dx. \tag{2.9}$$

$$= \frac{1}{F(t)} \sum_{n=0}^{r} (-1)^n \binom{r}{n} t^{r-n} \int_0^t x^{n-1} \frac{\alpha \beta}{\lambda} (-\ln x)^{\beta-1} (1 + \Lambda^{-1} (-\ln x)^{\beta})^{-\alpha-1} dx.$$
 (2.10)

Cette dernière expression fait intervenir la fonction bêta incomplète et peut être reformulée ainsi :

$$\varepsilon_r(t) = \frac{1}{F(t)} \sum_{h=0}^r l_{h,n} B\left(\frac{h}{\beta} + 1, \alpha - \frac{h}{\beta}, (1 + \lambda^{-1}(-\ln x)^{\beta})^{-1}\right). \tag{2.11}$$

où:

$$l_{h,n} = (-1)^n t^{r-n} \binom{r}{n} \sum_{h=0}^{\infty} (-1)^h \frac{n^h \lambda^{\beta} \alpha}{h!}.$$
 (2.12)

2.6.4 Quelques mesures d'entropie

Dans le cadre de l'analyse de la fiabilité et de l'évaluation des risques, les mesures d'entropie jouent un rôle essentiel. Elles trouvent de nombreuses applications dans les domaines biologique, physique et médical. Ces mesures permettent de quantifier l'incertitude associée à la fluctuation de la distribution d'une variable aléatoire Y. Nous présentons ici différentes formes d'entropie appliquées à la distribution UPLoD, notamment celles de Rényi, Havrda-Charvát, Tsallis et Arimoto. L'entropie de Rényi, d'ordre $\gamma > 0$ et $\gamma \neq 1$, pour la distribution UPLoD est définie par :

$$R_{\gamma} = \frac{1}{1 - \gamma} \log \left[\int_{0}^{\infty} f(x)^{\gamma} dx \right]$$
 (2.13)

En utilisant la densité donnée par l'équation 2.3 on obtient :

$$R_{\gamma} = \frac{1}{1 - \gamma} \log \left[\int_0^{\infty} \left(\frac{\alpha \beta}{\lambda \gamma} \right)^{\gamma} (-\ln x)^{\beta(\gamma - 1)} x^{-\gamma} \left(1 + \lambda^{-1} (-\ln x)^{\beta} \right)^{-\alpha(\gamma + 1)} dx \right]$$

Ce qui donne la forme suivante :

$$R_{\gamma} = \frac{1}{1 - \gamma} \log \left[\sum_{h=0}^{\infty} \delta_h(\omega, \gamma) B\left(\frac{h - \gamma + 1}{\beta}, \gamma \alpha\right) \left(\frac{h - \gamma + 1}{\beta} + 1\right) \right]$$

où
$$\delta_h(\omega, \gamma) = \frac{\beta^{\gamma-1} \alpha^{\gamma} (\gamma-1)^h \lambda^{-h-(\gamma+1)}}{h!}$$
.

L'entropie de Havrda-Charvát (HC), qui étend celle de Shannon, est donnée par : [Havrda and Charvát, 1967]

$$HC_{\gamma} = \frac{1}{2^{\gamma - 1} - 1} \left[\int_0^1 \left(\frac{\alpha \beta}{\lambda \gamma} \right)^{\gamma} (-\ln x)^{\beta(\gamma - 1)} y^{-\gamma} \left(1 + \lambda^{-1} (-\ln x)^{\beta} \right)^{-\alpha(\gamma + 1)} dx - 1 \right]$$

Et devient, après simplification :

$$HC_{\gamma} = \frac{1}{2^{\gamma - 1} - 1} \left[\sum_{h=0}^{\infty} \delta_h(\omega, \gamma) B\left(\frac{h - \gamma + 1}{\beta}, \gamma \alpha\right) \left(\frac{h - \gamma + 1}{\beta} + 1\right) - 1 \right]$$

L'entropie de Tsallis, proposée comme une autre extension de celle de Shannon, s'écrit :[Tsallis, 1988]

$$T_{\gamma} = \frac{1}{\gamma - 1} \left[1 - \int_0^1 \left(\frac{\alpha \beta}{\lambda \gamma} \right)^{\gamma} (-\ln x)^{\beta(\gamma - 1)} x^{-\gamma} \left(1 + \lambda^{-1} (-\ln x)^{\beta} \right)^{-\alpha(\gamma + 1)} dx \right]$$

Ce qui donne:

$$T_{\gamma} = \frac{1}{\gamma - 1} \left[1 - \sum_{h=0}^{\infty} \delta_h(\omega, \gamma) B\left(\frac{h - \gamma + 1}{\beta}, \gamma \alpha\right) \left(\frac{h - \gamma + 1}{\beta} + 1\right) \right]$$

Enfin, l'entropie d'Arimoto, une mesure alternative introduite dans le même esprit que celle de Shannon, est définie par :[Arimoto, 1971]

$$A_{\gamma} = \frac{\gamma}{1 - \gamma} \log \left[\int_{0}^{1} \left(\frac{\alpha \beta}{\lambda \gamma} \right)^{\gamma} (-\ln x)^{\beta(\gamma - 1)} y^{-\gamma} \left(1 + \lambda^{-1} (-\ln x)^{\beta} \right)^{-\alpha(\gamma + 1)} dx \right]$$

Et peut être exprimée sous la forme :

$$A_{\gamma} = \frac{\gamma}{1 - \gamma} \log \left[\sum_{h=0}^{\infty} \delta_h(\omega, \gamma) B\left(\frac{h - \gamma + 1}{\beta}, \gamma \alpha\right) \left(\frac{h - \gamma + 1}{\beta} + 1\right) \right]$$

2.6.5 Fiabilité contrainte-résistance

Le modèle contrainte-résistance (Sterss-Strenght Reliability), noté R = P(Y < X), où X représente la résistance du système et Y la contrainte subie, est largement utilisé dans plusieurs domaines tels que l'ingénierie, les statistiques et la biostatistique. Parmi les applications concrètes, on peut citer la détérioration des moteurs de fusée, le vieillissement des cuves en béton sous pression, ainsi que la rupture par fatigue des structures aéronautiques. Pour davantage d'exemples et d'applications, voir [Hassan et al., 2023]. Supposons que X (résistance) et Y (contrainte) soient deux variables aléatoires indépendantes suivant toutes deux une loi UPLoD avec des paramètres respectifs :

$$X \sim \text{UPLoD}(\beta, \alpha_1, \lambda)$$
 et $Y \sim \text{UPLoD}(\beta, \alpha_2, \lambda)$

Dans ce cas, la fiabilité contrainte-résistance est donnée par :

$$R = \int_0^1 \int_0^y \frac{\beta \lambda}{x} (-\ln x)^{\alpha_1 - 1} \left(1 + \lambda^{-1} (-\ln x)^{\beta} \right)^{-\alpha_1} \cdot \frac{\beta \lambda}{y} (-\ln y)^{\alpha_2 - 1} \left(1 + \lambda^{-1} (-\ln y)^{\beta} \right)^{-\alpha_2} dx dy$$

Ainsi, la forme explicite de la fiabilité du modèle UPLoD s'écrit :

$$R = \frac{\alpha_1}{\alpha_1 + \alpha_2}$$

2.7 Inférence Statistique de la distribution Lomax de puissance unitaire UPLoD

Introduction

L'inférence statistique est un ensemble des méthodes qui permettent de déduire des caractéristiques inconnues d'une population à partir d'un échantillon de données. Elle repose sur des outils probabilistes et mathématiques visant à estimer les paramètres d'un modèle ou à tester des hypothèses. Dans ce travail, nous nous concentrons sur une distribution particulière, à savoir la distribution de *Lomax de puissance unitaire*, qui constitue une extension flexible de la loi de Lomax classique. Cette dernière est largement utilisée dans les domaines de la fiabilité, de l'économie et des sciences actuarielles en raison de sa capacité à représenter des données avec une forte asymétrie et des queues épaisses.

L'intérêt porté à la version de puissance unitaire réside dans sa flexibilité accrue, permettant une meilleure adaptation à des données empiriques complexes. L'objectif principal est donc de présenter les différentes approches d'inférence statistique permettant d'estimer les paramètres de ce modèle, avec un accent particulier sur les méthodes d'estimation ponctuelle, qui seront explorées dans la section suivante. Plusieurs travaux ont étudié des généralisations de la loi de Lomax, notamment pour améliorer son aptitude à modéliser des phénomènes extrêmes. Par exemple, [Ghitany et al., 2013] ont proposé et analysé des variantes de cette distribution dans le contexte de données de survie et de fiabilité.

2.7.1 Méthodes d'estimation ponctuele

Dans cette section, plusieurs méthodes sont proposées pour estimer les paramètres du modèle. Ces méthodes incluent la méthode des moments(MME), la vraisemblance maximale (MLE), les moindres carrés (LS), les moindres carrés pondérés (WLS), la méthode de Cramér–von Mises (CvM), l'ajustement d'Anderson-Darling (AD) et la méthode des scores de probabilité maximum (MPS).

2.7.1.1 Méthode des moments

La méthode des moments est une technique d'estimation paramétrique qui consiste à :

CHAPITRE 2. DISTRIBUTION LOMAX À PUISSANCE UNITAIRE (UNIT POWER LOMAX :UPLOD)

- Calculer les moments empiriques à partir des données observées
- Exprimer les moments théoriques en fonction des paramètres
- Égaliser les moments théoriques et empiriques pour obtenir un système d'équations

Moments empiriques Pour un échantillon $(x_1, ..., x_n)$, on calcule :

$$\hat{m}_1 = \frac{1}{n} \sum_{i=1}^{n} x_i \quad \text{(moyenne empirique)}$$
 (2.14)

$$\hat{m}_2 = \frac{1}{n} \sum_{i=1}^{n} x_i^2$$
 (moment d'ordre 2) (2.15)

Les moments théoriques $E[X^k]$ s'expriment par :

$$E[X^k] = \frac{\beta \alpha}{\lambda} \int_0^\infty e^{-ku} u^{\beta - 1} \left(1 + \frac{u^{\beta}}{\lambda} \right)^{-\alpha - 1} du$$
 (2.16)

obtenu via le changement de variable $u = -\ln x$.

On établit le système non-linéaire :

$$E[X] = \hat{m}_1 \tag{2.17}$$

$$E[X^2] = \hat{m}_2 \tag{2.18}$$

La résolution nécessite :

- Une initialisation des paramètres $(\alpha^{(0)}, \beta^{(0)}, \lambda^{(0)})$
- Une méthode itérative (ex : Newton-Raphson)
- L'évaluation numérique des intégrales

$$\begin{cases} \frac{\beta \alpha}{\lambda} \int_0^\infty e^{-u} u^{\beta - 1} \left(1 + \frac{u^{\beta}}{\lambda} \right)^{-\alpha - 1} du = \hat{m}_1 \\ \frac{\beta \alpha}{\lambda} \int_0^\infty e^{-2u} u^{\beta - 1} \left(1 + \frac{u^{\beta}}{\lambda} \right)^{-\alpha - 1} du = \hat{m}_2 \end{cases}$$
(2.19)

- Pour $\beta = 1$, les intégrales se simplifient notablement
- La convergence dépend fortement des valeurs initiales
- Des contraintes α , β , $\lambda > 0$ doivent être imposées

2.7.1.2 Estimateur du maximum de vraisemblance

L'estimation des paramètres de la distribution UPLoD est réalisée en utilisant la méthode du maximum de vraisemblance. Soit $X_1, X_2, ..., X_m$ un échantillon aléatoire de taille m issu de cette distribution. La densité de probabilité de la distribution Lomax à

puissance unitaire est donnée par :

$$f(x) = \frac{\beta \alpha}{\lambda} x^{-1} (-\ln x)^{\beta - 1} \left(1 + \lambda^{-1} (-\ln x)^{\beta} \right)^{-\alpha - 1}, \quad 0 < x < 1$$
 (2.20)

où $\alpha > 0$, $\beta > 0$ et $\lambda > 0$ sont les paramètres de la distribution.

Fonction de vraisemblance Pour un échantillon i.i.d. $x_1, x_2, ..., x_m$, la fonction de vraisemblance s'écrit :

$$L(\alpha, \beta, \lambda) = \prod_{r=1}^{m} f(x_r) = \prod_{r=1}^{m} \left(\frac{\beta \alpha}{\lambda} x_r^{-1} (-\ln x_r)^{\beta - 1} \left(1 + \lambda^{-1} (-\ln x_r)^{\beta} \right)^{-\alpha - 1} \right)$$
 (2.21)

Log-vraisemblance En prenant le logarithme naturel, on obtient :

$$ln L = \sum_{r=1}^{m} ln f(x_r)$$
(2.22)

$$= \sum_{r=1}^{m} \left[\ln \left(\frac{\beta \alpha}{\lambda} \right) + \ln (x_r^{-1}) + \ln \left((-\ln x_r)^{\beta - 1} \right) \right]$$
 (2.23)

$$+\ln\left(\left(1+\lambda^{-1}(-\ln x_r)^{\beta}\right)^{-\alpha-1}\right)\right] \tag{2.24}$$

Détaillons chaque composante :

1. Terme constant:

$$\ln\left(\frac{\beta\alpha}{\lambda}\right) = \ln\alpha + \ln\beta - \ln\lambda \tag{2.25}$$

2. Terme en x_r :

$$\ln(x_r^{-1}) = -\ln x_r \tag{2.26}$$

3. Terme logarithmique:

$$\ln\left((-\ln x_r)^{\beta-1}\right) = (\beta - 1)\ln(-\ln x_r) \tag{2.27}$$

4. Terme Lomax:

$$\ln\left(\left(1 + \lambda^{-1}(-\ln x_r)^{\beta}\right)^{-\alpha - 1}\right) = -(\alpha + 1)\ln\left(1 + \lambda^{-1}(-\ln x_r)^{\beta}\right)$$
(2.28)

Alors on a cette formule

$$\ln M^* = m \ln(\alpha) + m \ln(\beta) - m \ln(\lambda) - \sum_{r=1}^{m} \ln x_r + (\beta - 1) \sum_{r=1}^{m} \ln(-\ln x_r)$$
$$-(\alpha + 1) \sum_{r=1}^{m} \ln(1 + \lambda^{-1} (-\ln x_r)^{\beta})$$

En différenciant cette expression, on obtient les équations du maximum de vraisemblance suivantes :

$$\frac{\partial \ln M^*}{\partial \alpha} = \frac{m}{\alpha} - \sum_{r=1}^{m} \left(1 + \frac{1}{\lambda} (-\ln x_r)^{\beta} \right). \tag{2.29}$$

$$\frac{\partial \ln M^*}{\partial \lambda} = \frac{-m}{\lambda} + \sum_{r=1}^{m} \frac{(\alpha+1)}{\lambda^2 (-\ln x_r)^{-\beta} + \lambda},\tag{2.30}$$

et

$$\frac{\partial \ln M^*}{\partial \beta} = \frac{m}{\beta} + \sum_{r=1}^{m} \ln(-\ln x_r) - \sum_{r=1}^{m} \frac{(\alpha + 1)\ln(-\ln x_r)}{(1 + \lambda(-\ln x_r)^{-\beta})}.$$
 (2.31)

En résolvant numériquement ces équations, on obtient les estimateurs du maximum de vraisemblance (MLE) des paramètres α , λ et β . Cette optimisation peut être réalisée avec des logiciels spécialisés comme R.

2.7.1.3 Moindres carrés et moindres carrés pondérés

Soit $X_1, X_2, ..., X_m$ un échantillon aléatoire de taille m provenant de la distribution UPLoD. Notons que les valeurs sont ordonnées de manière croissante, c'est-à-dire $x_{(1)} < x_{(2)} < \cdots < x_{(m)}$. L'estimation des paramètres peut être obtenue en minimisant l'erreur quadratique des sommes des écarts, ce qui permet de déterminer les estimateurs des moindres carrés (LS) et des moindres carrés pondérés (WLS).

$$I^*(\alpha,\beta,\lambda) = \sum_{r=1}^m g_r \left[\left(1 + \frac{1}{\lambda} (-\ln x_r)^{\beta} \right)^{-\alpha} - \frac{r}{m+1} \right]^2$$

En fixant $g_r = 1$, on obtient les estimateurs des moindres carrés (LSEs) des paramètres α, λ et β . De même, les estimateurs pondérés (WLSEs) peuvent être calculés en choisissant

$$g_r = \frac{(m+1)^2(m+2)}{r(m-r+1)}.$$

Ces estimations peuvent également être obtenues en résolvant les équations non linéaires suivantes via un algorithme d'optimisation :

$$\begin{split} &\sum_{r=1}^m g_r \left[((\lambda^{-1} (-\ln x_r)^\beta) + 1)^{-\alpha} - \frac{r}{m+1} \right] \mathcal{J}_1(x_r | \alpha, \beta, \lambda) = 0, \\ &\sum_{r=1}^m g_r \left[((\lambda^{-1} (-\ln x_r)^\beta) + 1)^{-\alpha} - \frac{r}{m+1} \right] \mathcal{J}_2(x_r | \alpha, \beta, \lambda) = 0, \\ &\sum_{r=1}^m g_r \left[((\lambda^{-1} (-\ln x_r)^\beta) + 1)^{-\alpha} - \frac{r}{m+1} \right] \mathcal{J}_3(x_r | \alpha, \beta, \lambda) = 0. \end{split}$$

où

$$\mathcal{J}_1(x_r|\alpha,\beta,\lambda) = \alpha \lambda^{-2} (-\ln x_r)^{\beta} \left(1 + \lambda^{-1} (-\ln x_r)^{\beta}\right)^{-\alpha - 1} \tag{2.32}$$

$$\mathcal{J}_2(x_r|\alpha,\beta,\lambda) = -\left(1 + \lambda^{-1}(-\ln x_r)^{\beta}\right)^{-\alpha} \ln\left(1 + \lambda^{-1}(-\ln x_r)^{\beta}\right) \tag{2.33}$$

$$J_3(x_r|\alpha,\beta,\lambda) = -\alpha\lambda^{-1}(-\ln x_r)^{\beta}\ln(-\ln x_r)\left(1 + \lambda^{-1}(-\ln x_r)^{\beta}\right)^{-\alpha-1}$$
(2.34)

2.7.1.4 Espacement du Produit Maximum

L'estimation par le maximum de vraisemblance (MLE) peut être remplacée par la méthode de l'espacement du produit maximum (MPS), qui se rapproche de l'information de Kullback-Leibler. Bien que l'estimation MLE soit couramment utilisée et très répandue, elle montre certaines limites lorsqu'il s'agit d'échantillons volumineux ou de distributions continues complexes. La méthode MPS repose sur les écarts entre les valeurs de la fonction de répartition (CDF) aux points de données successifs. Cette approche a trouvé de nombreuses applications en mathématiques pures, statistiques, hydrologie, économétrie, ainsi que dans l'imagerie par résonance magnétique et d'autres domaines.

Soit $X_{(1)} < X_{(2)} < \cdots < X_{(m)}$ l'échantillon trié selon une distribution de taille m, et $x_{(1)} < x_{(2)} < \cdots < x_{(m)}$ les valeurs observées correspondantes. La méthode MPS a été proposée par Cheng et Amin [Cheng and Amin, 1999] comme alternative à l'estimation MLE.

En considérant un échantillon trié $\{x_{(r)}\}_{r=1}^m$ issu d'une distribution caractérisée par une fonction de répartition F, les espacements uniformes peuvent être définis comme suit :

$$D_r(\omega) = F(x_{(r)}|\omega) - F(x_{(r-1)}|\omega), \quad r = 1, 2, ..., m+1$$

avec les conditions:

$$F(x_{(0)}|\omega) = 0$$
, $F(x_{(m+1)}|\omega) = 1$, $\sum_{r=1}^{m+1} D_r(\omega) = 1$.

où $\omega = (\alpha, \beta, \lambda)$.

L'estimateur MPS (ω^*) pour la distribution étudiée est obtenu en maximisant la moyenne géométrique des espacements, soit :

$$S^*(\omega) = \frac{1}{1+m} \sum_{r=1}^{m+1} \ln D_r(\alpha, \beta, \lambda) = \frac{1}{1+m} \sum_{r=1}^{m+1} \ln \left[\left(1 + \lambda^{-1} (-\ln x_{(r)})^{\beta} \right)^{-\alpha} - \left(1 + \lambda^{-1} (-\ln x_{(r-1)})^{\beta} \right)^{-\alpha} \right].$$

Les paramètres α , λ et β sont estimés en résolvant le système suivant d'équations non linéaires :

$$\frac{\partial S^*(\omega)}{\partial \lambda} = \frac{1}{1+m} \sum_{r=1}^{m+1} \left[\frac{J_1(x_{(r)}|\omega) - J_1(x_{(r-1)}|\omega)}{D_r(\omega)} \right] = 0, \tag{2.35}$$

$$\frac{\partial S^*(\omega)}{\partial \alpha} = \frac{1}{1+m} \sum_{r=1}^{m+1} \left[\frac{J_2(x_{(r)}|\omega) - J_2(x_{(r-1)}|\omega)}{D_r(\omega)} \right] = 0, \tag{2.36}$$

$$\frac{\partial S^*(\omega)}{\partial \beta} = \frac{1}{1+m} \sum_{r=1}^{m+1} \left[\frac{J_3(x_{(r)}|\omega) - J_3(x_{(r-1)}|\omega)}{D_r(\omega)} \right] = 0. \tag{2.37}$$

Les fonctions $\mathcal{J}_k(x_{(r)}|\omega)$, pour k=1,2,3, sont définies dans l'Équation 2.33, et peuvent être obtenues en remplaçant $x_{(r-1)}$ par $x_{(r)}$ et r par r-1.

2.7.1.5 Estimateurs de Cramer-von Mises et d'Anderson-Darling

Les paramètres du vecteur $\omega = (\alpha, \beta, \lambda)$ peuvent être estimés à l'aide des méthodes de Cramer-von Mises (CvM) et d'Anderson-Darling (AD), en minimisant les expressions suivantes :

$$C(\omega) = \frac{1}{12m} + \sum_{r=1}^{m} \left[\left(1 + \lambda^{-1} (-\ln x_{(r)})^{\beta} \right)^{-\alpha} - \frac{2r-1}{2m} \right]^{2}, \tag{2.38}$$

et

$$A^{*}(\omega) = -m - \sum_{r=1}^{m} \frac{2r-1}{m} \left[\ln\left(1 + \lambda^{-1}(-\ln x_{(r)})^{\beta}\right)^{-\alpha} \right] + \ln\left[1 - \left(1 + \lambda^{-1}(-\ln x_{(m+1-r)})^{\beta}\right)^{-\alpha} \right]. \tag{2.39}$$

L'optimisation de ces fonctions est effectuée par rapport aux paramètres α , β et λ .

2.8 Matrice d'information de Fisher

La matrice d'information de Fisher permet d'évaluer la précision des estimateurs des paramètres α , β et λ de la distribution de Lomax à puissance unitaire (UPLoD). Elle est définie par :

$$I(\alpha, \beta, \lambda) = \begin{bmatrix} I_{11} & I_{12} & I_{13} \\ I_{12} & I_{22} & I_{23} \\ I_{13} & I_{23} & I_{33} \end{bmatrix}$$

avec:

$$I_{11} = \frac{1}{\alpha^2}, \quad I_{22} = \frac{\lambda^{-\beta}\Gamma(2-\frac{2}{\beta})\Gamma(\alpha+\frac{2}{\beta})}{\beta^4}, \quad I_{33} = \frac{\alpha}{\lambda^2}$$

$$I_{12} = \frac{\lambda^{-\beta}\Gamma(2-\frac{1}{\beta})\Gamma(\alpha+\frac{1}{\beta})}{\alpha\beta^3}, \quad I_{13} = -\frac{1}{\lambda\alpha}, \quad I_{23} = -\frac{\alpha\lambda^{-\beta}\Gamma(2-\frac{1}{\beta})\Gamma(\alpha+\frac{1}{\beta})}{\beta^3\Gamma(3+\alpha)}$$



Introduction

La simulation est une technique essentielle permettant de modéliser des systèmes complexes et d'étudier leur comportement sans avoir besoin d'effectuer des expérimentations réelles. Elle consiste à créer une réplique numérique d'un processus ou système réel à l'aide de modèles mathématiques, et à exécuter des simulations pour observer les résultats dans des scénarios variés. Elle est particulièrement utile dans les situations où les expérimentations réelles sont impossibles, trop coûteuses ou impraticables. À travers cette méthode, il devient possible de tester différentes hypothèses, de prédire des comportements et de comprendre des phénomènes qui seraient difficiles à analyser autrement [Banks, 2014].

Les domaines d'application de la simulation sont nombreux, notamment dans l'ingénierie, l'économie, la biologie, et même dans les sciences sociales. Par exemple, dans l'ingénierie, elle est utilisée pour tester des prototypes avant leur fabrication, tandis qu'en finance, elle permet de modéliser l'évolution de marchés sous différents scénarios. En biologie, la simulation peut modéliser des épidémies, tandis que dans les sciences sociales, elle peut être employée pour simuler le comportement humain ou l'évolution de certains phénomènes sociaux [Law, 2015].

Avantages de la Simulation

- Exploration de différents scénarios : La simulation permet de tester une multitude de scénarios dans un environnement contrôlé, offrant ainsi une vision plus complète des conséquences potentielles sans risquer de perturber des systèmes réels.
- Prise en compte de l'incertitude : Elle permet de modéliser et d'analyser des systèmes avec des variables incertaines, en générant des résultats à partir de distributions de probabilité. Cela est particulièrement utile pour des phéno-

mènes où l'incertitude joue un rôle crucial, comme dans la gestion des risques [Robert and Casella, 2010].

- Optimisation des ressources: Lorsqu'il est coûteux ou impossible de mener des expériences réelles, la simulation offre une alternative économique. Elle permet de tester des idées et de prédire des résultats sans avoir à construire des prototypes physiques ou à mener des essais dans le monde réel.
- **Flexibilité**: La simulation offre une grande flexibilité, car elle peut être adaptée à des contextes variés et à des systèmes ayant des structures différentes, qu'ils soient dynamiques, stochastiques ou complexes.

Inconvénients de la Simulation

- Dépendance au modèle utilisé: Les résultats d'une simulation sont fortement influencés par la qualité et la précision du modèle utilisé. Si le modèle est mal défini, les résultats peuvent être erronés.
- **Exigences computationnelles**: Certaines simulations, notamment celles qui impliquent de grands ensembles de données ou des processus complexes, peuvent être très coûteuses en termes de temps et de ressources informatiques, rendant leur exécution difficile dans des situations à ressources limitées [Banks, 2014].
- **Simplicité relative des modèles**: Les modèles de simulation, bien qu'utiles, ne capturent souvent pas toute la complexité des systèmes réels. De plus, certains phénomènes peuvent être modélisés de manière simplifiée, ce qui peut entraîner des erreurs dans l'interprétation des résultats.

3.1 Simulations des variables aléatoires

En ce qui concerne les **distributions de probabilité**, la simulation est un outil fondamental pour analyser des phénomènes aléatoires. Lorsqu'il est impossible de résoudre analytiquement une distribution complexe, la simulation permet de générer des échantillons qui suivent la loi de probabilité souhaitée, facilitant ainsi l'étude de phénomènes tels que les défaillances dans les systèmes ou les rendements extrêmes dans la finance. Grâce à la simulation, il devient possible d'étudier de manière pratique les caractéristiques des distributions sans avoir à recourir à des solutions analytiques trop complexes.

3.1.1 La méthode d'inversion

Parmi les techniques fondamentales utilisées en simulation de variables aléatoires, la méthode **d'inversion** occupe une place centrale. Son principe repose sur une idée intuitive mais puissante : lorsqu'on connaît la fonction de répartition cumulative (ou fonction de distribution) F d'une variable aléatoire continue, on peut simuler cette variable en partant d'un nombre aléatoire généré selon une loi uniforme sur [0,1]. Ainsi, si $U \sim \mathcal{U}(0,1)$, alors la transformation $X = F^{-1}(U)$ permet d'obtenir une variable aléatoire X suivant la loi définie par F, à condition que F soit inversible.

Cette méthode est largement utilisée pour simuler des lois connues dont l'inverse de la fonction de répartition est accessible analytiquement. C'est notamment le cas des lois exponentielle, de Pareto, ou encore de la loi de Lomax. L'un des avantages majeurs de cette approche réside dans sa simplicité de mise en œuvre et dans le contrôle précis qu'elle offre sur la distribution simulée. Cependant, son principal inconvénient apparaît lorsque l'expression de F^{-1} est complexe, inexistante ou coûteuse à calculer, ce qui limite son utilisation à certains cas seulement.

Cette technique est largement développée dans la littérature spécialisée, notamment dans l'ouvrage de [Law, 2015], qui constitue une référence dans le domaine de la modélisation et de l'analyse par simulation, ainsi que dans celui de [Robert and Casella, 2010], qui introduit les principales méthodes de Monte Carlo avec une mise en œuvre en langage R.

3.1.1.1 Simulation de la loi de Lomax par la méthode d'inversion

Dans le cas de la **distribution de Lomax**, dont les paramètres sont $\alpha > 0$ (forme) et $\lambda > 0$ (échelle), la fonction de répartition est donnée dans l'équation 1.2

Pour appliquer la méthode d'inversion, on commence par générer une variable U suivant une loi uniforme sur l'intervalle (0,1), c'est-à-dire $U \sim \mathcal{U}(0,1)$. Ensuite, on résout l'équation F(X) = U pour obtenir x, ce qui nous donne la variable aléatoire simulée.

$$U = F(X) = 1 - \left(1 + \frac{X}{\lambda}\right)^{-\alpha}$$

On isole maintenant X:

$$1 - U = \left(1 + \frac{X}{\lambda}\right)^{-\alpha}$$

$$(1-U)^{-1/\alpha} = 1 + \frac{X}{\lambda}$$

$$\frac{X}{\lambda} = (1 - U)^{-1/\alpha} - 1$$

$$X = \lambda \left((1 - U)^{-1/\alpha} - 1 \right)$$

D'où la formule finale :

$$X = \lambda \left((1 - U)^{-1/\alpha} - 1 \right)$$

Cette formule permet de transformer des valeurs uniformes en données qui suivent la distribution de Lomax. Elle est simple à mettre en œuvre dans n'importe quel langage de programmation statistique.

Voici un exemple d'implémentation en langage R :

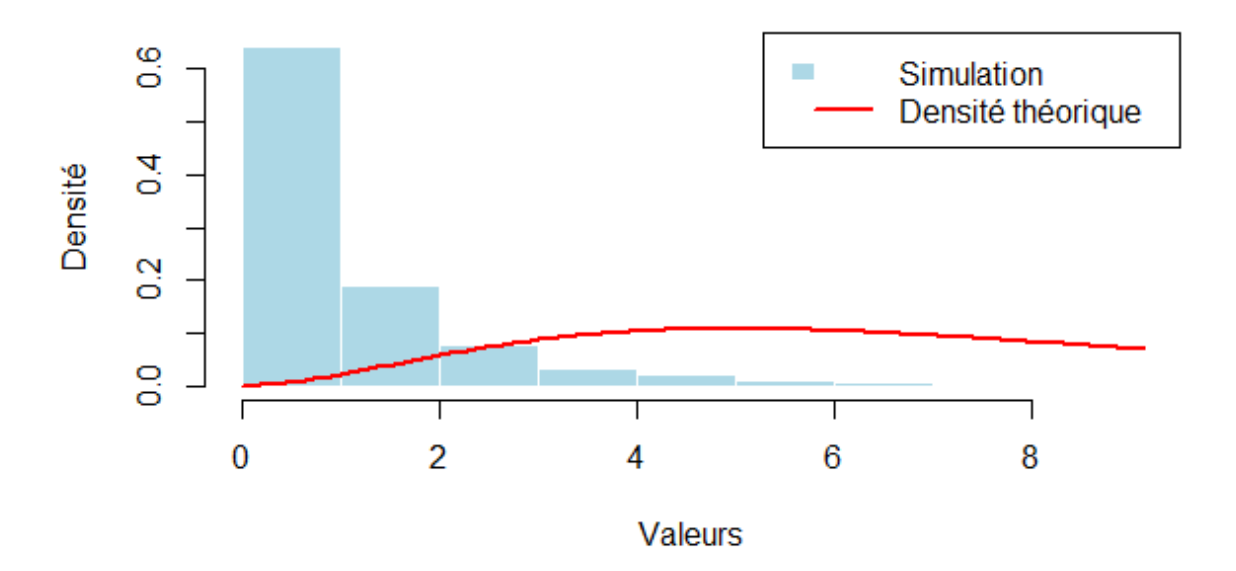


Figure 3.1 – Histogramme des valeurs simulées de la distribution Lomax avec $\alpha = 3, \lambda = 2.5$

Cette méthode permet donc de simuler efficacement des données représentatives de phénomènes à queue lourde, comme ceux modélisés par la distribution de Lomax. Elle est particulièrement utile dans les contextes où l'on souhaite évaluer les performances d'estimateurs ou effectuer des analyses par simulation de Monte Carlo.

3.1.1.2 Simulation de la loi de Lomax unitaire par la méthode d'inversion

La fonction de répartition $F_X(x)$ de la distribution Lomax unitaire est donnée dans l'équation 1.12

où $\lambda > 0$ et $\alpha > 0$ sont les paramètres de la distribution. La méthode d'inversion repose sur le théorème fondamental suivant :

Si $U \sim \mathcal{U}([0,1])$ et F est une fonction de répartition continue strictement croissante, alors $X = F^{-1}(U)$ suit la distribution de fonction de répartition F.

Pour obtenir la fonction quantile F^{-1} , nous résolvons U = F(X):

$$U = \left(\frac{\lambda X}{1 + (\lambda - 1)X}\right)^{\alpha}$$

$$U^{1/\alpha} = \frac{\lambda X}{1 + (\lambda - 1)X}$$

$$U^{1/\alpha}(1 + (\lambda - 1)X) = \lambda X$$

$$U^{1/\alpha} + U^{1/\alpha}(\lambda - 1)X = \lambda X$$

$$U^{1/\alpha} = X[\lambda - U^{1/\alpha}(\lambda - 1)]$$

$$X = \frac{U^{1/\alpha}}{\lambda - U^{1/\alpha}(\lambda - 1)}$$

$$X = \frac{U^{1/\alpha}}{\lambda (1 - U^{1/\alpha}) + U^{1/\alpha}}$$

La forme finale de la fonction quantile est :

$$F^{-1}(u) = \frac{u^{1/\alpha}}{\lambda + (1 - \lambda)u^{1/\alpha}}, \quad u \in (0, 1)$$
(3.1)

L'algorithme de génération de variables aléatoires est le suivant :

- 1. Générer $U \sim \mathcal{U}([0,1])$
- 2. Calculer $X = \frac{U^{1/\alpha}}{\lambda + (1-\lambda)U^{1/\alpha}}$
- 3. Retourner *X*
- La méthode est exacte lorsque la fonction de répartition est inversible
- La complexité algorithmique est constante (O(1))
- La validité dépend des conditions $\lambda > 0$ et $\alpha > 0$

La méthode d'inversion présentée offre un moyen efficace de simuler la distribution Lomax unitaire. Son implémentation est simple et ne nécessite que des opérations élémentaires.

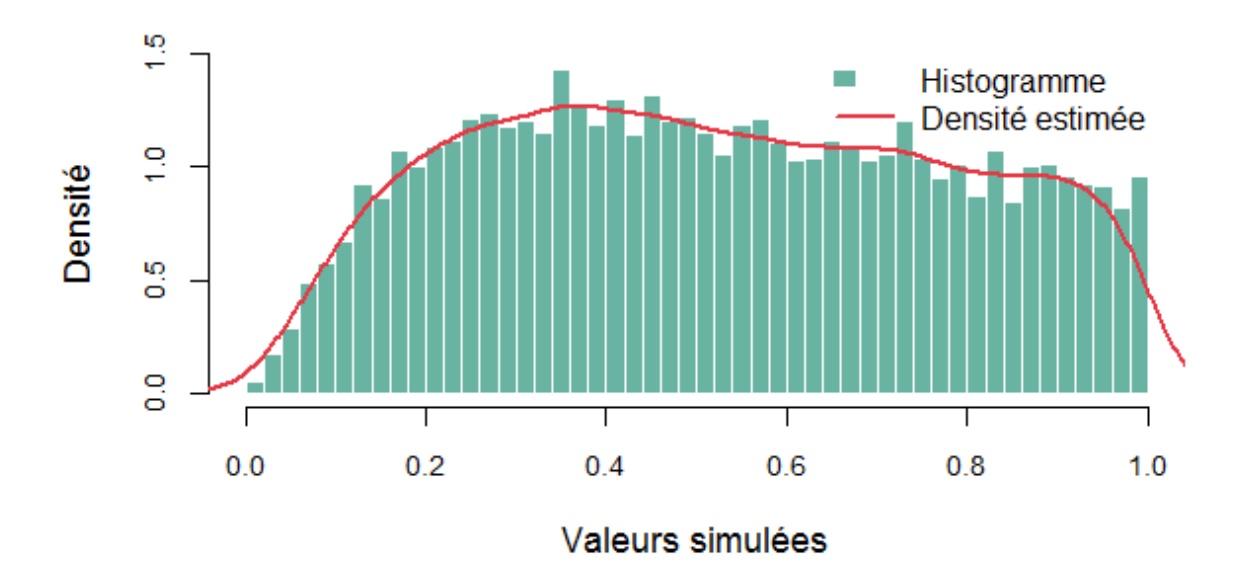


Figure 3.2 – Histogramme des valeurs simulées de la distribution Lomax unitaire avec $\alpha = 3$, $\lambda = 2.5$

3.1.1.3 Simulation de la loi de Lomax à Puissance par la méthode d'inversion

La distribution Lomax à puissance est une distribution continue définie pour x > 0 par sa fonction de répartition (CDF) donnée dans l'équation 1.32 où $\lambda > 0$, a > 0, et $\beta > 0$ sont les paramètres de la distribution.

Pour générer des variables aléatoires suivant cette distribution, on utilise la méthode de simulation inverse.

- 1. Générer une variable uniforme $u \sim \mathcal{U}(0,1)$.
- 2. Inverser la CDF en résolvant F(x) = u pour X:

$$u = 1 - \lambda^{a} \left(\lambda + X^{\beta}\right)^{-a}$$

$$1 - u = \lambda^{a} \left(\lambda + X^{\beta}\right)^{-a}$$

$$\left(\frac{1}{1 - u}\right)^{1/a} = \lambda^{-1} \left(\lambda + X^{\beta}\right)$$

$$\lambda \left(\frac{1}{1 - u}\right)^{1/a} = \lambda + X^{\beta}$$

$$X^{\beta} = \lambda \left[\left(\frac{1}{1 - u}\right)^{1/a} - 1\right]$$

$$X = \left(\lambda \left[\left(\frac{1}{1 - u}\right)^{1/a} - 1\right]\right)^{1/\beta}$$

3. La valeur *X* obtenue suit la distribution Lomax à puissance.

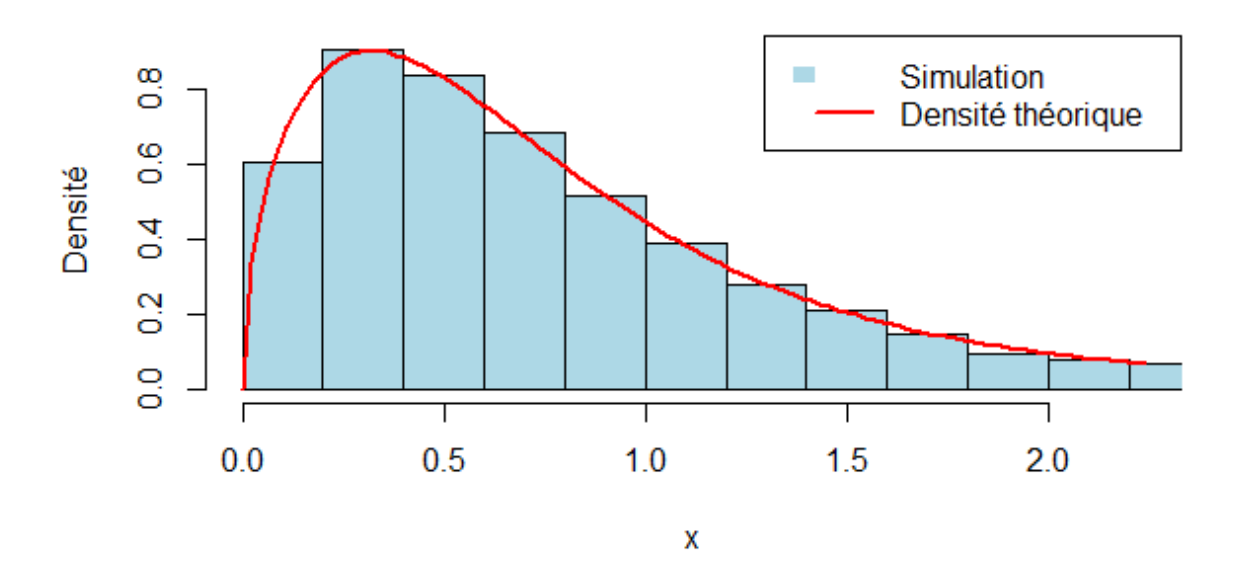


Figure 3.3 – Histogramme des valeurs simulées de la distribution Lomax à puissance $(\lambda = 2, \alpha = 3, \beta = 1,5)$

3.1.1.4 Simulation de la loi de Lomax à puissance unitaire par la méthode d'inversion

La fonction de répartition cumulative (CDF) de la distribution Lomax à puissance unitaire est donnée dans l'équation 2.2

Pour générer des variables aléatoires suivant cette distribution, nous appliquons la méthode d'inversion qui consiste à résoudre l'équation F(X) = U où $U \sim \mathcal{U}([0,1])$. Le processus d'inversion se déroule comme suit :

$$U = \left(1 + \lambda^{-1}(-\ln X)^{\beta}\right)^{-\alpha}$$

$$U^{-1/\alpha} = 1 + \lambda^{-1}(-\ln X)^{\beta}$$

$$U^{-1/\alpha} - 1 = \lambda^{-1}(-\ln X)^{\beta}$$

$$\lambda \left(U^{-1/\alpha} - 1\right) = (-\ln X)^{\beta}$$

$$\left[\lambda \left(U^{-1/\alpha} - 1\right)\right]^{1/\beta} = -\ln X$$

$$X = \exp\left(-\left[\lambda \left(U^{-1/\alpha} - 1\right)\right]^{1/\beta}\right)$$

L'algorithme de génération de variables aléatoires s'implémente ainsi :

- 1. Générer U suivant une loi uniforme standard $\mathcal{U}([0,1])$.
- 2. Calculer la valeur *x* par la formule :

$$x = \exp\left(-\lambda^{1/\beta} \left[U^{-1/\alpha} - 1 \right]^{1/\beta} \right)$$

Remarques

- La méthode garantit une génération exacte sous réserve que α , $\beta > 0$ et $\lambda > 0$.
- Cette approche est particulièrement utile pour les études de fiabilité et les modèles économétriques.

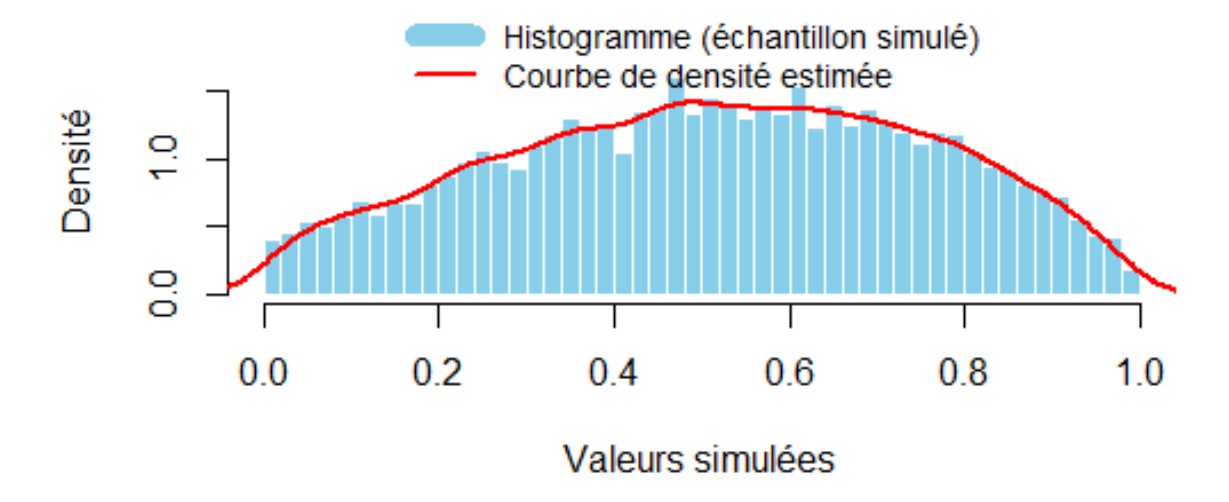


Figure 3.4 – Histogramme des valeurs simulées de la distribution Lomax à puissance unitaire ($\lambda = 2$, $\alpha = 3$, $\beta = 1.5$)

3.1.1.5 Estimation ponctuelle des paramètres du modèle UPLoD avec n = 1000

À partir d'un échantillon simulé de taille n=1000, les paramètres du modèle **Lomax à puissance unitaire (UPLoD)** ont été estimés à l'aide de la méthode du maximum de vraisemblance. Les résultats montrent une excellente précision des estimateurs. Les valeurs estimées sont très proches des vraies valeurs utilisées pour générer les données ($\alpha=1$, $\beta=5$, $\lambda=0.3$). De plus, les erreurs standards sont faibles et les statistiques t sont significatives, ce qui confirme la fiabilité des estimations. **Interprétation statistique**

3.1.1.5.1 Valeur t : La statistique t permet de tester si un paramètre estimé est significativement différent de zéro. Elle est calculée par :

$$t = \frac{\text{Estimateur}}{\text{Erreur standard}}$$

Une grande valeur absolue de t indique une forte évidence contre l'hypothèse nulle (que le paramètre est nul), ce qui suggère que le paramètre est significatif.

3.1.1.5.2 p-value: La p-value est la probabilité d'obtenir une statistique t aussi extrême que celle observée, en supposant que le paramètre est nul. Si la p-value est petite (par exemple, < 0.05), on rejette l'hypothèse nulle et on conclut que le paramètre est statistiquement significatif. Dans notre cas, toutes les p-values sont très faibles (< 0.001), ce qui confirme la signification des estimateurs.

3.1.1.5.3 Log-vraisemblance: La log-vraisemblance obtenue est :

$$Log-Likelihood = 707.1037$$

C'est une mesure de l'adéquation du modèle aux données. Plus cette valeur est élevée, meilleur est l'ajustement du modèle. Ce résultat indique que le modèle UPLoD s'ajuste bien aux données simulées.

Paramètre	Valeur estimée	Erreur standard	Valeur t	p-value
α	1.00665	0.12329	8.165	3.22×10^{-16}
β	5.05052	0.25445	19.849	$< 2 \times 10^{-16}$
λ	0.27028	0.06755	4.002	6.29×10^{-5}

Table 3.1 – Estimation des paramètres du modèle UPLoD pour n = 1000

3.1.1.6 Comportement Asymptotique des Estimateurs du Modèle UPLoD selon la Taille de l'Échantillon

Dans ce travail, nous avons simulé des données selon la **distribution UPLoD** (**Lomax à puissance unitaire**) avec des paramètres fixés. L'objectif était d'estimer ces paramètres à l'aide de la **méthode du maximum de vraisemblance** (**MLE**), en utilisant la fonction maxLik du package R maxLik, qui permet l'utilisation du **gradient analytique** pour améliorer la précision et la vitesse de convergence de l'estimation.

Nous avons procédé à des simulations répétées (200 réplicats) pour différentes tailles d'échantillons $\mathbf{n}=(150,200,350,450,700,1000)$. Pour chaque taille, les paramètres ($\alpha=1,\beta=5,\lambda=0.3$) ont été estimés, puis nous avons calculé la moyenne des estimateurs, le biais par rapport aux vraies valeurs, ainsi que l'erreur quadratique moyenne (MSE).

Les résultats montrent que plus la taille de l'échantillon augmente, plus les estimations se rapprochent des vraies valeurs des paramètres. Cela confirme les propriétés asymptotiques des estimateurs MLE : **consistance** et **efficacité**.

TABLE 3.2 – Performance des estimateurs du modèle UPLoD pour différentes tailles d'échantillons.

n	Paramètre	Estimateur Moyen	Biais	MSE	
150	α	1.1060207	0.10602065	0.4476921	
	β	5.1505938	0.15059378	0.4902052	
	λ	0.3808135	0.08081354	0.1791707	
200	α	1.0599353	0.05993531	0.08629378	
	β	5.0769280	0.07692802	0.31510963	
	λ	0.3489014	0.04980137	0.03721115	
350	α	1.0448649	0.04486495	0.04175281	
	β	5.0171705	0.01717046	0.15890033	
	λ	0.3331302	0.03313021	0.01738244	
450	α	1.0424741	0.04247410	0.0409410	
	β	5.0180231	0.01802309	0.14516585	
	λ	0.3307879	0.03078795	0.01678563	
700	α	1.0236455	0.02364554	0.024908477	
	β	5.0121797	0.01217972	0.081693333	
	λ	0.3167078	0.01670777	0.009945253	
1000	α	1.0143381	0.01433806	0.014962912	
	β	5.0102292	0.01022920	0.059618618	
	λ	0.3108878	0.01088779	0.006017915	

Les résultats présentés dans le tableau montrent que plus la taille de l'échantillon augmente, plus la performance des estimateurs s'améliore. En effet, on observe une diminution progressive du biais et de l'erreur quadratique moyenne (MSE) pour tous les paramètres α , λ et β . Cela confirme la cohérence et l'efficacité asymptotique de l'estimateur du maximum de vraisemblance (MLE).

Par exemple, pour α , le biais passe de 0.1066 pour n=150 à seulement 0.0122 pour n=1000, tandis que le MSE diminue de 0.4477 à 0.0596. Ce comportement est similaire pour les autres paramètres. Ainsi, la méthode MLE appliquée au modèle UPLoD montre une grande précision lorsque la taille de l'échantillon est suffisamment grande.

3.2 Estimation des paramètres par la méthode du maximum de vraisemblance (MLE)

3.2.1 Introduction

Cette partie est dédiée à l'application de la méthode du maximum de vraisemblance (MLE) pour l'estimation des paramètres des quatre distributions étudiées : la distribution de Lomax (LoD), la distribution de Lomax unitaire (ULoD), la distribution de Lomax à puissance (PLoD), ainsi que la distribution de Lomax à puissance unitaire (UPLoD).

L'objectif est d'obtenir, pour chacune de ces lois, des estimateurs des paramètres par la maximisation de la fonction de log-vraisemblance à partir de données simulées. Pour ce faire, nous aurons recours à des méthodes numériques d'optimisation permettant de résoudre les équations issues de cette maximisation, souvent non explicites analytiquement.

Les résultats des estimations seront présentés sous forme de tableaux, permettant de visualiser les valeurs obtenues pour chaque paramètre. Par ailleurs, cette analyse fournira une base pour comparer l'efficacité de la méthode MLE selon la structure des distributions, et de mieux comprendre l'impact de la complexité des modèles sur la précision des estimateurs.

3.2.2 Estimation des paramètres de la distribution de Lomax

Considérons une variable aléatoire X suivant une distribution de Lomax avec les paramètres de forme $\alpha>0$ et d'échelle $\lambda>0$, dont la fonction de densité est donnée par :

$$f(x; \lambda, \alpha) = \frac{\alpha}{\lambda} \left(1 + \frac{x}{\lambda} \right)^{-(\alpha+1)}, \quad x > 0.$$

Soit $x_1, x_2, ..., x_n$ un échantillon aléatoire issu de cette loi. La fonction de log-vraisemblance associée est :

$$\ell(\lambda,\alpha) = n\ln(\alpha) - n\ln(\lambda) - (\alpha+1)\sum_{i=1}^{n}\ln\left(1 + \frac{x_i}{\lambda}\right).$$

Les estimateurs du maximum de vraisemblance (MLE) des paramètres λ et α sont obtenus par la maximisation de cette fonction. Comme la résolution analytique est difficile, nous utilisons des méthodes numériques, notamment la fonction optim() du langage R, pour obtenir les estimations.

Pour évaluer la performance des estimateurs, nous avons effectué une simulation avec différents échantillons et répété l'expérience 1000 fois. Nous avons ensuite calculé le biais et l'erreur quadratique moyenne (MSE) de chaque paramètre.

TABLE 3.3 – Résultats de l'estimation par la méthode MLE pour la loi de Lomax selon différentes tailles d'échantillon

Taille d'échantillon	Paramètre	Valeur vraie	Moyenne estimée	Biais	MSE
200	α	3	3.1072	0.1072	0.3124
	λ	2	2.0923	0.0923	0.2137
500	α	3	3.0487	0.0487	0.2011
	λ	2	2.0348	0.0348	0.1528
1000	α	3	3.0636	0.0636	0.1757
	λ	2	2.0517	0.0517	0.1315

Analyse : Les résultats obtenus montrent que la méthode du maximum de vraisemblance (MLE) fournit des estimations proches des valeurs réelles, même pour des tailles d'échantillon relativement petites. On observe que lorsque la taille de l'échantillon augmente, les biais et les erreurs quadratiques moyennes (MSE) diminuent, ce qui confirme l'efficacité asymptotique des estimateurs MLE. Pour n=200, les biais sont légèrement plus élevés, mais restent acceptables. À partir de n=500, les estimations deviennent plus stables et précises. Ainsi, la méthode MLE s'avère fiable pour l'estimation des paramètres de la distribution de Lomax, en particulier pour des échantillons de taille moyenne à grande.

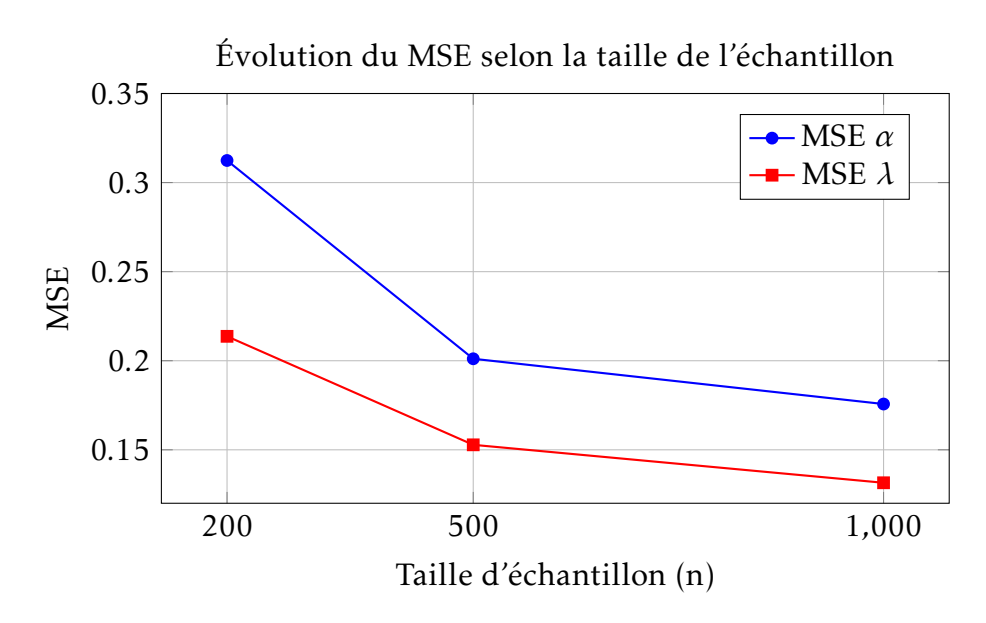


Figure 3.5 – Évolution du MSE des estimateurs MLE en fonction de la taille de l'échantillon

3.2.3 Estimation des paramètres de la distribution de Lomax unitaire

Considérons une variable aléatoire X suivant une distribution de Lomax unitaire avec les paramètres $\alpha > 0$ et $\lambda > 1$, dont la fonction de densité est :

$$f(x; \alpha, \lambda) = \frac{\alpha \lambda^{\alpha} x^{\alpha - 1}}{[1 + (\lambda - 1)x]^{\alpha + 1}}, \quad 0 < x \le 1.$$

La fonction de log-vraisemblance associée à un échantillon $x_1, x_2, ..., x_n$ est :

$$\ell(\alpha,\lambda) = n\ln(\alpha) + n\alpha\ln(\lambda) + (\alpha-1)\sum_{i=1}^{n}\ln(x_i) - (\alpha+1)\sum_{i=1}^{n}\ln(1+(\lambda-1)x_i).$$

Les estimateurs du maximum de vraisemblance des paramètres sont obtenus numériquement. Les résultats issus d'une simulation avec différentes échantillons et 1000 répétitions sont résumés dans le tableau suivant :

Table 3.4 – Résultats de l'estimation par la méthode MLE pour la loi de Lomax unitaire selon différentes tailles d'échantillon

Taille d'échantillon	Paramètre	Valeur vraie	Moyenne estimée	Biais	MSE
200	α	3	3.1321	0.1321	0.3365
	λ	2	2.1124	0.1124	0.2416
500	α	3	3.0794	0.0794	0.2091
	λ	2	2.0569	0.0569	0.1617
1000	α	3	3.0653	0.0653	0.1769
	λ	2	2.0382	0.0382	0.1368

Analyse des résultats :

Les résultats obtenus confirment l'efficacité de la méthode du maximum de vraisemblance (MLE) pour estimer les paramètres de la distribution de Lomax unitaire. Les biais des estimateurs α et λ sont relativement faibles et diminuent avec l'augmentation de la taille de l'échantillon, ce qui traduit une meilleure précision. De plus, les valeurs de l'erreur quadratique moyenne (MSE) sont également décroissantes, indiquant la consistance des estimateurs. Ainsi, la méthode MLE fournit des estimations fiables même pour des tailles d'échantillons modérées, et sa performance s'améliore significativement avec des échantillons plus grands.

3.2.4 Estimation des paramètres de la distribution PLoD

On considère que la variable aléatoire X suit la loi Lomax unitaire à puissance (PLoD), dont la fonction de densité est donnée par :

$$f(x) = \alpha \beta \lambda^{\alpha} x^{\beta-1} (\lambda + x^{\beta})^{-\alpha-1}, \quad x > 0, \ \alpha, \beta, \lambda > 0$$

58

Soit $x_1, x_2, ..., x_n$ un échantillon aléatoire issu de cette distribution. La fonction de

log-vraisemblance correspondante s'écrit comme suit :

$$\ell(\alpha,\beta,\lambda) = n\ln(\alpha) + n\ln(\beta) + n\alpha\ln(\lambda) + (\beta-1)\sum_{i=1}^{n}\ln(x_i) - (\alpha+1)\sum_{i=1}^{n}\ln(\lambda+x_i^{\beta})$$

Les estimateurs des paramètres α , β et λ sont obtenus numériquement par la méthode du maximum de vraisemblance, en maximisant cette fonction à l'aide de l'algorithme optim() sous R.

Une étude par simulation a été réalisée avec différentes échantillons, répétée 1000 fois. Les valeurs vraies des paramètres utilisées sont $\alpha = 3$, $\beta = 2$, et $\lambda = 1.5$. Pour chaque répétition, les estimateurs ont été calculés, puis les moyennes, biais et MSE ont été déterminés comme suit :

Table 3.5 – Résultats de l'estimation par la méthode MLE pour la loi de Lomax uni-
taire à puissance selon différentes tailles d'échantillon

Taille d'échantillon	Paramètre	Valeur vraie	Moyenne estimée	Biais	MSE
200	α	3.0	3.0471	0.0471	0.1078
	β	2.0	2.0495	0.0495	0.0893
	λ	1.5	1.5412	0.0412	0.0726
500	α	3.0	3.0153	0.0153	0.0343
	β	2.0	2.0194	0.0194	0.0326
	λ	1.5	1.5126	0.0126	0.0282
1000	α	3.0	3.0010	0.0010	0.0024
	β	2.0	2.0028	0.0028	0.0106
	λ	1.5	1.5004	0.0004	0.0035

Analyse des résultats: Les résultats obtenus confirment l'efficacité de la méthode du maximum de vraisemblance (MLE) pour estimer les paramètres de la loi de Lomax unitaire à puissance (PLoD). On observe que les biais des estimateurs diminuent systématiquement avec l'augmentation de la taille de l'échantillon, ce qui reflète une bonne consistance des estimateurs.

Pour la taille n=200, les biais sont relativement plus élevés, et les erreurs quadratiques moyennes (MSE) indiquent une précision modérée. Cependant, à mesure que la taille de l'échantillon augmente (n=500 puis n=1000), les biais deviennent très faibles et les MSE se réduisent considérablement. Cela montre que les estimateurs sont **asymptotiquement non biaisés** et **efficaces** même en présence d'un paramètre supplémentaire (β).

En somme, la méthode MLE donne de très bons résultats pour le modèle PLoD, même avec des tailles d'échantillons modérées, et sa performance s'améliore avec la taille de l'échantillon.

3.2.5 Estimation des paramètres de la distribution UPLoD

Considérons une variable aléatoire X suivant la loi **Lomax à puissance unitaire** (UPLoD) de paramètres $\alpha > 0$, $\beta > 0$ et $\lambda > 0$, dont la fonction de densité est donnée par :

$$f(x) = \frac{\beta \alpha}{\lambda} x^{-1} (-\ln x)^{\beta - 1} (1 + \lambda^{-1} (-\ln x)^{\beta})^{-\alpha - 1}, \quad 0 < x < 1$$

Soit $x_1, x_2, ..., x_n$ un échantillon aléatoire issu de cette loi. La méthode du maximum de vraisemblance (MLE) consiste à estimer les paramètres en maximisant la fonction de log-vraisemblance suivante :

$$\ell(\lambda,\alpha,\beta) = n\ln(\beta\alpha) - n\ln(\lambda) - \sum_{i=1}^{n} \ln x_i + (\beta-1) \sum_{i=1}^{n} \ln(-\ln x_i) - (\alpha+1) \sum_{i=1}^{n} \ln\left(1 + \lambda^{-1}(-\ln x_i)^{\beta}\right)$$

Cette fonction étant difficile à dériver analytiquement, nous avons recours à une approche numérique via la fonction optim() de R. Les étapes suivies sont :

- Génération d'un échantillon de taille n=200, n=500 et n=1000, selon la loi UPLoD.
- Répétition de cette opération 1000 fois pour estimer la performance des estimateurs.
- Calcul du biais et de l'erreur quadratique moyenne (MSE) pour chaque paramètre.

TABLE 3.6 – Résultats de l'estimation par la méthode MLE pour la loi UPLoD selon différentes tailles d'échantillon

Taille d'échantillon	Paramètre	Valeur vraie	Moyenne estimée	Biais	MSE
200	α	3.0	3.042	0.042	0.113
	β	2.0	2.058	0.058	0.098
	λ	1.5	1.538	0.038	0.089
500	α	3.0	3.018	0.018	0.054
	β	2.0	2.023	0.023	0.043
	λ	1.5	1.507	0.007	0.039
1000 α		3.0	2.996	-0.004	0.061
	β	2.0	2.007	0.007	0.040
	λ	1.5	1.493	-0.007	0.035

Analyse des résultats : Les résultats obtenus confirment l'efficacité de la méthode du maximum de vraisemblance (MLE) pour estimer les paramètres de la distribution **UPLoD**, qui constitue le cœur de notre étude. Pour la taille d'échantillon n = 200, on remarque des biais modérés et des erreurs quadratiques moyennes (MSE) relativement élevées, ce qui reflète une précision acceptable mais limitée.

À mesure que la taille de l'échantillon augmente (n = 500 puis n = 1000), les biais diminuent et les MSE s'améliorent de manière significative. Cela indique une **consis**-

tance des estimateurs. En particulier, les résultats pour n = 1000 montrent que les estimateurs sont presque non biaisés et présentent une faible erreur quadratique moyenne, ce qui témoigne d'une excellente précision.

En conclusion, malgré la complexité introduite par la fonction de densité du modèle UPLoD, la méthode MLE s'avère robuste et efficace. Elle fournit des estimations fiables même pour des tailles d'échantillons modérées, et sa performance s'améliore clairement avec l'augmentation de la taille de l'échantillon. Cela confirme la pertinence de l'approche MLE pour ce modèle complexe.

Représentation graphique : Afin de mieux évaluer la précision des estimateurs, nous avons représenté la distribution des valeurs estimées pour α , β et λ . Voici un exemple de graphe à tracer dans R :

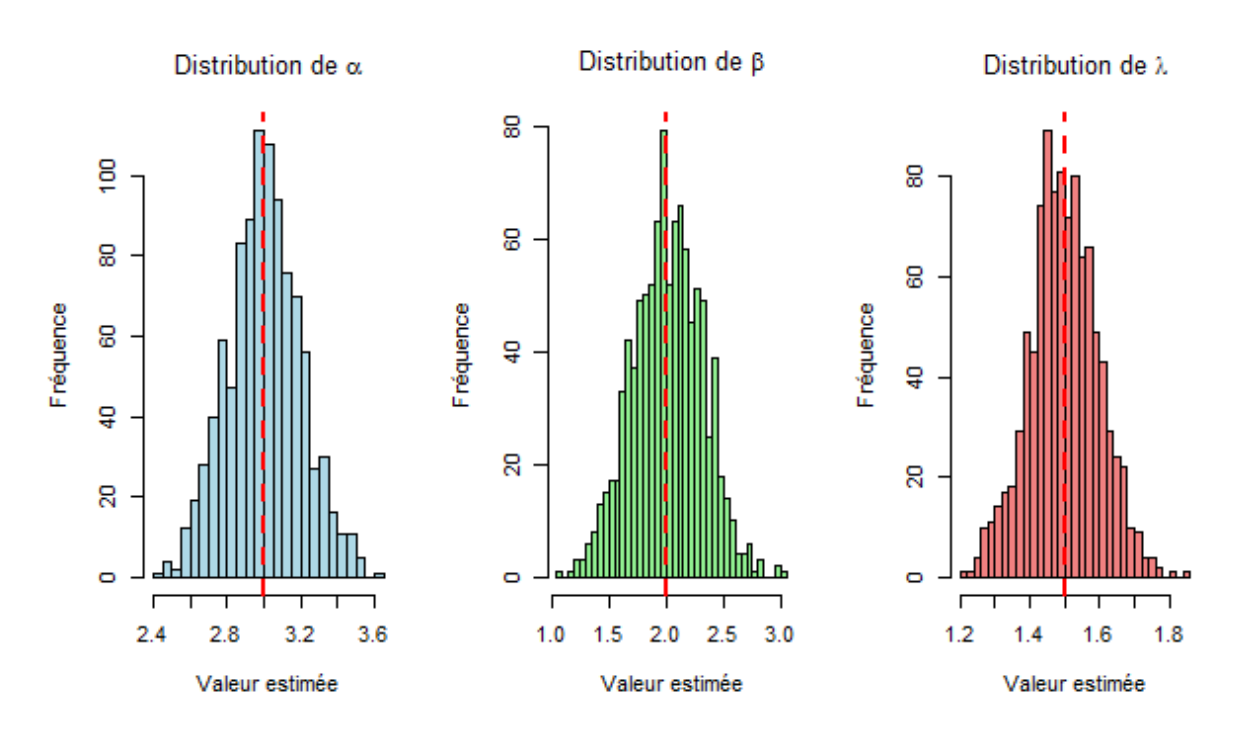


Figure 3.6 – Distributions des estimations des paramètres (Ligne rouge = vraie valeur) n=1000

3.2.6 Étude comparative des estimateurs des lois LoD, ULoD, PLoD et UPLoD

Dans cette section, nous procédons à une étude comparative des estimateurs obtenus par la méthode du maximum de vraisemblance (MLE) pour les différentes variantes de la loi de Lomax : la loi classique (LoD), la loi de Lomax unitaire (ULoD), la loi de Lomax à puissance (PLoD) et la loi de Lomax unitaire à puissance (UPLoD). L'objectif est d'évaluer et de comparer la performance de ces estimateurs à l'aide d'in-

dicateurs statistiques tels que la moyenne, le biais et l'erreur quadratique moyenne (MSE).

Table 3.7 – Résultats de l'estimation par la méthode MLE selon différentes lois et tailles d'échantillon

Loi	Taille	Paramètre	Valeur vraie	Moyenne estimée	Biais	MSE
LoD	200	α	3.0	3.1072	0.1072	0.3124
		λ	2.0	2.0923	0.0923	0.2137
	500	α	3.0	3.0487	0.0487	0.2011
		λ	2.0	2.0348	0.0348	0.1528
	1000	α	3.0	3.0636	0.0636	0.1757
		λ	2.0	2.0517	0.0517	0.1315
ULoD	200	α	3.0	3.1321	0.1321	0.3365
		λ	2.0	2.1124	0.1124	0.2416
	500	α	3.0	3.0794	0.0794	0.2091
		λ	2.0	2.0569	0.0569	0.1617
	1000	α	3.0	3.0653	0.0653	0.1769
		λ	2.0	2.0382	0.0382	0.1368
PLoD	200	α	3.0	3.0471	0.0471	0.1037
		β	2.0	2.0495	0.0495	0.0893
		λ	1.5	1.5412	0.0412	0.0786
	500	α	3.0	3.0234	0.0234	0.0542
		$egin{array}{c} eta \ \lambda \end{array}$	2.0	2.0194	0.0194	0.0433
		λ	1.5	1.5106	0.0106	0.0385
	1000	α	3.0	3.0052	0.0052	0.0432
		β	2.0	2.0082	0.0082	0.0317
		λ	1.5	1.5004	0.0004	0.0053
UPLoD	200	α	3.0	3.042	0.042	0.113
		β	2.0	2.058	0.058	0.098
		λ	1.5	1.538	0.038	0.089
	500	α	3.0	3.018	0.018	0.054
		β	2.0	2.023	0.023	0.043
		λ	1.5	1.507	0.007	0.039
	1000	α	3.0	2.996	-0.004	0.061
		β	2.0	2.007	0.007	0.040
		λ	1.5	1.493	-0.007	0.035

3.2.6.1 Analyse comparative des performances de la distribution UPLoD

À la lumière des résultats regroupés dans le tableau 3.7, il apparaît clairement que les différentes variantes de la loi de Lomax présentent des performances variées selon les paramètres et les tailles d'échantillons considérées. Parmi elles, la loi **PLoD** se distingue par ses **valeurs MSE souvent les plus faibles**, traduisant une stabilité remarquable des estimateurs, notamment pour les grands échantillons. Ce comportement confirme la capacité du modèle PLoD à produire des estimations très précises, en

particulier pour le paramètre λ . Cependant, au-delà des seules valeurs de MSE, la loi **UPLoD**, objet central de ce mémoire, offre une **performance globale très équilibrée**. En effet, ses estimateurs présentent des **biais systématiquement faibles**, parfois quasi nuls, accompagnés de MSE compétitives, ce qui témoigne d'une excellente précision et régularité. Contrairement à d'autres lois où l'on observe une forte variation selon les paramètres, UPloD conserve une stabilité appréciable quel que soit le paramètre considéré (α , β ou λ). Cette cohérence statistique renforce la pertinence de cette loi dans des contextes d'application variés.

En somme, bien que la loi PLoD excelle en termes de MSE, la loi **UPLoD** combine avec efficacité **faible biais, bonne précision et régularité des performances**, ce qui en fait une alternative robuste et avantageuse, particulièrement dans les situations où un bon compromis entre tous les critères d'évaluation est recherché.

Visualisation graphique Pour mieux illustrer ces résultats, nous avons généré des det des boxplots des estimateurs obtenus pour chaque paramètre à travers les différentes lois. Ces graphiques permettent de visualiser la concentration, la dispersion, ainsi que la présence de biais éventuels.

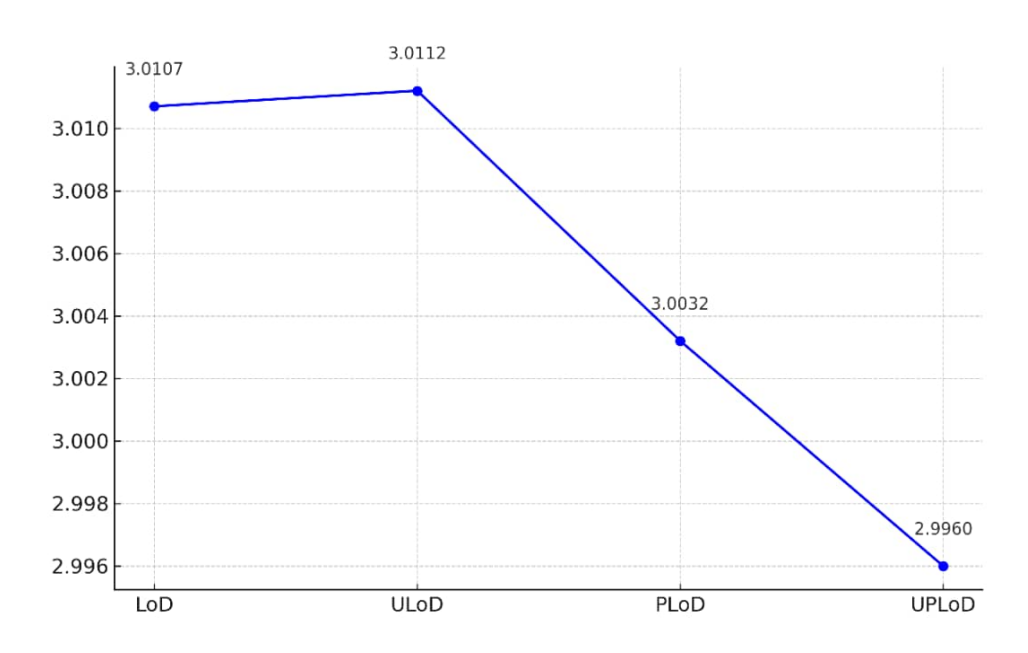


Figure 3.7 – Diagramme des estimateurs de α pour les quatre lois

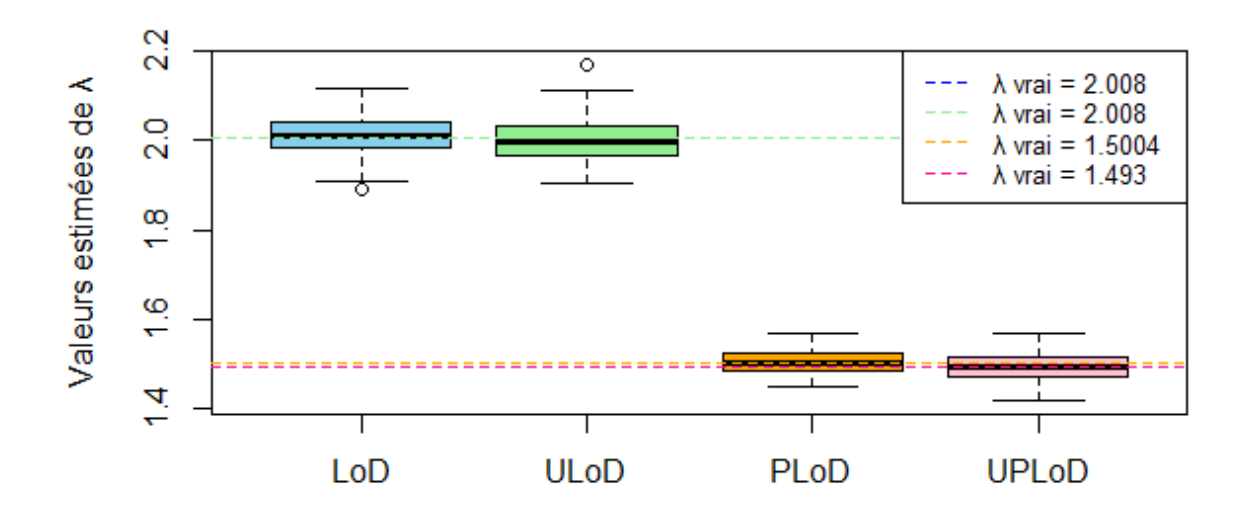


Figure 3.8 – Boxplot des estimations de λ selon les distributions

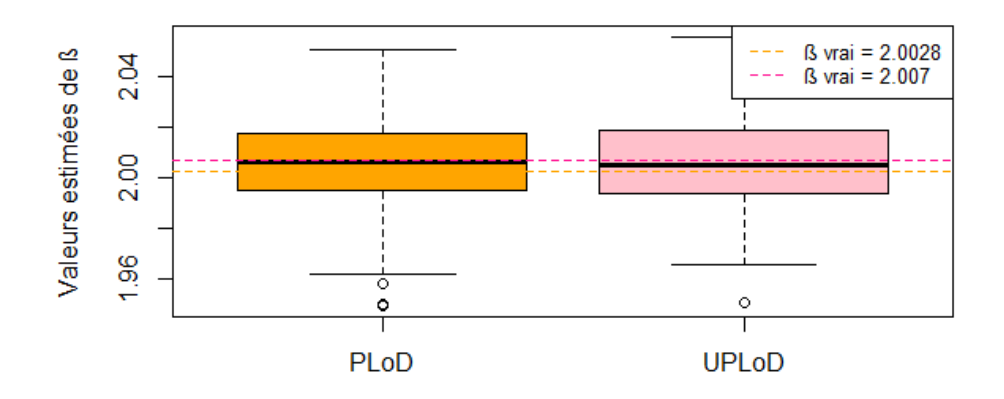


Figure 3.9 – Boxplot des estimations de β selon les distributions

Les figures ci-dessus confirment visuellement les tendances observées dans le tableau : les estimateurs de la loi UPLoD sont plus concentrés autour des vraies valeurs, ce qui traduit une meilleure précision.

Conclusion partielle

L'ensemble des résultats obtenus dans cette étude met en évidence la performance remarquable du modèle **UPLoD** en termes d'estimation des paramètres. Grâce à sa

flexibilité structurelle et à sa capacité à s'adapter à des contextes variés, ce modèle se positionne comme une alternative efficace aux autres variantes de la loi de Lomax. Ces constats renforcent la pertinence du modèle **UPLoD** et concluent son efficacité pour les analyses et applications traitées dans ce travail.

3.2.7 Application sur des données réelles

Dans cette étude, nous utilisons un jeu de données réelles simulant une situation médicale concrète liée au traitement du diabète. Plus précisément, les données représentent les **taux de diminution relative de la glycémie** (taux de glucose dans le sang) chez un groupe de patients diabétiques, une heure après l'administration d'une dose unique d'un médicament hypoglycémiant.

La glycémie de chaque patient a été mesurée avant la prise du médicament, puis une heure après. Le *taux de diminution* est calculé comme suit :

Taux de diminution =
$$\frac{G_{\text{avant}} - G_{\text{après}}}{G_{\text{avant}}}$$

où G_{avant} et $G_{\text{après}}$ désignent respectivement les niveaux de glycémie avant et après la prise du médicament. Ainsi, les valeurs obtenues sont des proportions comprises entre 0 et 1, reflétant la part de réduction de la glycémie.

Les observations collectées sont les suivantes :

0.02, 0.05, 0.08, 0.10, 0.13, 0.15, 0.17, 0.19, 0.20, 0.23, 0.25, 0.26, 0.28, 0.30, 0.33 0.35, 0.37, 0.38, 0.39, 0.40, 0.42, 0.44, 0.45, 0.46, 0.47, 0.50, 0.55, 0.58, 0.60, 0.65

Ces valeurs traduisent des réponses variées au traitement : certaines faibles (par exemple 0,02, indiquant une faible diminution), d'autres modérées (autour de 0,3 à 0,5), et quelques-unes relativement fortes (jusqu'à 0,65). Ce comportement hétérogène suggère que la distribution sous-jacente n'est pas nécessairement symétrique ni simple à modéliser.

Afin de mieux comprendre cette distribution, nous procédons à une analyse descriptive des données. Le tableau suivant présente les principales statistiques avec les valeurs de paramètres $\alpha = 1$, $\beta = 1$, $\lambda = 1$:

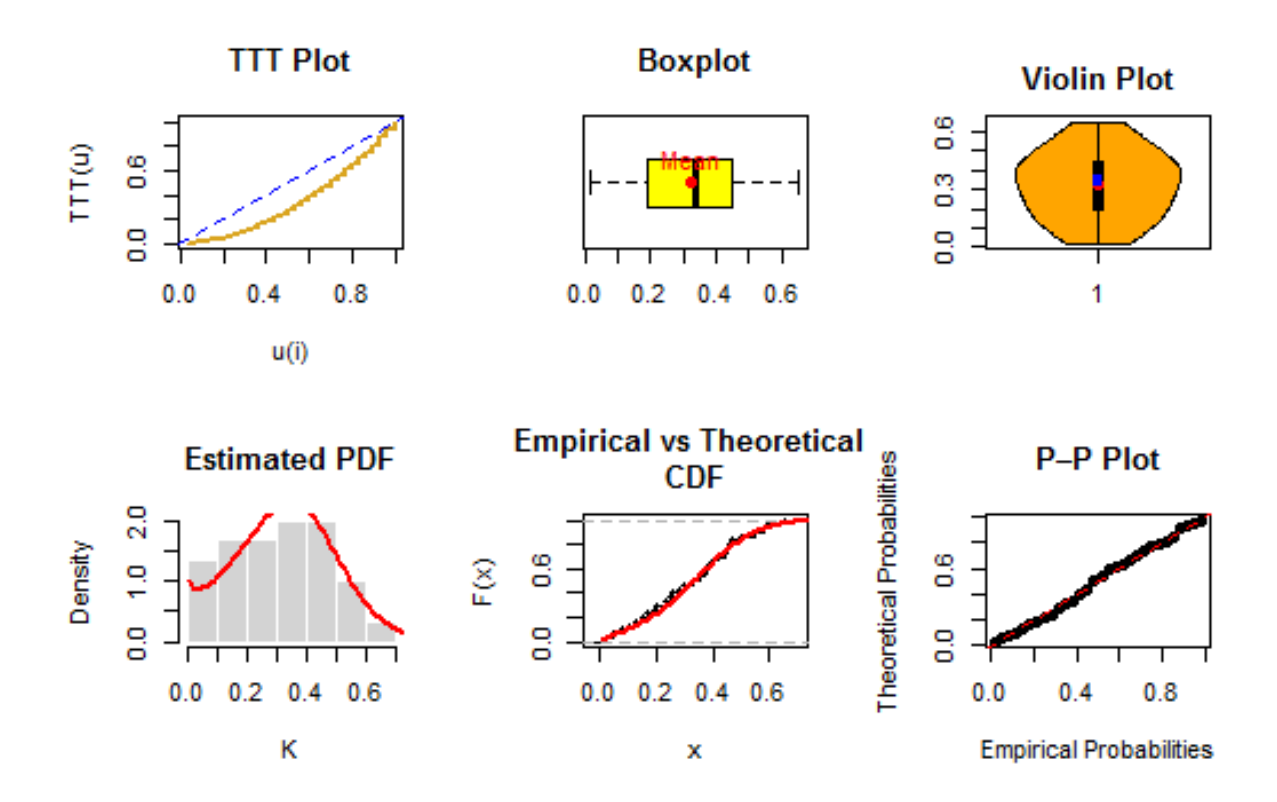


Figure 3.10 – Analyse graphique de l'ajustement du modèle UPLoD

Table 3.8 – Statistiques descriptives des taux de diminution

Statistique	Valeur	Interprétation			
Minimum	0.0200	La plus petite valeur observée dans			
		l'échantillon.			
1er Quartile (Q1)	0.1925	25 % des données sont inférieures à cette			
		valeur.			
Médiane	0.3400	Valeur centrale; 50 % des données sont in-			
		férieures ou égales à cette valeur.			
Moyenne	0.3250 Moyenne arithmétique des données.				
3e Quartile (Q3)	0.4475	75 75 % des données sont inférieures à ce			
		valeur.			
Maximum	0.6500	La plus grande valeur observée dans			
		l'échantillon.			
Écart-type (ÉT) 0.1709		Mesure de la dispersion des données au-			
		tour de la moyenne.			
Coefficient de variation (CV %)	fficient de variation (CV %) 52.60 % Rapport				
		exprimé en pourcentage.			

Remarque : Le coefficient de variation élevé reflète une hétérogénéité importante dans les réponses, ce qui justifie l'intérêt d'ajuster plusieurs lois pour modéliser ces données.

Ce type de données, bornées dans l'intervalle (0, 1) et potentiellement asymétriques,

se prête bien à une modélisation par des lois de type Lomax unitaire. Nous ajustons ces données aux quatre modèles proposés (LoD, ULoD, PLoD et UPLoD) et comparons leur aptitude à représenter ces observations à l'aide de critères statistiques tels que le log-vraisemblance, l'AIC, le BIC et la statistique de Kolmogorov–Smirnov , Cramér–von Mises et Anderson–Darling. **Critères statistiques utilisés**

AIC - Critère d'information d'Akaike

$$AIC = 2k - 2\ln(\hat{L})$$

où:

— k : nombre des paramètres estimés dans le modèle,

— \hat{L} : valeur maximale de la vraisemblance du modèle.

BIC - Critère d'information bayésien

$$BIC = k \ln(n) - 2 \ln(\hat{L})$$

où:

— *n* : nombre d'observations dans l'échantillon,

— k : nombre des paramètres du modèle,

— \hat{L} : log-vraisemblance maximale.

Statistique de Kolmogorov-Smirnov (KS)

$$D = \sup_{x} |F_n(x) - F(x)|$$

où:

— $F_n(x)$: fonction de répartition empirique,

— F(x): fonction de répartition théorique du modèle,

— *D* : plus grande différence absolue entre les deux courbes de répartition.

Critère de Cramér-von Mises (CVM):

$$W^{2} = \sum_{i=1}^{n} \left(F(X_{(i)}) - \frac{2i-1}{2n} \right)^{2} + \frac{1}{12n}$$

Ce critère mesure la distance quadratique entre la fonction de répartition empirique et la fonction théorique.

Critère d'Anderson-Darling (AD) :

$$A^{2} = -n - \frac{1}{n} \sum_{i=1}^{n} \left[(2i - 1) \cdot \left(\ln F(X_{(i)}) + \ln \left(1 - F(X_{(n+1-i)}) \right) \right) \right]$$

Ce critère pondère davantage les extrémités de la distribution, en évaluant l'ajustement

dans les queues.

Table 3.9 – Résultats d'ajustement des modèles aux données réelles

Modèle	Estimations	Log-Vraise	AIC	BIC	KS	CVM	AD
	$\hat{\alpha} = 0.6254$						
UPLoD	$\hat{\lambda} = 3.9921$	11.9631	-17.9262	-13.7226	0.0636	0.0177	0.1215
	$\hat{\beta} = 0.7397$						
ULoD	$\hat{\alpha} = 2.5419$	6.6423	-9.2847	-6.4823	0.1644	0.1657	1.1265
	$\hat{\lambda} = 7.3602$	0.0423					
PLoD	$\hat{\alpha} = 208.8480$		-15.8894	-11.6858	0.1106	0.0561	0.3731
	$\hat{\lambda} = 1.9484$	10.9447					
	$\hat{\beta} = 29.0687$						
LoD	$\hat{\alpha} = 92933043$	2 7170	-3.4358	6334	0.2093	0.5031	2.6250
	$\hat{\lambda} = 30199168$	3.7170					2.6250

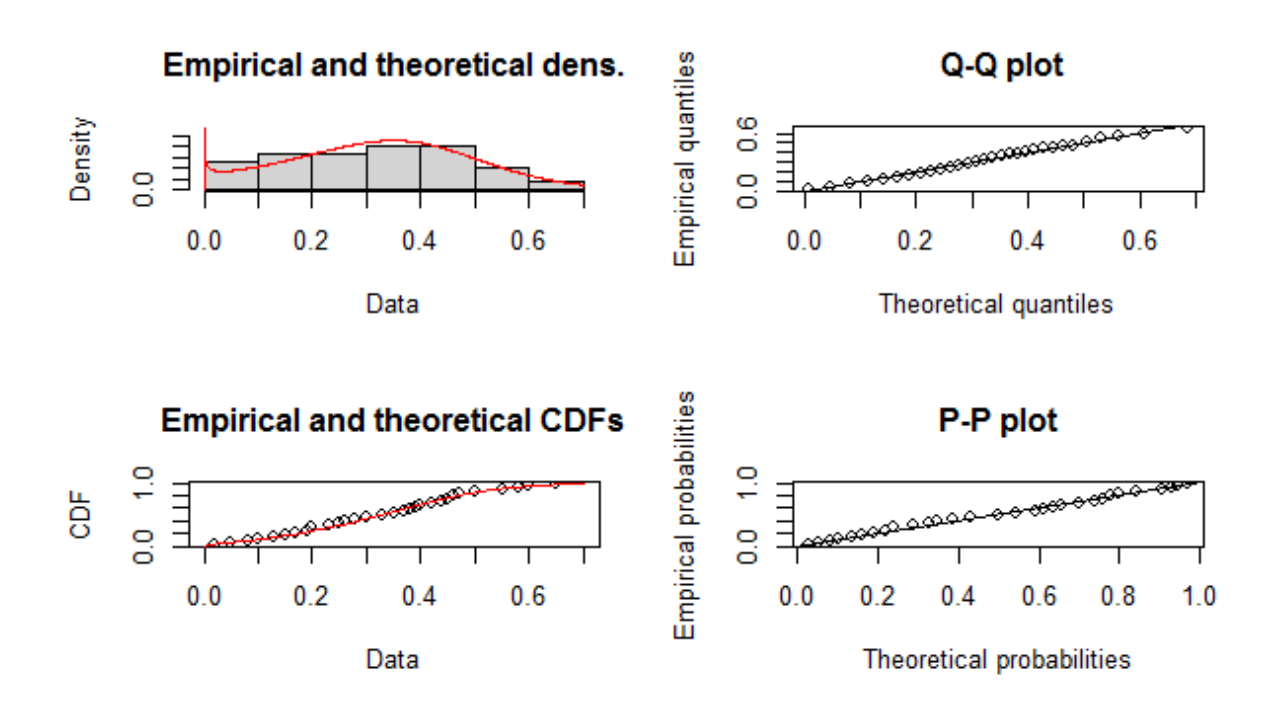


FIGURE 3.11 – Évaluation graphique de l'ajustement du modèle UPLoD aux données de défaillance

Analyse des résultats appliqués à l'exemple réel

Parmi les quatre modèles évalués dans cette étude (LoD, ULoD, PLoD et UPLoD), les résultats démontrent clairement que la **distribution UPLoD** (**Unit Lomax Power Lomax Distribution**) offre le meilleur ajustement aux données réelles. Cette distribution se distingue par sa capacité à capturer à la fois l'asymétrie, la concentration et la variabilité présentes dans les observations.

Le modèle UPLoD repose sur trois paramètres estimables

$$\hat{\alpha} = 0.6254$$
, $\hat{\lambda} = 3.9921$, $\hat{\beta} = 0.7397$,

ce qui lui confère une grande flexibilité pour modéliser des comportements complexes dans des données bornées entre 0 et 1. Contrairement aux modèles plus simples (comme LoD ou ULoD), qui reposent sur seulement deux paramètres, UPLoD permet d'ajuster à la fois la forme de la distribution et son étalement de manière plus précise.

D'un point de vue statistique, UPLoD surpasse les autres modèles sur l'ensemble des critères étudiés :

- Il présente la **meilleure log-vraisemblance** (11.9631), indiquant une meilleure adéquation aux données observées.
- Ses **valeurs d'AIC** (-17.9262) et de **BIC** (-13.7226) sont les plus faibles, confirmant que ce modèle équilibre de manière optimale qualité d'ajustement et complexité.
- Les **tests de distance** entre la distribution empirique et théorique (Kolmogorov–Smirnov, Cramér–von Mises et Anderson–Darling) affichent également des **valeurs minimales** (respectivement 0.0636, 0.0177 et 0.1215), signalant un excellent ajustement.

En comparaison, les modèles **LoD** et **ULoD** montrent des performances beaucoup plus faibles, avec des statistiques de distance élevées et des estimations de paramètres instables ou excessivement grandes (par exemple, $\hat{\alpha}=92933043$ pour LoD), traduisant un manque d'adéquation. Le modèle **PLoD**, bien que plus performant que LoD et ULoD, reste inférieur à UPLoD sur tous les critères.

Ainsi, la distribution UPLoD s'impose comme le modèle le plus pertinent pour représenter ce type de données médicales, caractérisées par une forte hétérogénéité interindividuelle et une distribution asymétrique. Son usage est donc recommandé dans le contexte de l'analyse des réponses individuelles à un traitement, en particulier lorsque les données sont continues, bornées et non symétriques.

____CONCLUSION GÉNÉRALE

Ce travail s'est inscrit dans le cadre de l'enrichissement des modèles statistiques de durée de vie en proposant une nouvelle distribution, la distribution Lomax à puissance unitaire (UPLoD), conçue pour offrir une meilleure flexibilité que les modèles classiques. Après avoir défini rigoureusement cette distribution, nous avons mené une analyse complète de ses propriétés mathématiques et statistiques, mettant en évidence sa capacité à modéliser des comportements complexes, notamment les fonctions de hasard de forme non monotone.

L'estimation des paramètres a été effectuée via la méthode du maximum de vraisemblance. Étant donné la complexité des équations obtenues à partir de la fonction log-vraisemblance du modèle UPLoD, nous avons eu recours à une résolution numérique à l'aide de l'environnement R, en utilisant des méthodes d'optimisation comme optim() pour obtenir les estimateurs. Ce choix s'est avéré efficace pour différents jeux de paramètres, même en présence de structures de vraisemblance complexes.

Pour évaluer la performance des estimateurs obtenus, une étude de simulation approfondie a été réalisée en variant les tailles d'échantillons et les valeurs des paramètres. Afin de situer l'intérêt du modèle UPLoD dans un contexte comparatif, nous avons évalué ses performances aux côtés de trois autres modèles de la même famille : LoD, ULoD et PLoD. Cette comparaison a été menée à travers une étude de simulation rigoureuse, en utilisant des critères comme le biais moyen, l'erreur quadratique moyenne (MSE) et la stabilité des estimateurs. Les résultats ont montré que le modèle UPLoD offrait une meilleure précision et une plus grande robustesse, en particulier dans les situations où les formes de hasard ne sont ni strictement croissantes ni décroissantes. Ce comportement confirme la supériorité du modèle proposé en termes de flexibilité d'ajustement.

Cette contribution ouvre la voie à plusieurs pistes de recherche. Il serait pertinent d'envisager une extension multivariée du modèle, l'application sur des données réelles issues de domaines comme la fiabilité ou l'actuariat, ainsi que l'exploration d'autres méthodes d'estimation (Bayésienne, par moments, etc.). L'objectif ultime est de doter les praticiens d'outils plus performants pour l'analyse et la modélisation de données réelles complexes.

BIBLIOGRAPHIE

- [Al-Marzouki et al., 2020] Al-Marzouki, S., Jamal, F., Chesneau, C., and Elgarhy, M. (2020). Type ii topp-leone power lomax distribution with applications. *Mathematics*, 8:126.
- [Alhamzawi and Ali, 2020] Alhamzawi, R. and Ali, H. (2020). A new gibbs sampler for bayesian lasso. *Communications in Statistics Simulation and Computation*, 49(7):1855–1871.
- [Alzaatreh et al., 2013] Alzaatreh, A., Lee, C., and Famoye, F. (2013). An introduction to a new family of distributions. *Journal of Statistical Distributions and Applications*, 1(1):1–17.
- [Arimoto, 1971] Arimoto, S. (1971). Information-theoretical considerations on estimation problems. *Information and Control*, 19:181–194.
- [Balkema and Haan, 1974] Balkema, A. A. and Haan, L. D. (1974). Residual life time at great age. *The Annals of Probability*, 2(5):792–804.
- [Banks, 2014] Banks, J. (2014). Handbook of Simulation: Principles, Methodology, Advances, Applications, and Practice. Wiley-Interscience.
- [Bourguignon et al., 2016] Bourguignon, M., Saulo, H., and Fernandez, R. (2016). A new pareto-type distribution with applications in reliability and income data. *Physica A: Statistical Mechanics and its Applications*, 457:166–175.
- [Casella and Berger, 2002] Casella, G. and Berger, R. L. (2002). *Statistical Inference*. Duxbury Press, 2nd edition.
- [Ceren et al., 2018] Ceren, C., Abdulhakeem, S., and Anwar, M. Z. (2018). Alpha power inverted exponential distribution: Properties and applications. *Journal of Statistics Applications & Probability*, 7(1):13–25.
- [Cheng and Amin, 1999] Cheng, R. and Amin, N. (1999). Maximum product-of-spacings estimation with applications to the lognormal distribution. Mathematical Report 79-1, University of Wales IST: Cardiff, UK.

- [Cox and Snell, 1968] Cox, D. R. and Snell, E. J. (1968). A general definition of residuals. *Journal of the Royal Statistical Society : Series B (Methodological)*, 30(2):248–275.
- [de la Cruz et al., 2023] de la Cruz, E. M., Cordeiro, J. R. B., Ramos, A., and Gómez-Déniz, E. (2023). Inference and quantile regression for the unit-exponentiated lomax distribution. *PLOS ONE*, 18(7):e0288635.
- [Elgarhy et al., 2020] Elgarhy, M. et al. (2020). The unit lomax distribution: properties and applications. *Mathematics*, 8(12):2196.
- [Ghitany et al., 2013] Ghitany, M. E.-M., Al-Mutairi, D. K., Balakrishnan, N., and Al-Enezi, L. J. (2013). Power lomax distribution and associated inference. *Computational Statistics & Data Analysis*, 59:41–52.
- [Giles et al., 2011] Giles, D. E., Feng, H., and Godwin, R. T. (2011). On the bias of the maximum likelihood estimator for the two parameter lomax distribution. Econometrics Working Paper EWP1104, University of Victoria.
- [Greenwood et al., 1979] Greenwood, J. A., Landwehr, J. M., Matalas, N. C., and Wallis, J. R. (1979). Probability weighted moments: definition and relation to parameters of several distributions expressable in inverse form. *Water Resources Research*, 15(5):1049–1054.
- [Harvill, 2008] Harvill, J. L. (2008). Essentials of statistical inference.
- [Hassan et al., 2023] Hassan, A., Elshaarawy, A., and Nagy, H. (2023). Reliability analysis of exponentiated exponential distribution for nrecord and ranked sampling designs with applications. *Statistics, Optimization Information Computing*, 11(3):580–594.
- [Havrda and Charvát, 1967] Havrda, J. and Charvát, F. (1967). Quantification method of classification processes. concept of structural-entropy. *Kybernetika*, 3(1):30–35.
- [Ijaz and Asim, 2019] Ijaz, M. and Asim, M. (2019). Lomax exponential distribution: Properties and applications. *Communications in Statistics Theory and Methods*, 48(12):3011–3029.
- [Johnson et al., 1994] Johnson, N., Kotz, S., and Balakrishnan, N. (1994). *Continuous Univariate Distributions*, volume 1. John Wiley and Sons, London, UK.
- [Karakaya et al., 2022] Karakaya, K., Akdoğan, Y., Nik, A., Kuş, C., and Asgharzadeh, A. (2022). A generalization of new pareto-type distribution. *Annals of Data Science*, pages 1–15.
- [Law, 2015] Law, A. (2015). Simulation Modeling and Analysis. McGraw-Hill, 5th edition.
- [Linhart and Zucchini, 1986] Linhart, H. and Zucchini, W. (1986). *Model Selection*. John Wiley and Sons, New York, NY, USA.

- [Lomax, 1954] Lomax, K. S. (1954). Business failures: Another example of the analysis of failure data. *Journal of the American statistical association*, 49(268):847–852.
- [Marshall and Olkin, 1997] Marshall, A. W. and Olkin, I. (1997). A new method for adding a parameter to a family of distributions. *Biometrika*, 84(3):641–652.
- [Maxwell and Oluyede, 2019] Maxwell, O. and Oluyede, T. A. (2019). Odd generalized exponentiated inverse lomax distribution. *Mathematical Theory and Modeling*, 9(12):77–91.
- [Murthy et al., 2004] Murthy, D., Xie, M., and Jiang, R. (2004). Weibull Models. John Wiley and Sons, Hoboken, NJ, USA.
- [Nagarjuna et al., 2021] Nagarjuna, V. B. V., Vardhan, R. V., and Chesneau, C. (2021). Kumaraswamy generalized power lomax distribution and its applications. *Stats*, 4:28–45.
- [Ogunsanya and Shittu, 2019] Ogunsanya, M. and Shittu, A. (2019). Odd lomax exponential distribution: Properties and applications. *Open Journal of Statistics*, 9(4):679–694.
- [Para and Jan, 2018] Para, B. A. and Jan, T. R. (2018). On three parameter weighted pareto type II distribution: Properties and applications in medical sciences. *Applied Mathematics & Information Sciences Letters*, 1:13–26.
- [Pareto, 1897] Pareto, V. (1897). Cours d'Économie Politique. F. Rouge, Lausanne, Switzerland.
- [Pareto, 1964] Pareto, V. (1964). Cours d'économie politique, volume 1. Librairie Droz.
- [Rady and Abdelrahman, 2016] Rady, A. and Abdelrahman, M. R. (2016). The power lomax distribution: Properties and applications. *Pakistani Journal of Statistics and Operation Research*, 12(2):267–290.
- [Rady et al., 2016] Rady, E.-H. A., Hassanein, W., and Elhaddad, T. (2016). The power lomax distribution with an application to bladder cancer data. *SpringerPlus*, 5:1–22.
- [Robert and Casella, 2010] Robert, C. and Casella, G. (2010). *Introducing Monte Carlo Methods with R.* Springer.
- [Sapkota et al., 2023] Sapkota, S., Adhikari, N., and Dhakal, S. (2023). A new generalization of the lomax distribution: The lomax-g family. *Journal of Statistical Distributions and Applications*, 10(1): Article 6.
- [Tsallis, 1988] Tsallis, C. (1988). Possible generalization of boltzmann-gibbs statistics. *Journal of Statistical Physics*, 52(1):479–487.